

VYSOKÁ ŠKOLA STROJNÍ A TEXTILNÍ V LIBERCI

Fakulta strojní

Katedra KSD

Školní rok: 1992

ZADÁNÍ DIPLOMOVÉ PRÁCE

pro **ULMANN Pavel**
obor **spalovací motory**

Vedoucí katedry Vám ve smyslu zákona č. 172/1990 Sb. o vysokých školách určuje tuto diplomovou práci:

Název tématu: **Laboratorní model sdružené vstříkovací jednotky**

Zásady pro vypracování:

1. Vysvětlete význam sdružené vstříkovací jednotky pro tvorbu směsi v naftovém motoru. Proveďte podrobný rozbor činnosti v současnosti používaných vstříkovacích jednotek. Uveďte základní výhody a nedostatky jednotlivých technických řešení.
2. Na základě rozpracovaných konstrukčních řešení na katedře KSD vypracujte technickou dokumentaci a navrhněte výrobní postup jednotlivých součástí.
3. Sestavte výpočetový model SVJ odpovídající konstrukčnímu návrhu a proveďte základní posouzení.
4. Na základě výsledku řešení podle bodu 3 stanovte další postup práci ke zkvalitnění činnosti zařízení.

VYSOKÁ ŠKOLA STROJNÍ A TEXTILNÍ
Ostatní akademické
STUDIJNÍ PLATY
401 37 LIBEREC

KSD/1992

Rozsah grafických prací: **45 listů**
Rozsah průvodní zprávy: **Literatura z oboru**
Seznam odborné literatury: **statě SAA Technical Paper Series**

Vedoucí diplomové práce: **Doc.Ing.Vítězslav Fliegel,CSc.**
Konzultant: **Doc.Ing.Stanislav Bereun,CSc.**

Zadání diplomové práce: **31.10.1991**
Termín odevzdání diplomové práce: **29.05.1992**



Alma *SB*
Vedoucí katedry Děkan
Doc.Ing.Stanislav Bereun,CSc. **Prof.Ing.Jaroslav Exner,CSc.**

V Liberci dne **31.10. 19 91**

VYSOKÁ ŠKOLA STROJNÍ A TEXTILNÍ V LIBERCI

FAKULTA STROJNÍ

KATEDRA STROJU PRUMYSLOVÉ DOPRAVY

OBOR: 23 - 20 - 8

STROJE A ZAŘÍZENÍ PRO STROJÍRENSKOU VÝROBU

ZAMĚŘENÍ:

STROJE A ZAŘÍZENÍ PRO PRUMYSLOVOU DOPRAVU

L A B O R A T O R N í M O D E L S D R U Ž E N É
V S T Ř I K O V A C í J E D N O T K Y

KSD - 256

PAVEL ULMAN

UNIVERZITNÍ KNIHOVNA
TECHNICKÉ UNIVERZITY U LIBERCI



3146076536

Počet stran: 58

Počet příloh: 15

Počet výkresů: 36

MDT 621.431

Květen 1992

Místopřísežně prohlašuji, že jsem tuto diplomovou
práci vypracoval samostatně s použitím uvedené
literatury.

Podpis:

Radek Minar

P o d ě k o v á n í

Děkuji vedoucímu diplomové práce Doc. Ing. Vítězslavu Fliegelovi, CSc. a Doc. Ing. Stanislavu Berounovi, CSc. za cenné rady a připomínky, které mi pomohly pro zpaco-vání této práce.

OBSAH

1/ Úvod	str. 6
2/ Význam sdruž. vstřikovací jednotky	str. 8-13
3/ Série vyráběné typy SVJ	str. 14-17
4/ Výpočet zdvihu pístku a rychlosti pístku	str. 18-27
5/ Výpočet parametrů matematického modelu vstřikování	str. 28-33
6/ Výsledné závislosti	str. 34-52
7/ Základní posouzení výpočtového modelu SVJ	str. 54-55
8/ Závěr - zdokonalení výpočt. modelu	str. 56-58
9/ Přílohy - výkresová dokumentace	
- výrobní postupy součástí	
- výpočtový program	

Úvod

V dnešní době velkého rozvoje dopravních prostředků, které jsou zpravidla poháněny spalovacími motory různých typů, přichází stále více do popředí otázka ekologie a minimizace znečisťování prostředí pro člověka, který by si bez pomoci těchto strojů sotva dokázal představit dnešní život. Vždy je třeba počítat s druhou stránkou věci, která již není tak příjemná, a proto právě ona dnes vede k maximální ekologičnosti nově zaváděných motorů a vyřazování starých konstrukcí novými. Dnešní spalovací motory musí vyhovovat stále přísnějším požadavkům a normám. Na sprísněné předpisy musí výrobci velice pružně reagovat, jinak jejich výrobky nebudou žádány.

Přejdeme-li konkrétně k naftovým motorům, objevují se nová vstřikovací zařízení naftových motorů, která pomáhají řešit problém stále tvrdších norem. Jedním z cest zlepšení ekologických i ekonomických parametrů je přechod ke sdružené vstřikovaci jednotce, používané dnes výhradně s přeplňovaným naftovým motorům. Sdružená vstřikovací jednotka není ani nijak nový pojem, je známa již řadu let, ale její zavádění nebylo podmíněno normami exhalací motorů. Značně jí také dopomohl velký rozvoj v elektronických systémech řízení. Elektronický systém je dnes nejdokonalejší způsob řízení parametrů vstřikování, vyznačuje se optimalizací I v přechodových režimech motoru, jeho doba reakce je téměř blesková. Blížší číselné údaje, které potvrzují význam sdružené vstřikovací jednotky, uvědu v dalších stránkách textu.

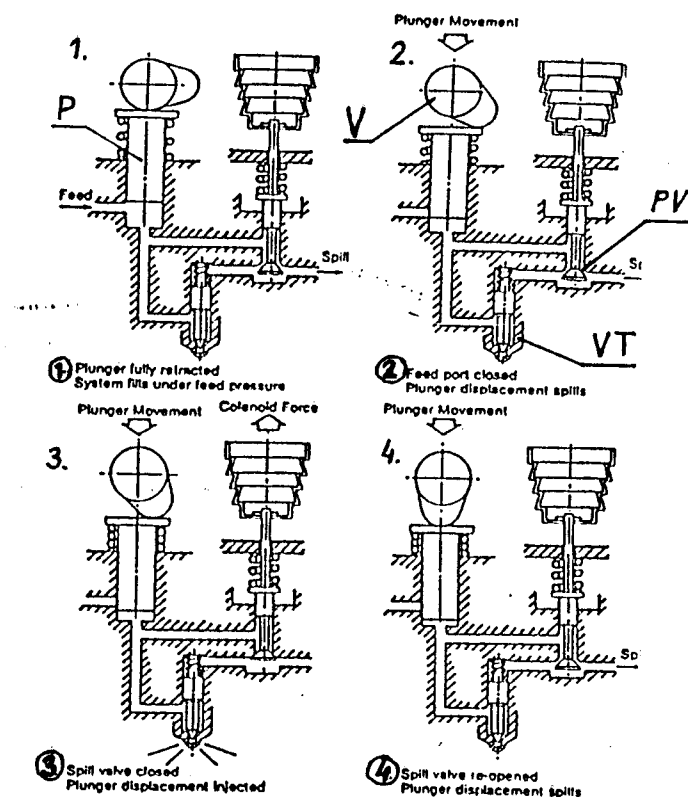
Znázornění funkce sdružené vstřikovací jednotky

Podle obrázku č. 1 ve zkratce popíši základní funkci sdružené vstřikovací jednotky, rozebranou na doby:

Poloha 1. v této fázi se plní prostor pod pístem, který bude v další fázi stlačován.

Poloha 2. píst je již v pohybu a právě v okamžiku kdy začíná být vytlačována nafta (přívodní kanálek je již uzavřen hranou pístu) přes přepouštěcí ventilek do přepadu.

Obrázek č. 1



Vysvětlivky: V - vačka

P - výtlacný pístek poháněný vačkou

PV - přepouštěcí ventilek ovládaný elektromagnetem

VT - vstřikovací tryska

Poloha 3. ventil se v určitém okamžiku uzavřel a začíná prudce vzrůstat tlak, až dojde k otevření jehly VT a k výstřiku paliva do válce.

Poloha 4. ventilek se v určitém okamžiku otevří, dochází k prudkému poklesu tlaku a ke konci vstřikování. Dále vytlačované palivo pístem uniká otevřeným přepouštěcím ventilem do přepadu.

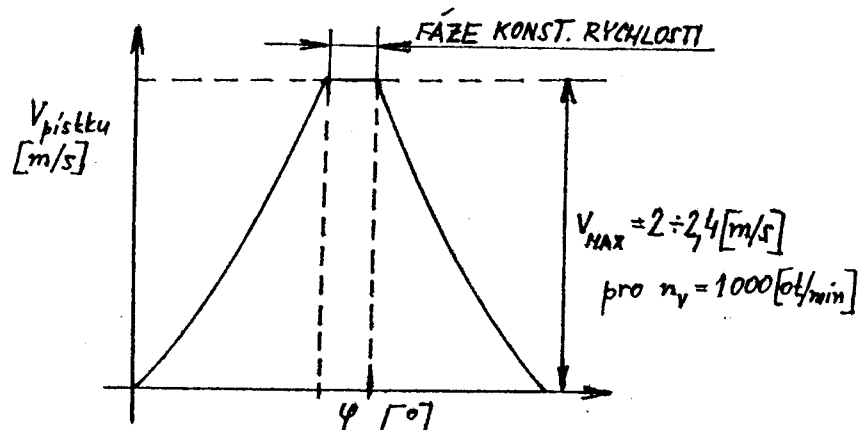
Význam sdružené vstřikovací jednotky pro naftový spalovací motor

Sdružená vstřikovací jednotka je vlastně spojení vysokotlakého vstřikovacího čerpadla a vstřikovací trysky v jeden kompaktní celek, který je zkonstruován na vysoké vstřikovací tlaky.

Jedním z požadavků nových vstřikovacích systémů je právě vstřikování extrémně vysokými tlaky. Dochází k lepšímu rozprášení paliva (nafty) na drobnější částečky, čímž se zkracuje i doba průtahu vznícení. K dosažení extrémních vstřikovacích tlaků (120 - 150 MPa) jsou potřebné, resp. určují je tyto parametry:

- 1/ dostatečně vysoká rychlosť vytlačného pístu (hlavně při počátku dodávky)
 - 2/ vysoká tuhost náhonu sdružené vstřikovací jednotky (mechanické části systému)
 - 3/ rychlé zavírání přepouštěcího ventilu ovládaného elektromagnetem požadovaná doba přestavení okolo 0,5 ms ; 0,0005 s
 - 4/ celkový průřez výstřikových otvorů
- ad 1/ průběh rychlosti v závislosti na otočení vačky vypadá u moderních vaček asi takto

Obrázek č. 2



Snaha je aby se doba vstřikování odehrála při maximální rychlosti pístu.

ad 2/ vysoká tuhost náhonu je nezbytnou podmínkou pro dosažení vstřikovacího tlaku.

Použití různých ovladacích způsobů je popsáno na následujících 3 obrázcích.

Obrázek č. 3. ukazuje rozvod OHC přes vahadlo pro použití na motoru s dvěma ventily na válec.

Obrázek č. 4. ukazuje rozvod OHC přes vahadlo pro použití na motoru se čtyřventilovou hlavou válců.

Obrázek č. 5. ukazuje rozvod OHV s tyčkou a vahadlem pro čtyřventilovou hlavu válců.

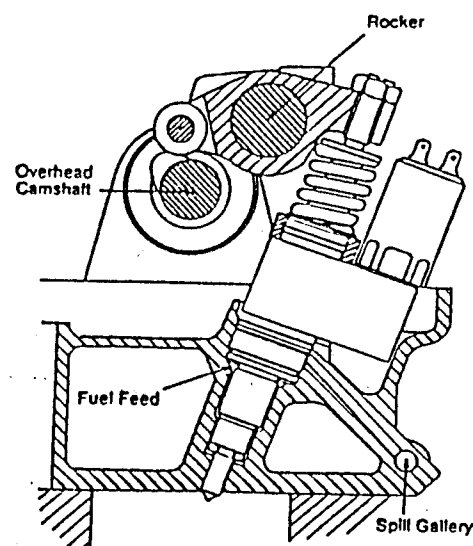
Z hladiska tuhosti je vhodnější rozvod OHC, kde je pružných součástí méně, vahadlo je z kvalitního materiálu a je konstruováno s maximální tuhostí.

Pokud je užíván rozvod OHV, pak dochází ke konstrukcím, kde je vačkový hřídel umístován co nejbliž hlavě válců, aby se zdvihací tyčka co nejvíce zkrátila a docházelo na ní k co nejmenším deformacím. Zpravidla všechny zdvihací prvky kromě vačky jsou umístěny již v hlavě válců. Tyčka je poměrně masivnější než jsou zvyklí u ventilových rozvodů, protože síly jsou značně vyšší.

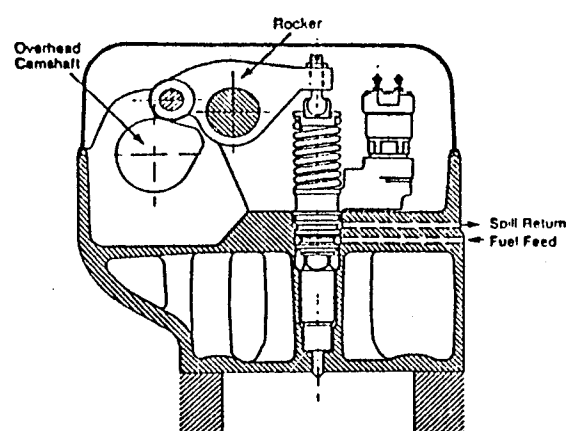
K dosažení lepších parametrů kromě vysokého vstřikovacího tlaku přispívá u sdružené vstřikovací jednotky možnost změny počátku i konce dodávky paliva, tedy možnost změny předstřiku v různých režimech motoru.

U klasického vstřikovacího čerpadla není myslitelné dosažení vyšších tlaků, nežli 100 - 120 MPa vlivem velikého stlačování, způsobeného velikým stlačovaným objemem (dlouhé vedení od čerpadla ke vstřikovači, malá tuhost). Dále není taková možnost regulace předstihu v celém provozním rozsahu, momenty pohonu jsou vysoké a velmi časově proměnné (+ -), proto se těžko řeší regulační systém pohonu, který by toto přenesl. Pro srovnání plně elektronický systém je schopen bezpečně splňovat nejpřísnější ekologické normy a jeho měrná spotřeba paliva se pohybuje kolem

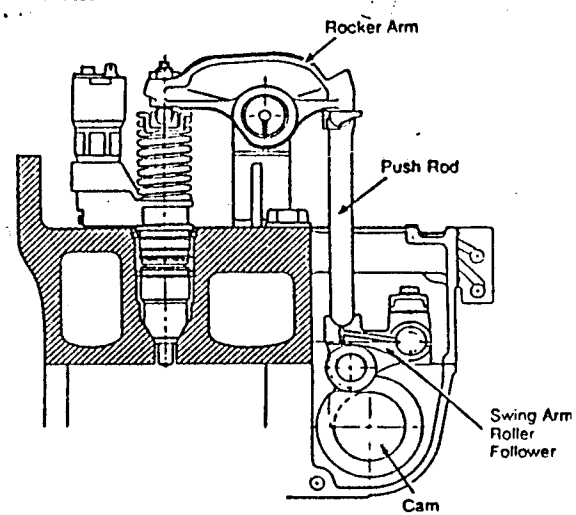
Obrázek č. 3.



Obrázek č. 4.



Obrázek č. 5.



190 g/kWh účinnost je vyšší nežli 40%. Klasické vstřikovací systémy se pohybují se spotřebou kolem 210 g/kWh. Co se týče emisních kritérií, sdružená vstřikovací jednotka snižuje obsahy všech škodlivin.

Škodlivé látky:

1/ NO_x - oxid dusíku - vznikají při vysokých tlacích a teplotách reakcí kyslíku a dusíku, mají ne-příznivý vliv na člověka
Snížení obsahu NO_x - menší předstřík

Vysoké vstřikovací tlaky (120 - 160 HPa) podporují rychlou přípravu směsi dokonalejším rozprášením, zkracuje se průtah vznícení, tj. doba od počátku vstřiku do doby začátku hoření . Vlivem kratšího průtahu vznícení není nutné vstřikovat s tak vysokým předstříkem, jako u klasických vstřikovacích čerpadel.
(10° oprati 25° u čerpadel)

2/ obsah CH - nespálené uhlovodíky - příčina nedokonalého spalování - menší obsah vlivem vysokých tlaků pro velkou část vstřikovacího procesu, což vede k dokonalejšímu spalování.

3/
obsah CO - není tak nebezpečný u vznětových motorů.

4/
kouřivost - představuje ji maximální obsah sazí ve výfukových plynech vzhledem k hmotnostnímu množství výfukových plynů unikajících do ovzduší.

Pevné částice, mezi které jsou zahrnovány i kapalné částice, jsou považovány za velmi nebezpečné, protože na sebe váží různé škodlivé plyny. Obsah jemných částic souvisí jednak s dokonalostí spalování a jednak se spotřebou mazacích olejů. Používají se proto různé těsnící kroužky na vodítkách ventilů, samozřejmě

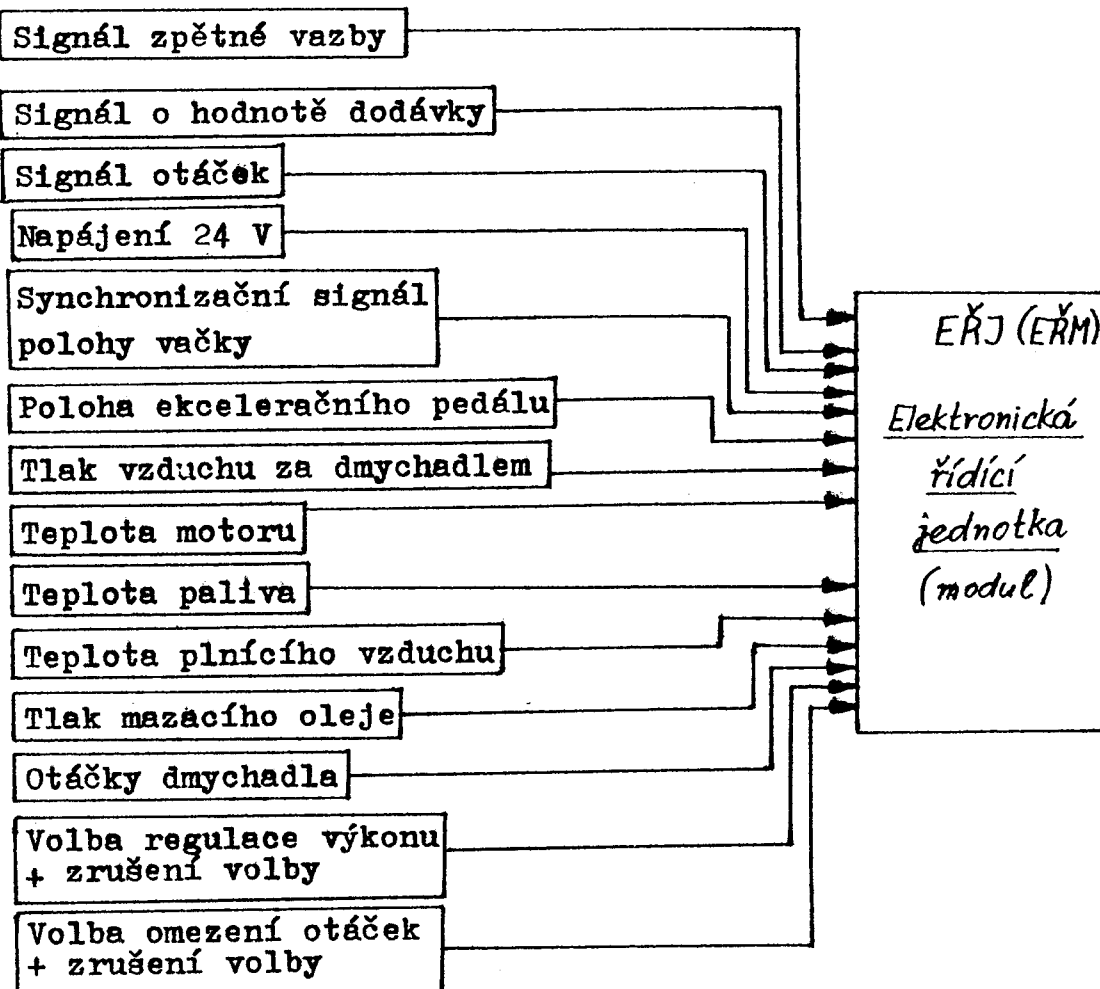
spotřeba oleje je dána kvalitními pístními kroužky, zejména stěracími.

Použití sdružené vstřikovací jednotky s elektronickým ovládáním snižuje na minimum míru kouření naftového motoru, zejména při malých otáčkách a sešlápnutém plynovém pedálu elektronika dodává optimální dávku, totéž platí i v celém rozsahu práce motoru. Nedochází ke kouření jako u klasických čerpadel v nízkých ani vysokých otáčkách. Pomáhá i při studeném běhu motoru, snižuje tzv. studený kouř naftového motoru. Další výhodou je udržování konstantních otáček motoru i při zapnutí různých spotřebičů.

Řídící systém sdružené vstřikovací jednotky

Hlavní a rozhodující částí řídícího systému je elektronická řídící jednotka (modul), která dává elektromagnetickému ventilu signály k jeho zavírání a otevírání vždy v určité době vzhledem ke snímaným parametrům, které jsou neustále vyhodnocovány pomocí určitého optimalizačního postupu, který je naprogramován v elektronické řídící jednotce.

Obrázek č. 6. - blokové schéma elektronického řídícího systému



Současná řešení sdružených vstřikovacích jednotek
která jsou sériově vyráběna

V současné době existuje celá řada systémů sdružených vstřikovacích jednotek, ale do stádia sériové výroby se dostala pouze následující provedení.

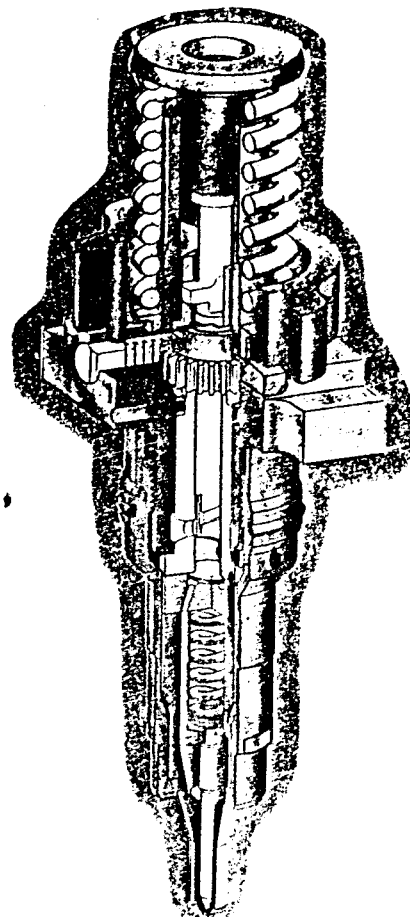
- 1/ Provedení GMC s dvěma alternativními koncepcemi:
 - a) regulace dodávky s regulační hranou pístu
 - b) regulace dodávky solenoidovým ventilem při výtlaku
- 2/ Provedení LUCAS - regulace dodávky solenoidovým ventilem při výtlaku
- 3/ Provedení STEYER - PUCH - regulace dodávky regulační hranou pístu
- 4/ Provedení DETROIT - provedení regulace dodávky solenoidovým ventilem při výtlaku

ad 1/ jsou možné 2 principy ovládání velikosti dodávky, a to buďto regulační hranou pístu, podobně jako u vstřikovacího čerpadla, pouze odpadá část vedení (trubičky), nebo elektronicky ovládaným přepouštěcím ventilem.

První způsob: Obr. 7:

Nevýhody - není splněna optimalizace při všech režimech práce motoru - nutnost seřizování - mechanická závislost - vliv opotřebení na počátek dodávky

Výhody - odpadá elektronické řízení, problémy s elektromagnetem, problémy utěsnění.
Finančně méně náročné

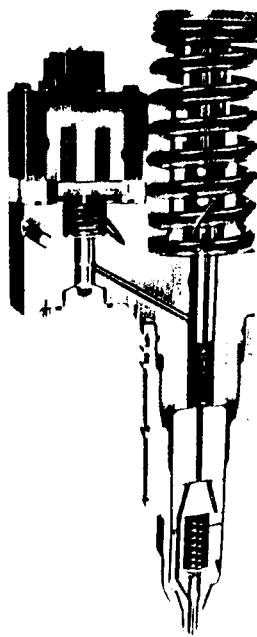


Druhý způsob - elektronická regulace

Výhody - není nutné seřizování
nemění se parametry při opotřebení
optimální dávka ve všech pracovních
režimech motoru

Nevýhody - finančně náročné
složitost systému
- řešení elektromagnetu
- netěsnění

Na obrázku č. 8 je řez elektronicky regulované vstřikovací jednotky



Dále na obrázku č. 9 je znázorněn motor Detroit s touto
sdruženou vstřikovací jednotkou

Na obrázku č 10. je elektronická řídící jednotka příslušející
tomuto motoru

The DETROIT DIESEL Series 60 world class design:

Viewed from any angle, the Series 60 diesel has all the makings of a world class engine.

High Efficiency

Turbocharger — uses a pulsed-recovery exhaust manifold that provides increased heat flow contributing to fuel efficiency.

Parallel Ports

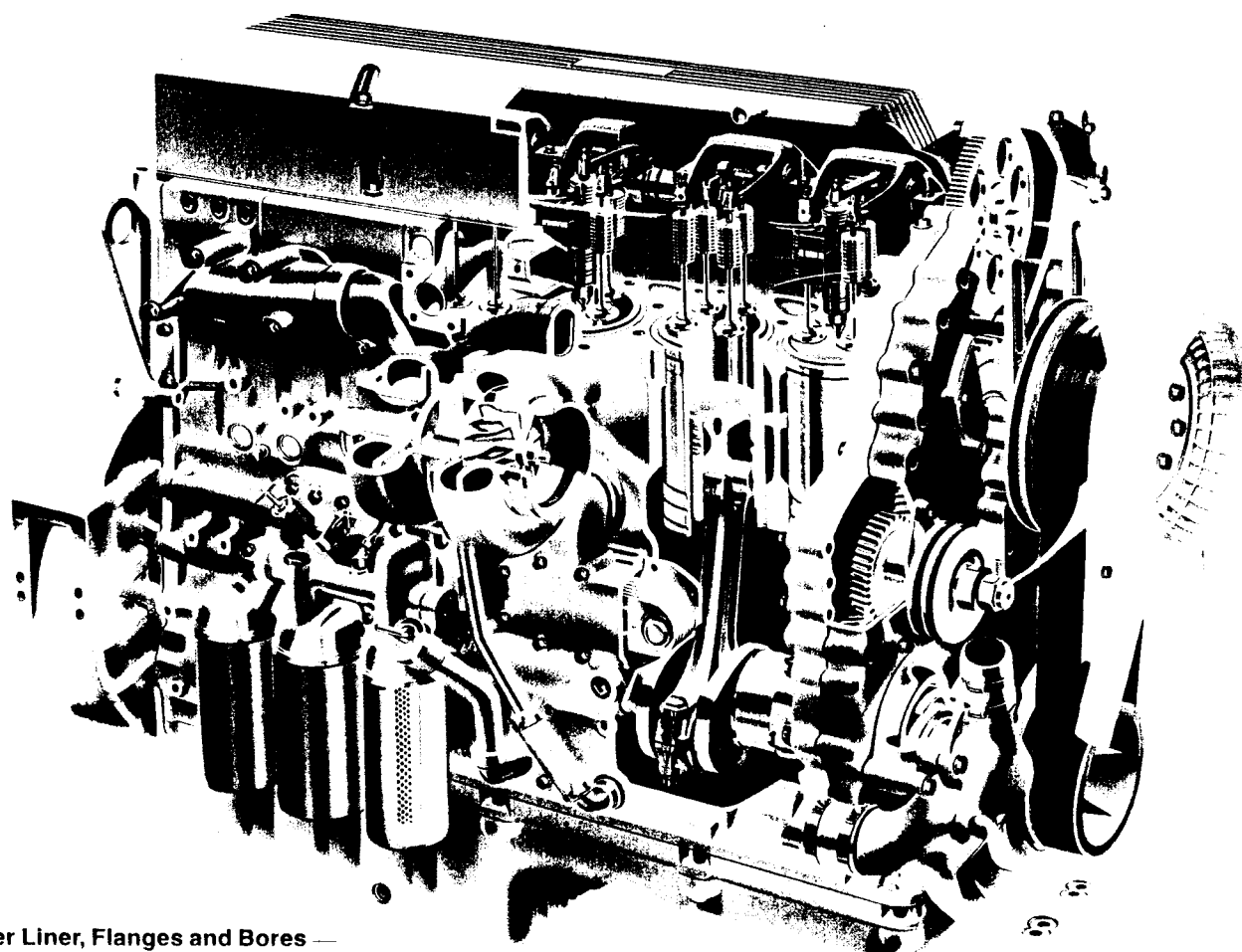
This unique configuration allows for very short intake and exhaust ports for efficient air flow, low pumping losses and reduced heat transfer.

Iron Crosshead Pistons

They allow the top ring to be placed much closer to the top of the piston. This reduces the dead volume above the top ring and improves fuel economy.

Gasket Eliminator

reduces engine service time since it is not necessary to get a separate gasket to complete a repair.



Cylinder Liner, Flanges and Bores

Spin casting of liner provides optimum strength and graphite structure for long life. Plateau honing minimizes piston ring break-in and allows quicker ring seal. Flanges at the liner upper ends seat in counterbores in the block deck and project slightly above it to compress the head gasket for a good seal. Cylinder bores feature replaceable, wet-type cylinder liners.

Isolators — reduce engine noise.

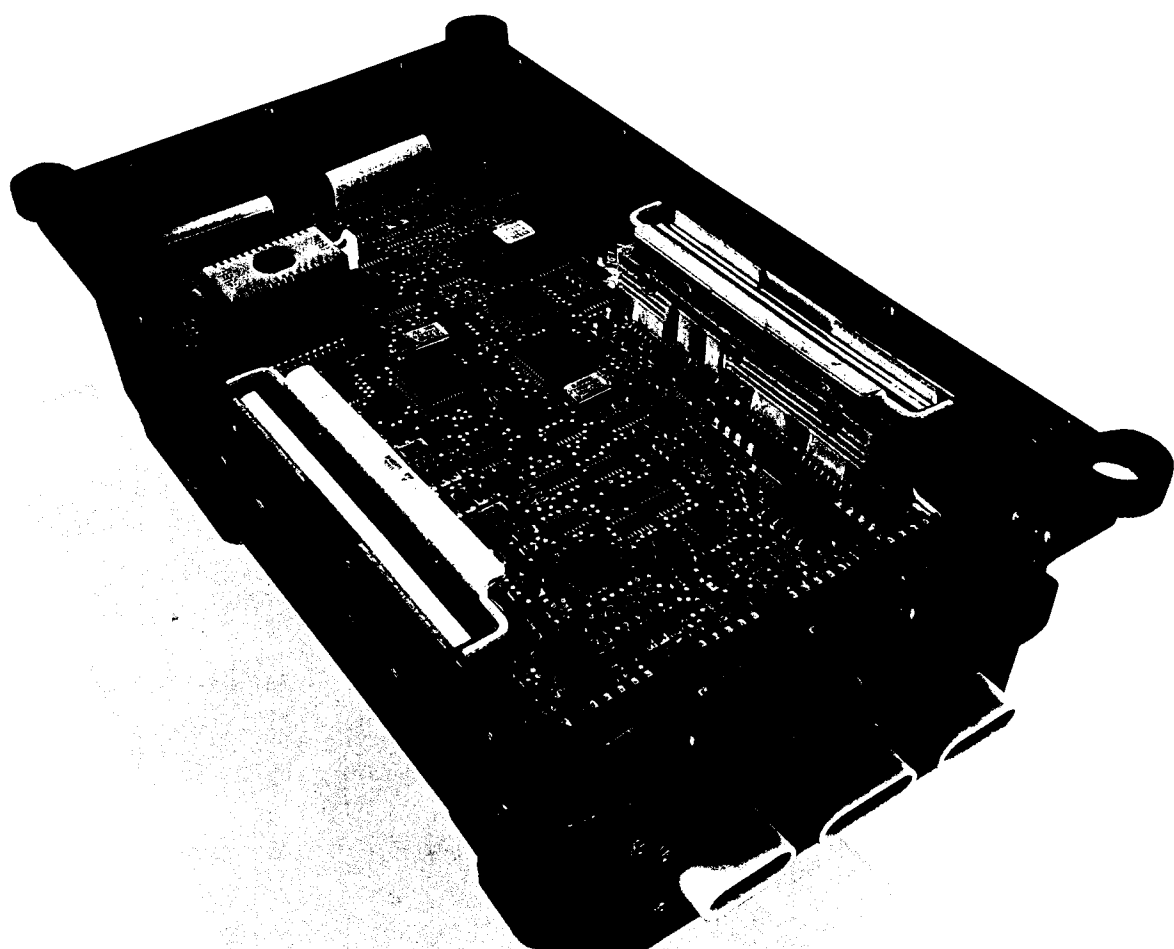
Crankshaft, Main and Rod Bearings

Crankshaft is forged induction hardened steel for high strength, and features computer positioned oil passages to promote a thick oil film in the highest loaded sections. Large main and rod bearings increase bearing life and tolerance to wear.

DETROIT DIESEL

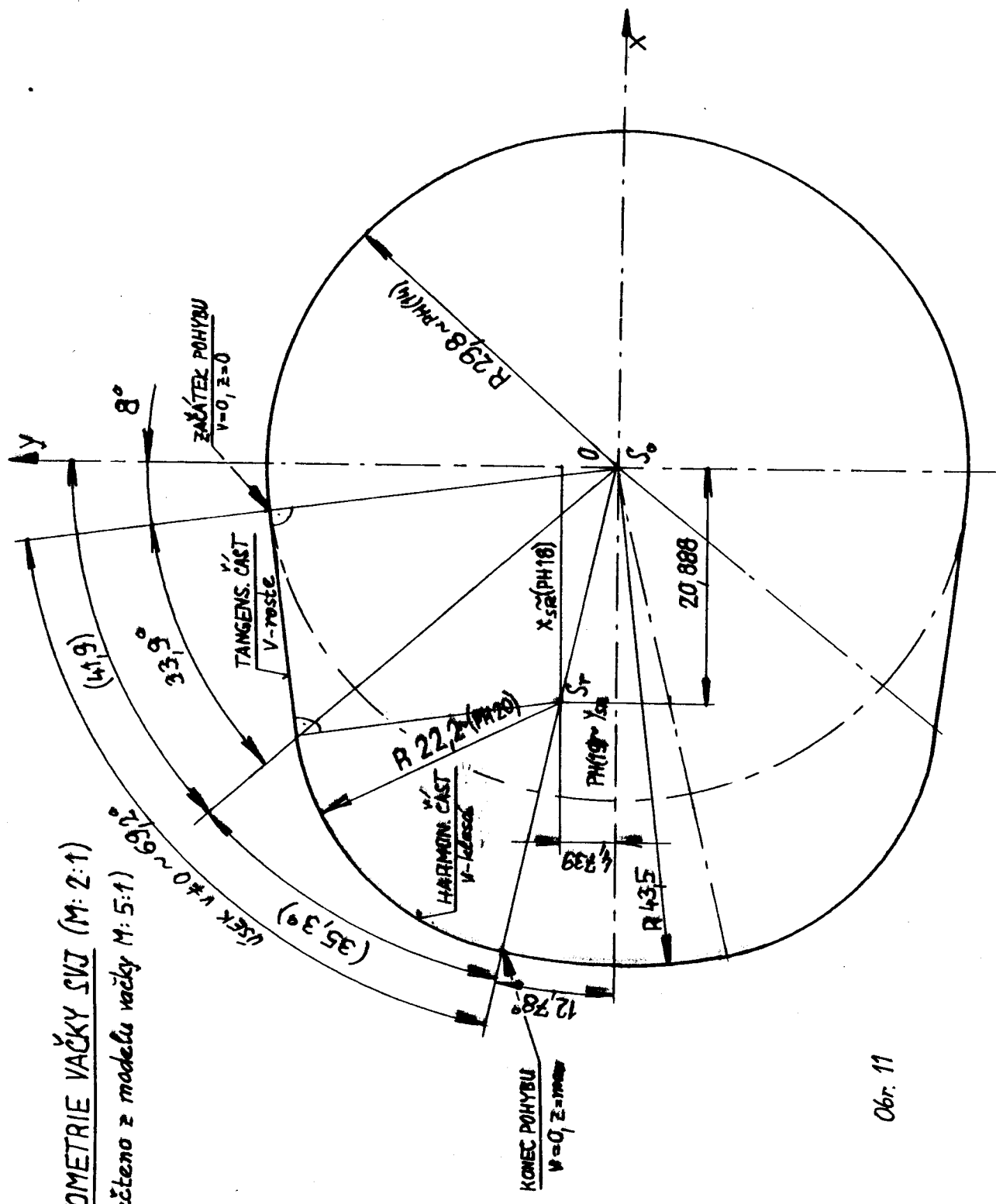


Electronic Controls for Construction and Industrial Power



Obrázek č. 10

Výpočtový model sdružené vstříkovací jednotky



Počáteční podmínky pro $\varphi = 0^\circ$ (kladka na zákl. poloměru)

Geometrické závislosti podle obr. č. 12 jsou:

$$u_1 = \sqrt{x^2 + y^2} \quad (1)$$

$$\cos g = \frac{(r_v + r_k)^2 + R_1^2 - u_1^2}{2(r_v + r_k) \cdot R_1} \quad - \text{kosinová věta z trojúhelníku středu otáčení Sv Sč Sk}$$

$$\Rightarrow g = \arccos \frac{(r_v + r_k)^2 + R_1^2 - u_1^2}{2(r_v + r_k) \cdot R_1} \quad (2)$$

$$\alpha_1 = \arctg \frac{y}{x} \quad (3)$$

$$\alpha_2 = \arcsin \left(R_1 \frac{\sin g}{u_1} \right) \quad (4) \quad - \text{sinová věta z trojúhel. středů otáčení Sv Sč Sk}$$

$$\text{Z toho vyplývá } \omega_o = \alpha_1 + \alpha_2 - 90^\circ \quad (5)$$

Počáteční souřadnice středu kladky jsou:

$$e_o = (r_v + r_k) \cdot \sin \omega_o \quad (6) \quad y_o = (r_v + r_k) \cdot \cos \omega_o \quad (7)$$

Dále pro řešení druhého úseku na vačce potřebujeme zjistit

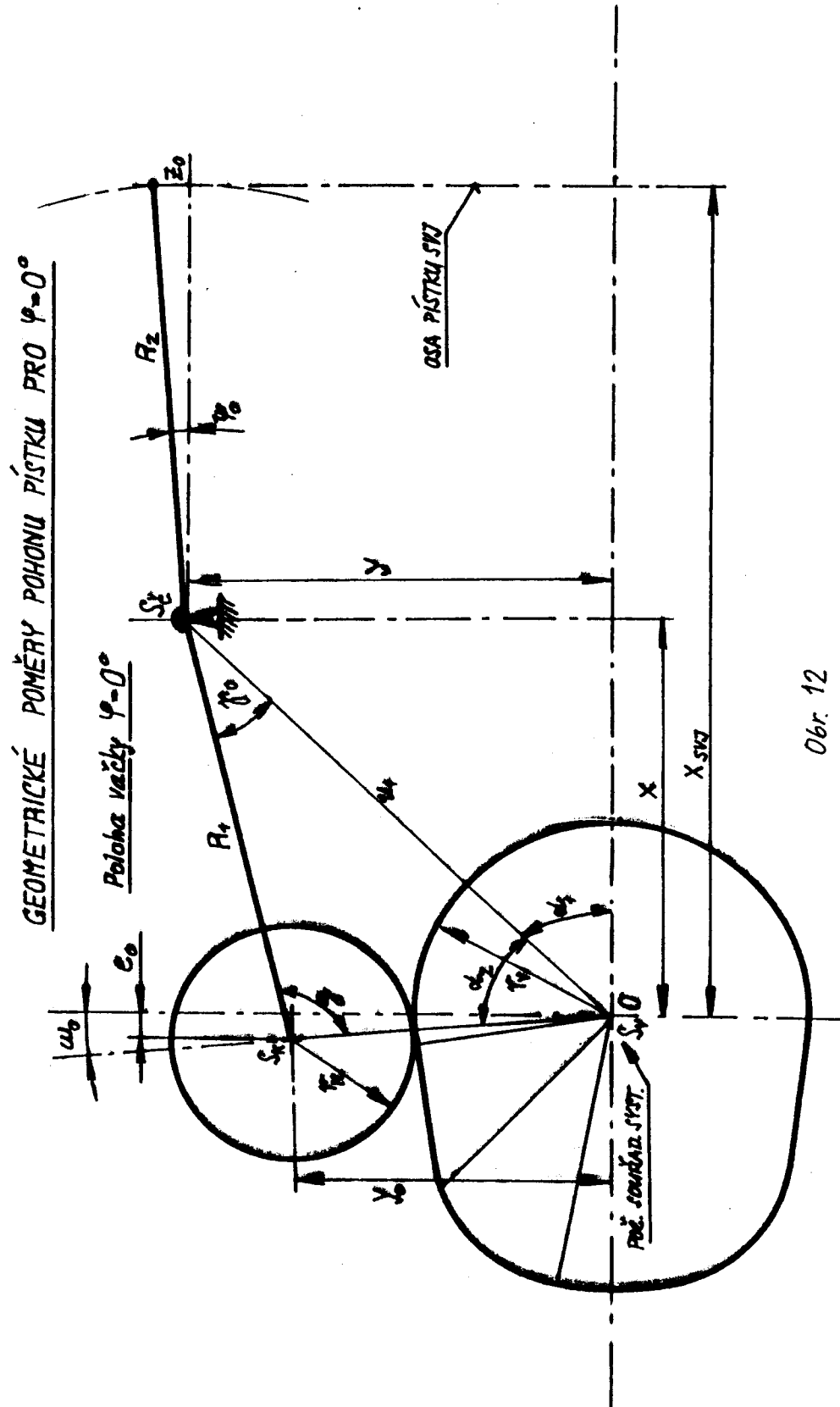
výchozí úhel β_o

$$\beta_o = \arccos \frac{R_1^2 + u_1^2 - (r_v + r_k)^2}{2 \cdot R_1 \cdot u_1} \quad (8) \quad - \text{z cosinové věty trojúhelníku Sv Sč Sk}$$

Dále pro zjištění závislostí zdviž pístu Z na úhlu pootočení φ potřebujeme Z_o výchozí a výchozí úhel ramena R_2 ; γ_o

$$Z_o = \sqrt{R_2^2 - (x_{svj} - x)^2} \quad (9)$$

$$\gamma_o = \arctg \frac{Z_o}{x_{svj} - x} \quad (10)$$



Přechodové vztahy pro zjištění $\gamma_{1,2}$ respektive β_2

(úhel přechodu)

Platí podle obr. č. 13 tyto vztahy

$$\text{strana } k = \frac{r_v}{\cos 33,9^\circ} \quad (10.1)$$

$$\text{strana } a = \sqrt{k^2 + r_k^2 - 2k \cdot r_k \cdot \cos[90^\circ + (90^\circ - 33,9^\circ)]} \quad (10.2)$$

- cosinová věta Δakn_k

$$\text{úhel } \varphi = \arccos \frac{a^2 + k^2 - r_k^2}{2 \cdot a \cdot k} \quad (10.3) \quad - \text{cosinová věta } \Delta akn_k$$

$$\text{úhel } \gamma_{1,2} = \arccos \frac{R_1^2 + u_1^2 - a^2}{2 \cdot R_1 \cdot u_1} \quad (10.4)$$

$$\text{úhel } \delta = \operatorname{arctg} \frac{x}{y} \quad (10.5)$$

$$\text{úhlopříčka } u_2 = \sqrt{R_1^2 + y^2 - 2 \cdot R_1 \cdot y \cdot \cos(\gamma_{1,2} + \delta)} \quad (10.6)$$

- cosinová věta $\Delta u_2 R_1 y$

$$\text{úhel } w_{1,2} = w_x - 90^\circ, \text{ kde} \quad (10.7)$$

$$\cos w_x = \frac{a^2 + x^2 - u_2^2}{2ax} \Rightarrow w_x \quad - \text{cosinová věta} \quad (10.8)$$

$$\text{zjištěný úhel přechodu } \gamma_{1,2} = \beta_2 = 8^\circ + (\alpha - w_{1,2}), \quad \alpha = 33,9^\circ - \varphi \quad (10.9)$$

Po dosazení těchto vztahů lze zjistit úhel $\gamma_{1,2}$ resp. β_2 :
Číselné hodnoty:

$$k = 35,90308 \text{ mm}$$

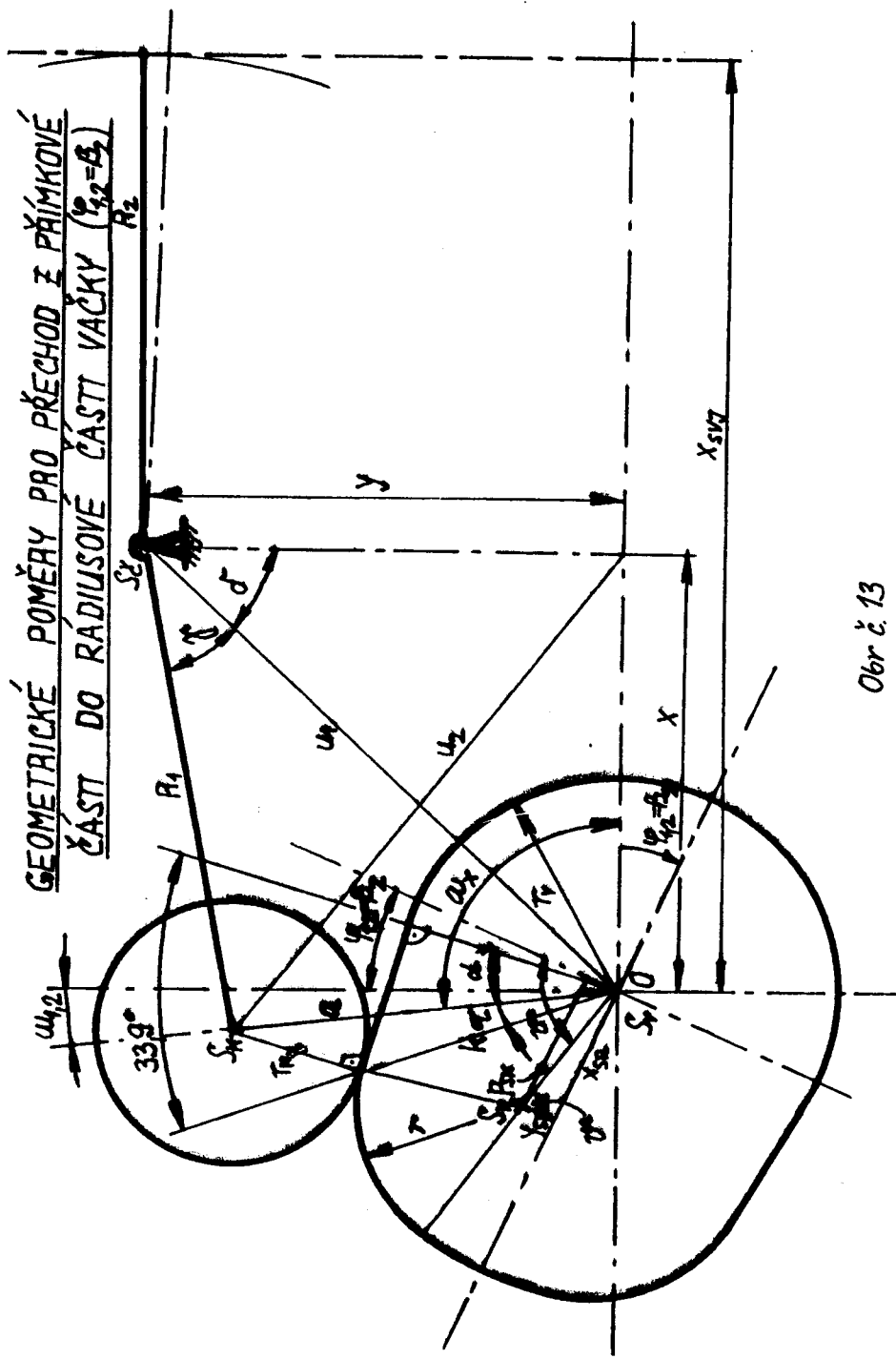
$$a = 52,74875 \text{ mm}$$

$$\gamma_{1,2} = 34,317549 \text{ mm}$$

$$u_2 = 87,17762 \text{ mm}$$

$$w_{1,2} = 5,19 \text{ mm}$$

$$\Rightarrow \boxed{\gamma_{1,2} = \beta_2 = 25,12047^\circ}$$



Obr č 13

Řešení na úseku rostoucí rychlosti s přímkovým profilem vačky

Platí zde podm. $\varphi \geq 8^\circ - \omega_0$ a zároveň $\varphi < \varphi_{1,2}$ resp. β_2 , kde $\varphi_{1,2}$ resp. β_2 je úhel přechodu na II. část vačky

Podle obr. č. 14 platí tyto vztahy v závislosti na úhlu otočení φ :

$$\text{úhel} \quad \omega_\varphi = \arctg \frac{e_\varphi}{y_\varphi} \quad (11)$$

$$\text{úhel} \quad \alpha_\varphi = \varphi - 8^\circ + \omega_\varphi \quad (12)$$

$$\text{souřadnice} \quad y_\varphi = \left(\frac{r_v}{\cos \alpha_\varphi} - \frac{r_k}{\cos \alpha_\varphi} \right) \cdot \cos \omega_\varphi \quad (13) \quad - \text{spojnice Sv a Sk z podobnosti pravoúhl. trojúhelníků s úhlem}$$

$$\text{souřadnice} \quad e_\varphi = \sqrt{R_1^2 - (y - y_\varphi)^2} - x \quad (14)$$

přírustek ve směru Y : $y = y_\varphi - y_0$, kde y_0 je poloha pro $\varphi = 0^\circ$

okamžitý zdvih v závislosti na φ :

$$z = y \frac{x + e_\varphi}{x_{svj} - x} \quad (15)$$

Řešení na úseku klesající rychlosti s rádiusovým profilem vačky

Platí podmínka: $\varphi \geq \varphi_{1,2}$ resp. β_2

Podle obrázku č. 15 platí tyto vztahy pro fázi přechodu:

$$x_{sr skut_\varphi} = p_{sk} \cdot \cos (90^\circ + \varphi - \vartheta) \quad (16)$$

$$\text{kde } p_{sk} = \sqrt{x_{sr}^2 + y_{sr}^2} \quad (17)$$

$$y_{SRskut\varphi} = p_{SK} \cdot \sin(90^\circ + \varphi - \vartheta) \quad (18)$$

kde $\vartheta = \arctg \frac{x_{SR}}{y_{SR}}$ (19)

$$b_\varphi = \sqrt{(x + x_{SRskut\varphi})^2 + (y - y_{SRskut\varphi})^2} \quad (20)$$

$$\lambda_\varphi = \arctg \frac{x + x_{SRskut\varphi}}{y - y_{SRskut\varphi}} \quad (21)$$

$$\beta_{1\varphi} = \lambda_\varphi - \delta \quad ; \quad \text{kde } \delta = \arctg \frac{x}{y} \quad (22)$$

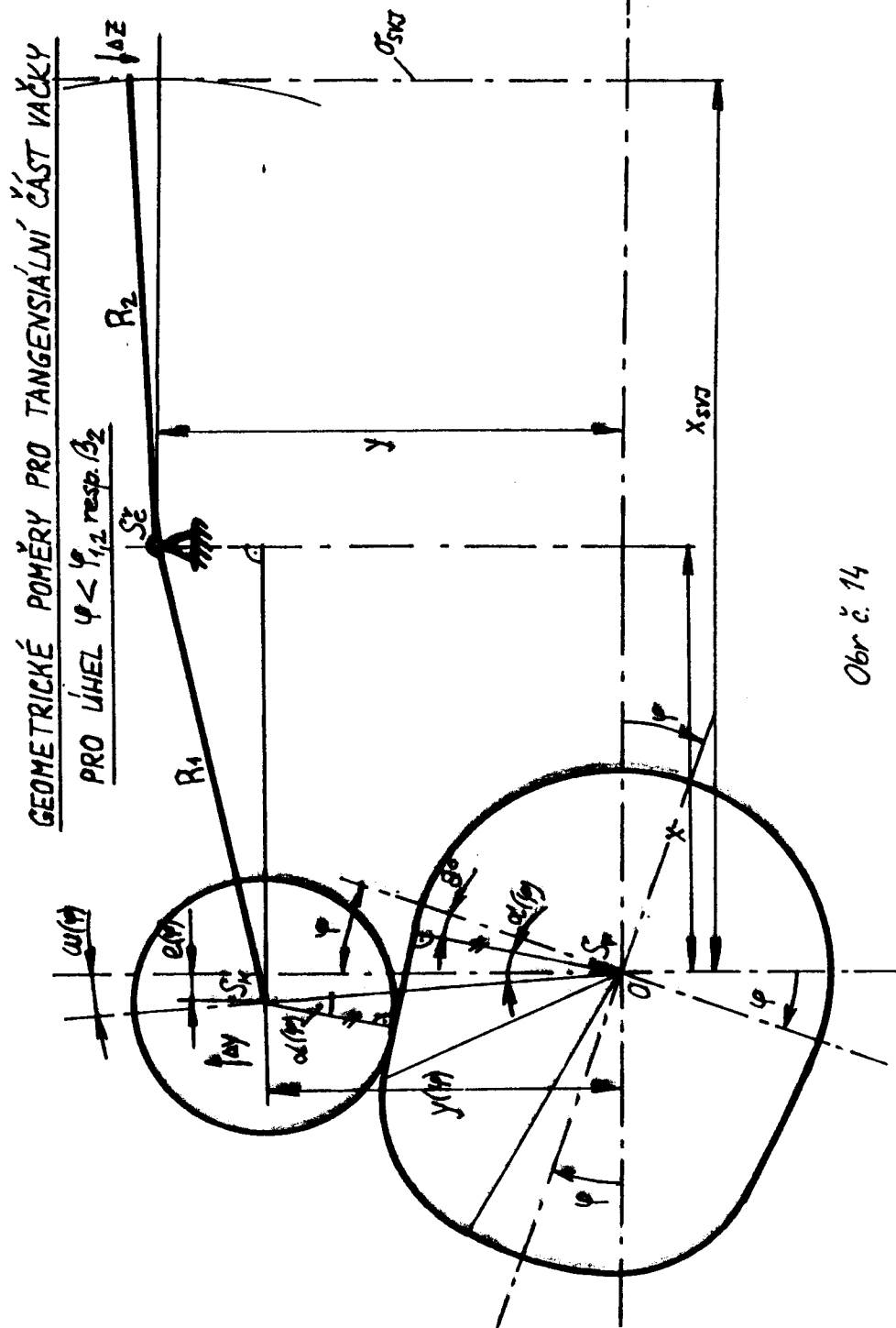
$$\beta_{2\varphi} = \arccos \frac{b_\varphi^2 + R_i^2 + (r + r_k)^2}{2 \cdot b_\varphi \cdot R_i} \quad (23)$$

$$\beta_\varphi = \beta_{1\varphi} + \beta_{2\varphi} \quad (24)$$

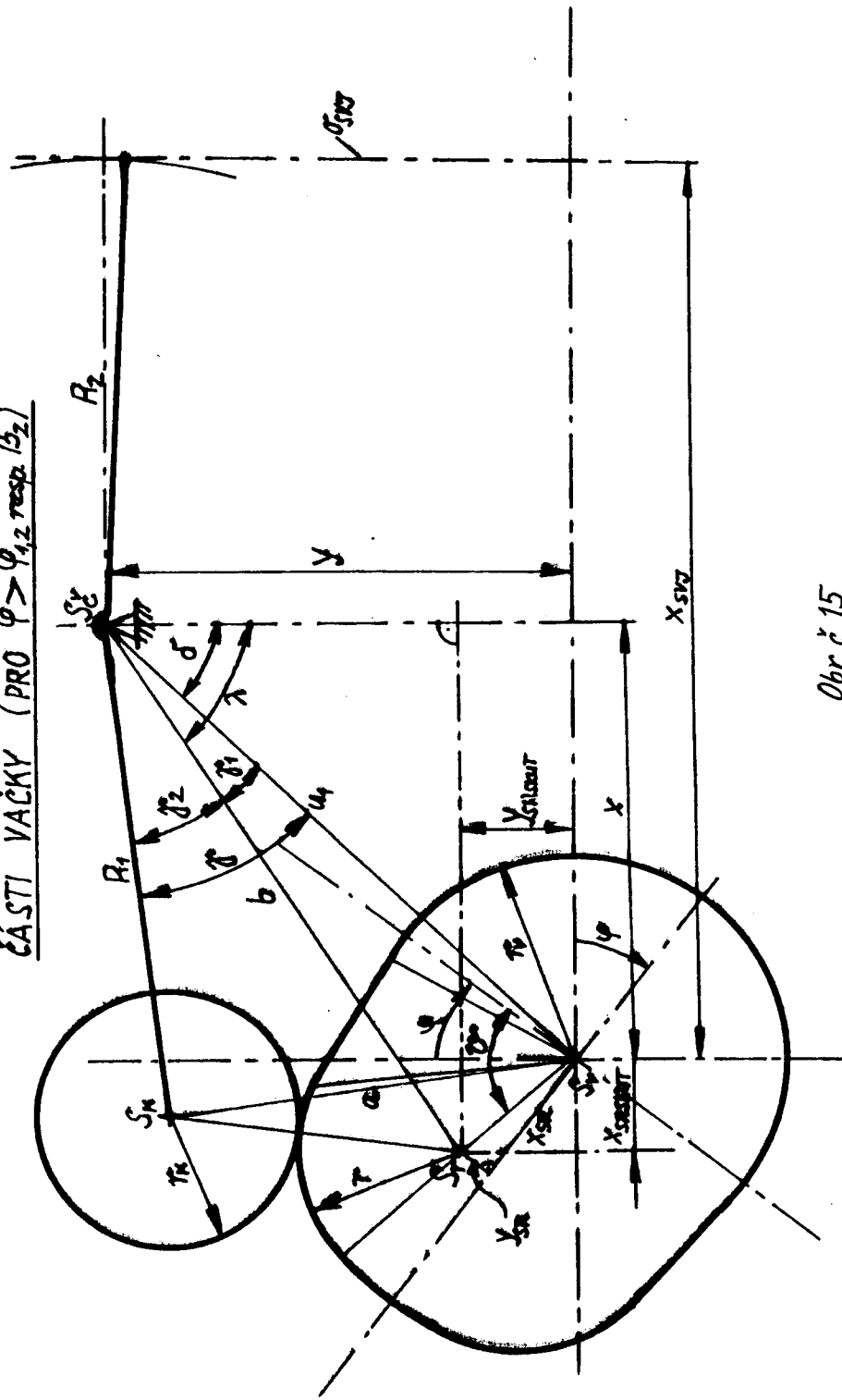
Dále pro zdvih platí:

$$z = z_0 - R_2 \cdot \sin(\psi_0 - \underbrace{\beta_\varphi}_{\Delta\beta} + \beta_0) \quad (25)$$

kde $(\psi_0 - \Delta\beta)$ je - li kladná hodnota, rameno je nad vodorovnou čarou, hodnota sin. je kladná a dochází k odčítání od z_0 , a opačně, je - li $(\psi_0 - \Delta\beta)$ záporná hodnota, rameno je pod vodorovnou čarou a hodnota sin se přičítá k z_0 .



GEOMETRICKÉ POMĚRY NA RADIUSOVÉ (HARMONICKÉ)
ČÁSTI VÁČKY (PRO $\varphi > \varphi_{1,2}$ resp. β_2)



Obr č 15

Postup výpočtu parametrů matematického modelu vstřikování

Pro výpočet je nutné zavést několik parametrů, především objem na jeden krok výpočtu, na jeden krok zdvihu

$$V_t = dz \cdot \frac{\pi D_p^2}{4} \quad [m^3/krok] \quad (26)$$

úbytek objemu z klidového stavu pístu ($\varphi=0^\circ$)

$$V_G = V_{G,n} + V_t \quad [m^3] \quad (27)$$

objem celkového prostoru pod pístem je roven V_p [m^3] a platí rovnice

$$V_p = V_k - V_G + z_p \cdot \frac{\pi D_p^2}{4} \quad [m^3] \quad (28)$$

kde V_k - objem kanálků a prostoru jehly

(daný hodnotou konstantní $= 1370,52 \text{ mm}^3 \approx 1370 \cdot 10^9 \text{ m}^3$)

(29)
$$\begin{aligned} z_p \cdot \frac{\pi D_p^2}{4} & \text{ - objem válcové části, je konstantní; s úhlem} \\ & \text{pootočení } \varphi [\text{°}] \text{ se mění } V_G, \text{ který je odečítán.} \\ & - z_p - zdvih pístku mak. \end{aligned}$$

I. úsek výpočtu

je úsek, který začíná od začátku pohybu pístu do doby otevření jehly, nebo zavření ventilu, nebo je-li tlak ve vstřikovači menší nebo roven tlaku ve válci

($S_v > 0$ a zároveň $p \leq p_0$ válce a zároveň j (zdvih jehly) = 0)

způsob výpočtu spočívá v tom, že vytlačený objem nafty V_t pístem (vždy objemy na jeden krok) se dělí na objem prošlý ventilem V_v a objem který se stlačí vlivem ε , V_ε .

základní vztah: $V_v = V_t - V_\varepsilon \quad [m^3/krok]$ (30)

z rovnice průtoku na ventili: $V_v = \mu_v \cdot S_v \sqrt{\frac{2}{\rho_N} (p - p_0)} \cdot \Delta t_{krok}$ (31)

kde M_V - souč. průtoku na ventilu [1]

S_V - průtočná plocha ventilu [m^2]

ρ_N - hustota nafty [kg/m^3]

p - tlak ve vstřikovači [Pa]

p_0 - podávací (plnící) tlak dopravního čerpadla [Pa]

Δt_{KROK} - je čas 1 kroku [s]

vyjádřený tlak:

$$p = \frac{V_V^2 \cdot \rho_N}{2 \cdot \mu_V^2 \cdot S_V^2 \cdot \Delta t_{KROK}^2} + p_0 \quad [Pa] \quad (32)$$

změna tlaku na krok: $\Delta p = p - p_{př.} \quad [Pa] \quad (33)$

dále vyjádříme $V_E = V_p \cdot \frac{\Delta p}{\varepsilon}$

kde ε - modul stlačitelnosti nafty

$$\varepsilon = \text{konst.} = 1,7 \cdot 10^9 \quad [Pa]$$

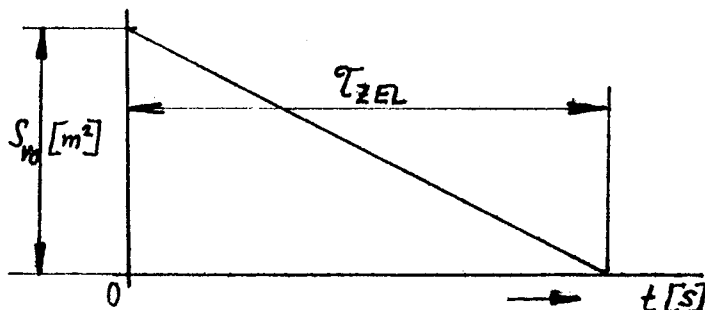
V_p = celkový stlačováný objem

dále skutečný V_V na jeden krok $V_V = V_i - V_E \quad [m^3/krok] \quad (30)$

postup je tedy takový $Q \rightarrow \Delta p \rightarrow V_E \rightarrow V_V$

Dále se I. úseku výpočtu týká ZAVÍRÁNÍ VENTILU (elektromagnetu)
(podmínka $S_V > 0$)

Ve výpočtu uvažují přímkový průběh S_V v závislosti na čase



Vyjádřená rovnice přímky bude podle obrázku

$$S_V = S_{V0} - \frac{S_{V0}}{T_{ZEL}} \cdot \Delta t_{KROK} \quad [m^2] \quad T_{ZEL} = 0,5 \text{ ms} = 0,0005 \text{ s} \quad (34)$$

Třetí podmínka pro I. úsek je j (zdvih jehly) = 0
 Proto musíme zdvih ošetřit

Síla pružiny : $F_p = F_{po} + k_p \cdot j$ [N] kde F_{po} - je síla předpětí [N]
 (35)

$$F_{po} = S_{zj} \cdot p_{ov} , \text{ kde } S_{zj} - \text{je plocha zdvihamy jehly} \quad (36)$$

p_{ov} - je otvírací tlak

zdvihamy plocha jehly je dána plochou mezikruží

$$S_{zj} = 14,72 \text{ mm}^2 = 14,72 \cdot 10^{-6} \text{ m}^2$$

dále je dána : k_p - tuhost pružiny [N/m]

F_t - tlaková síla od tlaku nafty ve vstřikovači,
 která působí proti síle pružiny

$$F_t = p \cdot S_{zj} \quad (37)$$

Podmínka pohybu jehly : $F_t > F_{po}$

$$\text{z Newtonova zákona platí : } a_{jov} = \frac{F_t - F_p}{m_{jehly}} \quad [m \cdot s^{-2}] \quad (38)$$

při začátku zvedání jehly dojde k přechodu na 2. úsek výpočtu

Způsob výpočtu I. úseku je vhodný pouze pro menší tlaky,
 v tomto případě je přechod na II. úsek dán hranicí 3 MPa,
 což představuje tlak ve válci. Pro velké tlaky je v tomto
 výpočtu $V_f > V_i$, soustava se rozkmitává, tlak roste do extrémů.

II. úsek výpočtu

Je dán podmínkami: $S_r = 0$ nebo $p > p_{VÁLCE}$ nebo $j = 0$

způsob výpočtu na II. úseku je opačný

získáme objem $V_E = V_1 - V$ odtékající $[m^3/krok]$ (39)
 V odtékající $= V_T + V_V$ - odtok tryskou a ventilem
 $[m^3/krok]$

zpětně $\Delta p = V_E \cdot \frac{\epsilon}{V_p} [Pa]$ V_p - stlačovaný objem $[m^3]$ (40)

$$p = p + \Delta p \quad \text{přírůstek tlaku na jeden krok}$$

Postup pro II. úsek je tedy opačný: $V_E \rightarrow \Delta p \rightarrow Q$

$$V_T = \mu_T S_T \sqrt{\frac{2}{\rho} (p - p_{VÁLCE})} \cdot \Delta t_{KROK} \quad - \text{prošlý objem tryskou za 1 krok} \\ [m^3/krok] \quad (41)$$

kde μ_T - součinitel průtoku na trysce $[1]$
 S_T - průtočná plocha trysky $[m^2]$
 $-$ je dána závislostí na zdvihu j $[m]$

Platí vztah: $S_T = \pi \cdot j (\phi d_j - 0,5 \cdot j \cdot \sin \alpha) \sin \frac{\alpha}{2} [m^2]$ (42)

α úhel sedla jehly
 $\alpha = 60^\circ$
 $\phi d_j = 1,5 \text{ mm}$

Dále pro II. úsek výpočtu jsou nutné tyto vztahy:

Jestliže $V_x < V_{x0}$, kde $V_x = V_{x0} + V_T$ (celkový průtok tryskou od počátku vstřikování),

V_{x0} - je daná dávka $[m^3/10\text{S}\text{E}\text{H}]$, při které se začíná otvírat přepouštěcí ventilek, dávka skutečná je větší vlivem setrvačnosti jehly a vlivem doby otvírání elmg. ventilku.

Rovnice pro otvírání jehly: jestliže $V_x < V_{x0}$

$$F_p = F_{p0} + k_p \cdot j \quad [N] \quad (35) \quad F_t = p \cdot S_{zj} \quad [N] \quad (37)$$

jestliže $F_t > F_{p0}$ potom dochází k pohybu jehly

z Newtnova zákona platí:

$$a_{jorn} = \frac{F_t - F_p}{m_{jehly}} \quad [m/s^2] \quad (38)$$

m jehly - hmotnost jehly vstřikovací trysky

Výpočet hmotnosti

Podle výkresu jehly podle označených částí číslicemi 1 - 9 platí:

část 1 - válec $\phi 3 - 6,4$ mm	$V_1 = 45,24 \text{ mm}^3$
část 2 - válec $\phi 4,92 - 6,4$ mm	$V_2 = 121,67 \text{ mm}^3$
část 3 - válec $\phi 5 - 16,8$ mm	$V_3 = 329,86 \text{ mm}^3$
část 4 - Komolý kužel $\phi 4, \phi 5, v = 1$ mm	$V_4 = 15,96 \text{ mm}^3$
část 5 - válec $\phi 4,15 - 3,5$ mm	$V_5 = 47,34 \text{ mm}^3$
část 6 - válec $\phi 4,3 - 21$ mm	$V_6 = 304,96 \text{ mm}^3$
část 7 - komolý kužel $\phi 2,5, \phi 4,3, v = 1,5$ mm	$V_7 = 13,936 \text{ mm}^3$
část 8 - válec $\phi 2,5 - 0,8$	$V_8 = 3,92 \text{ mm}^3$
část 9 - kužel $\phi 2,5, v = 1,8$ mm	$V_9 = 2,945 \text{ mm}^3$

$$\text{Objem } V \text{ jehly} = 885,83 \text{ mm}^3 = 0,88583 \text{ cm}^3$$

$$\rho = 7,8 \text{ g/cm}^3 \Rightarrow m_{jehly} = 6,909 \text{ g} = 6,909 \cdot 10^{-3} \text{ kg}$$

$$\text{zdvih jehly na krok } \Delta j = \frac{1}{2} a_{jorn} \cdot \Delta t_{krok}^2 \quad (\text{dráha při konst. zrychlení}) \quad (44)$$

dále pro otvírání jehly platí, že dosáhne-li $j = 0,3$ mm = $= 0,0003$ m, potom je dále konstantní ($0,0003$ m)

Jestliže $V_x > V_{x0}$ potom bude docházet k zavírání jehly vstřikovače, vlivem prudkého poklesu tlaku. (vlivem otvírání ventilku).

$$\text{Opět} \quad F_p = F_{p0} + k_p \cdot j \quad [N]$$

$$F_t = S_{zj} \cdot p \quad [N]$$

jestliže $F_t < F_{pmax}$ ($j = 0,3 \text{ mm}$) $F_{pmax} = F_{po} + j \cdot k_p$ [N]

potom nastane zpětný pohyb jehly se zrychlením

$$a_{jzav} = \frac{F_p - F_t}{m_{jehly}} \quad [\text{m/s}^2] \quad (45)$$

opět změna zdvihu na jeden krok Δj [m]

$$\Delta j = \frac{1}{2} a_{jzav} \cdot \Delta t_{krok}^2 \quad [\text{m}] \quad (46)$$

$$j = j - \Delta j$$

jestliže $j \leq 0$, potom j (zůstává zavřená) = 0.

Dále je nutné definovat průběh otevírání přepouštěcího ventilku, podobně jako při zavírání bude průběh lineární

průtočná plocha $S_v = \frac{S_{vo}}{\tau_{oel}} \cdot \Delta t_{krok}$ [m^2] (47)

řešení uvažováno

s dvěma časy

otevírání ventilku $\tau_{oel,1} = 0,5 \text{ ms} = 0,0005 \text{ s}; \tau_{oel,2} = 2,2 \text{ ms} = 0,0022 \text{ s}$

Pokud nastane případ, že tlak ve válci je větší než tlak ve vstřikovači a jehla je ještě otevřená, což nastalo pro krátký čas otevírání ventilku, potom se výpočet skončí, protože takový případ by neměl nastat. Docházelo by ke zpětnému proudění z válce do vstřikovače, proto nemá význam pokračovat ve výpočtu. Přesto však k tomuto případu v tomto matematickém modelu dojde, vlivem nezahrnutých vlivů na průběh tlaku.

III. úsek výpočtu

Po prudkém poklesu tlaku p pod P válce = 3 MPa dojde opět k výpočtu podle vztahů z I. fáze s tím ($S_v > 0$ a zároveň $p_{válce} \geq p$ a zároveň $j = 0$)

rozdílem, že zde tlak kleší.

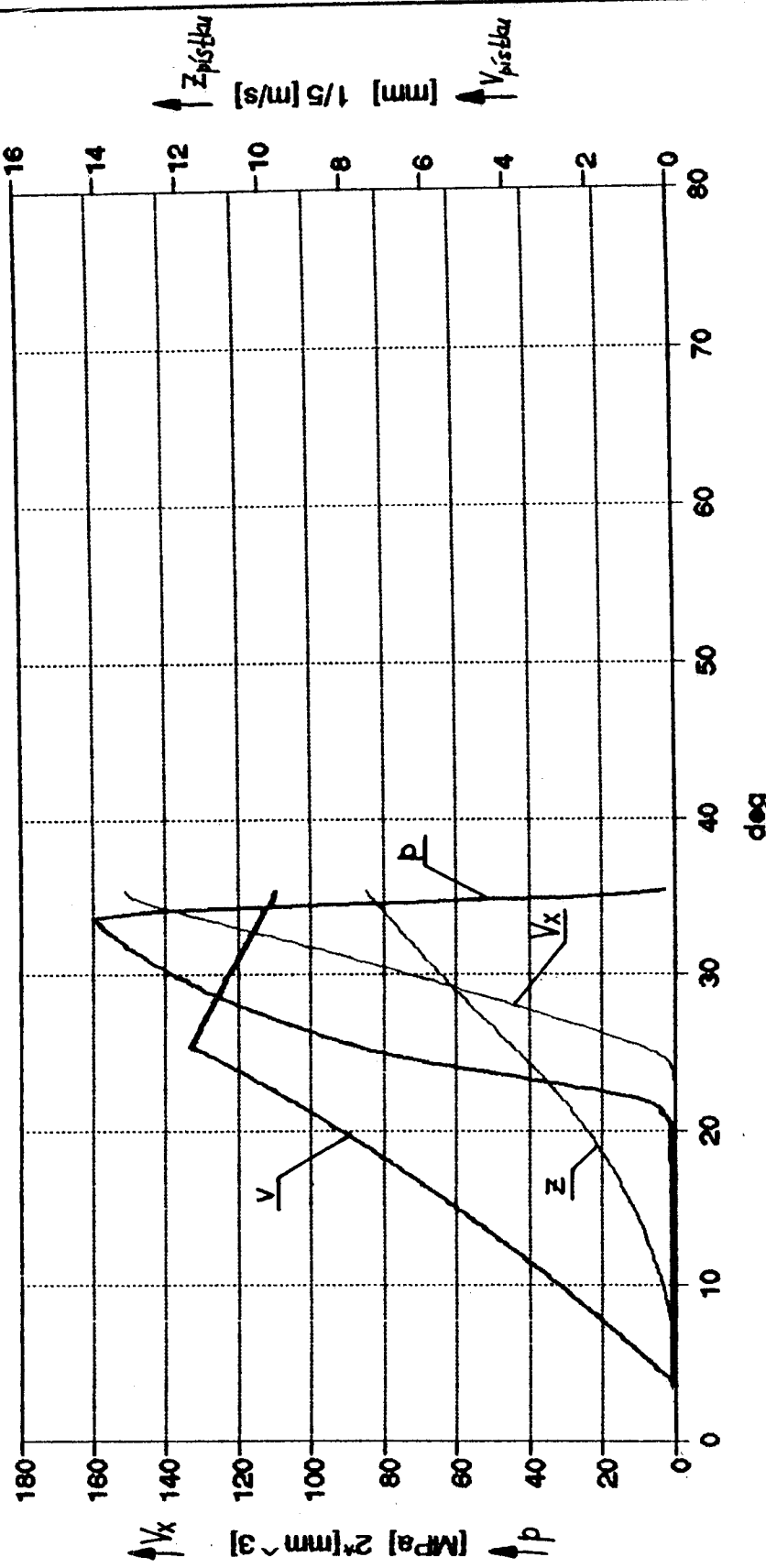
Pro přesnost výpočtu má značný vliv krok výpočtu, měl by být co nejjemější. Čím menší je krok, tím je větší přesnost výpočtu.
(uvažovaný krok - $0,1^\circ$)

GRAFICKÉ ZÁVISLOSTI

graf č. 1

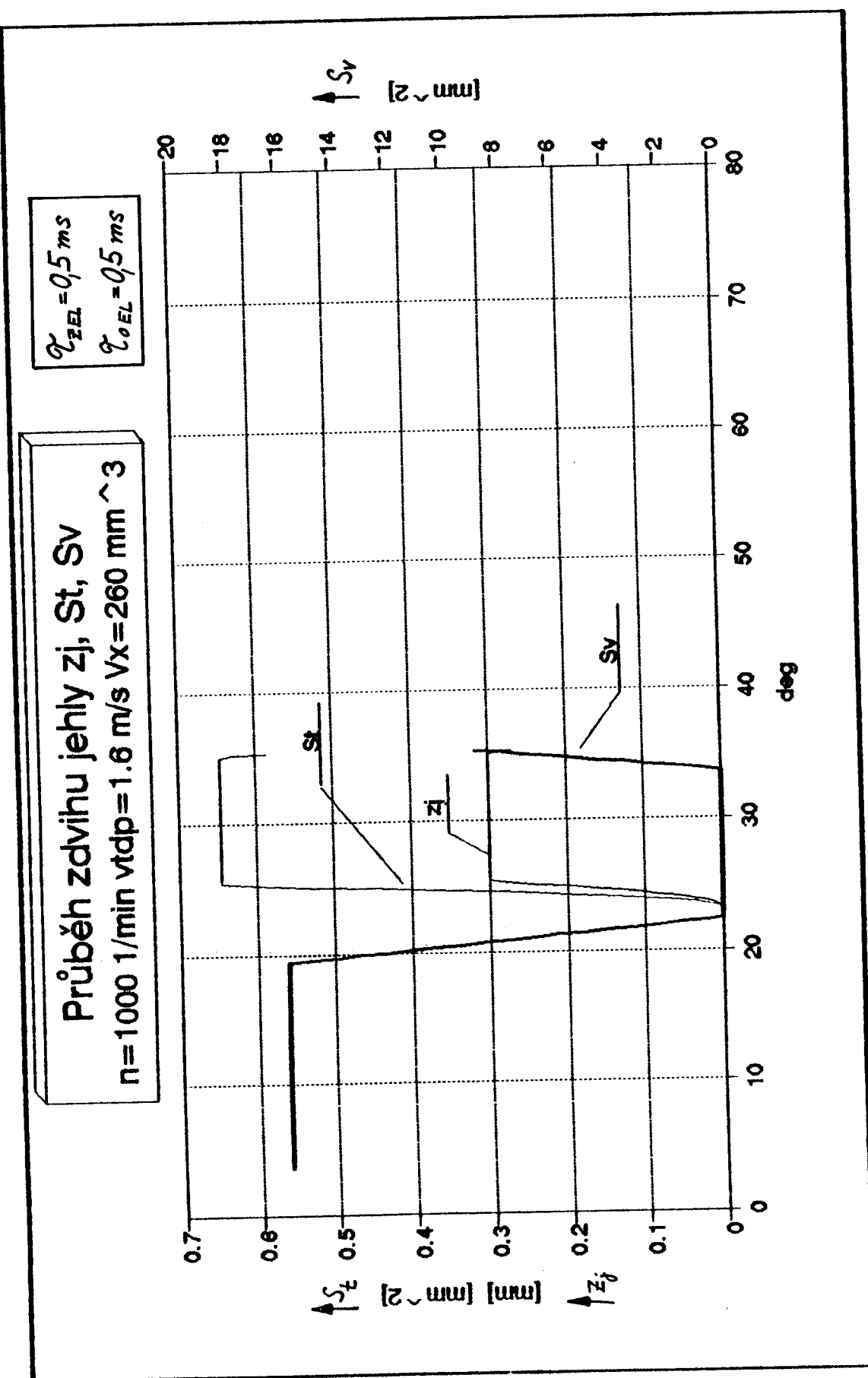
Průběh P, z, v_x, v_z
 $n = 1000 \text{ 1/min}$ $v_{pd} = 1.6 \text{ m/s}$ $V_x = 260 \text{ mm}^3$

$$\begin{aligned} \varrho_{ZEL} &= 0.5 \text{ ms} \\ \varrho_{oEL} &= 0.5 \text{ ms} \end{aligned}$$



graf č 2

Průběh zdvihu jehly z_j , St, Sv
 $n=1000 \text{ 1/min}$ $v_{tdp}=1.6 \text{ m/s}$ $Vx=260 \text{ mm}^3$

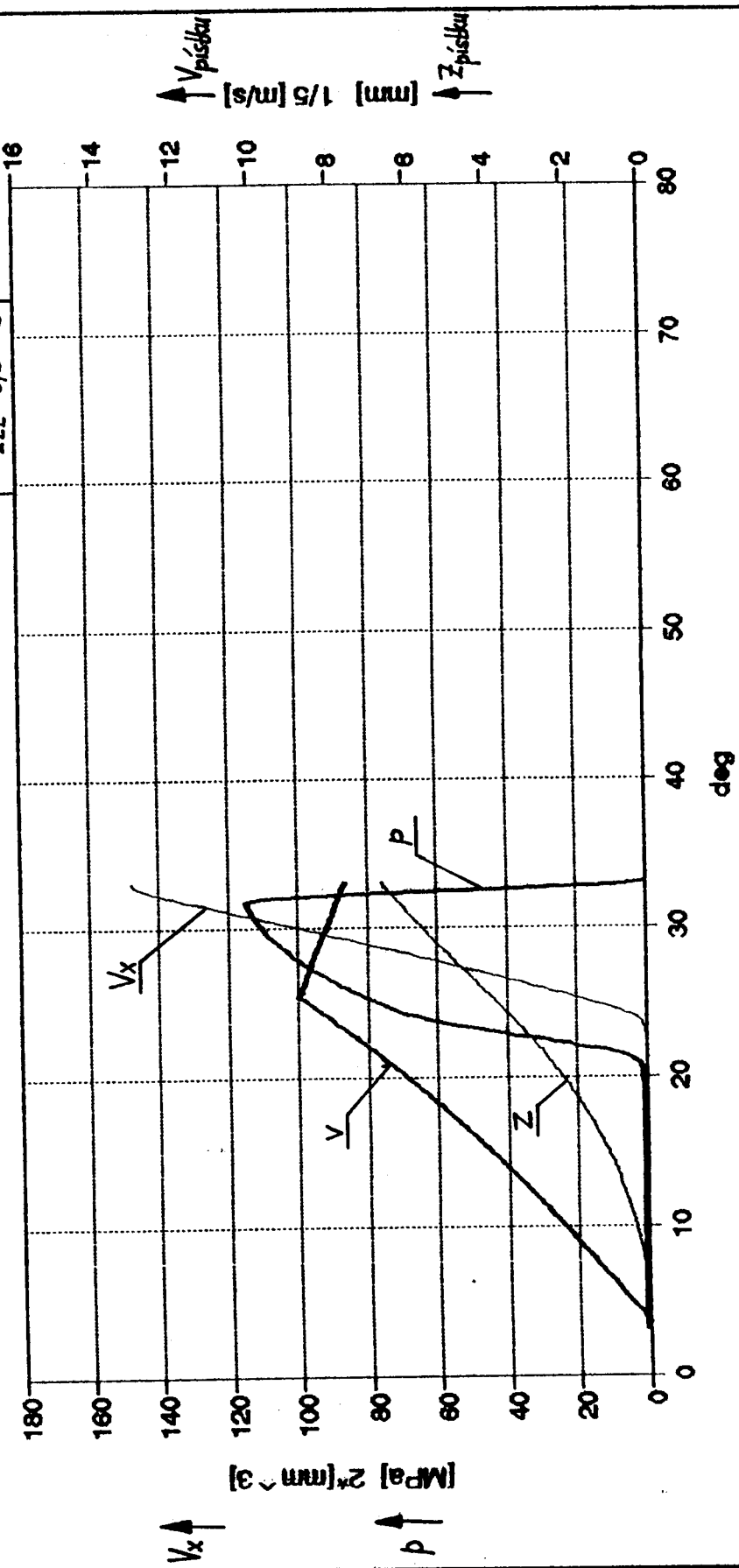


$$\begin{aligned}\vartheta_{2EL} &= 0.5 \text{ ms} \\ \vartheta_{0EL} &= 0.5 \text{ ms}\end{aligned}$$

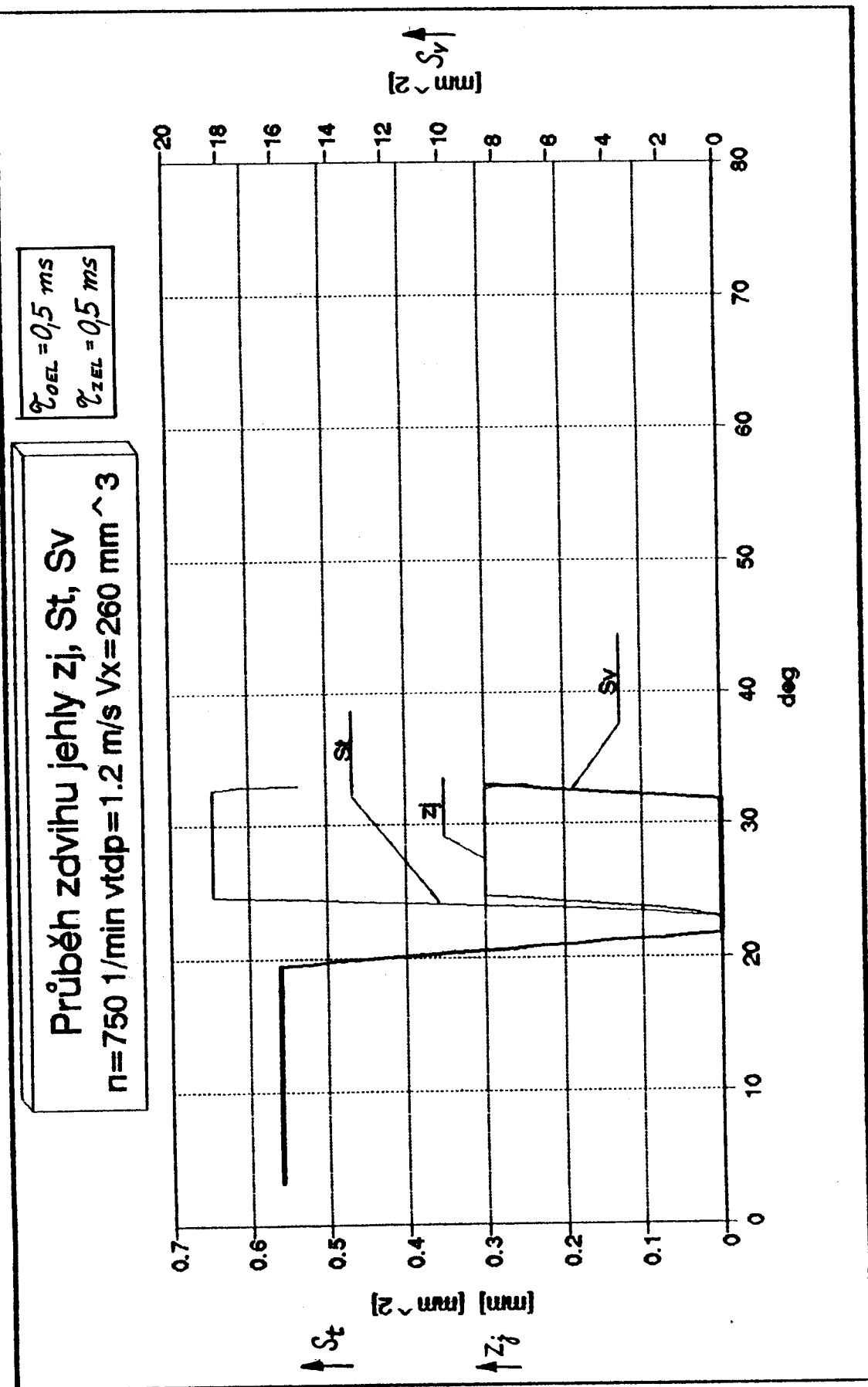
graf č. 3

Průběh p, z, v, V_x
 $n = 750 \text{ 1/min}$ $v_{tpd} = 1.2 \text{ m/s}$ $V_x = 260 \text{ mm}^3$

$$\begin{aligned} \tau_{OEL} &= 0.5 \text{ ms} \\ \tau_{ZEL} &= 0.5 \text{ ms} \end{aligned}$$



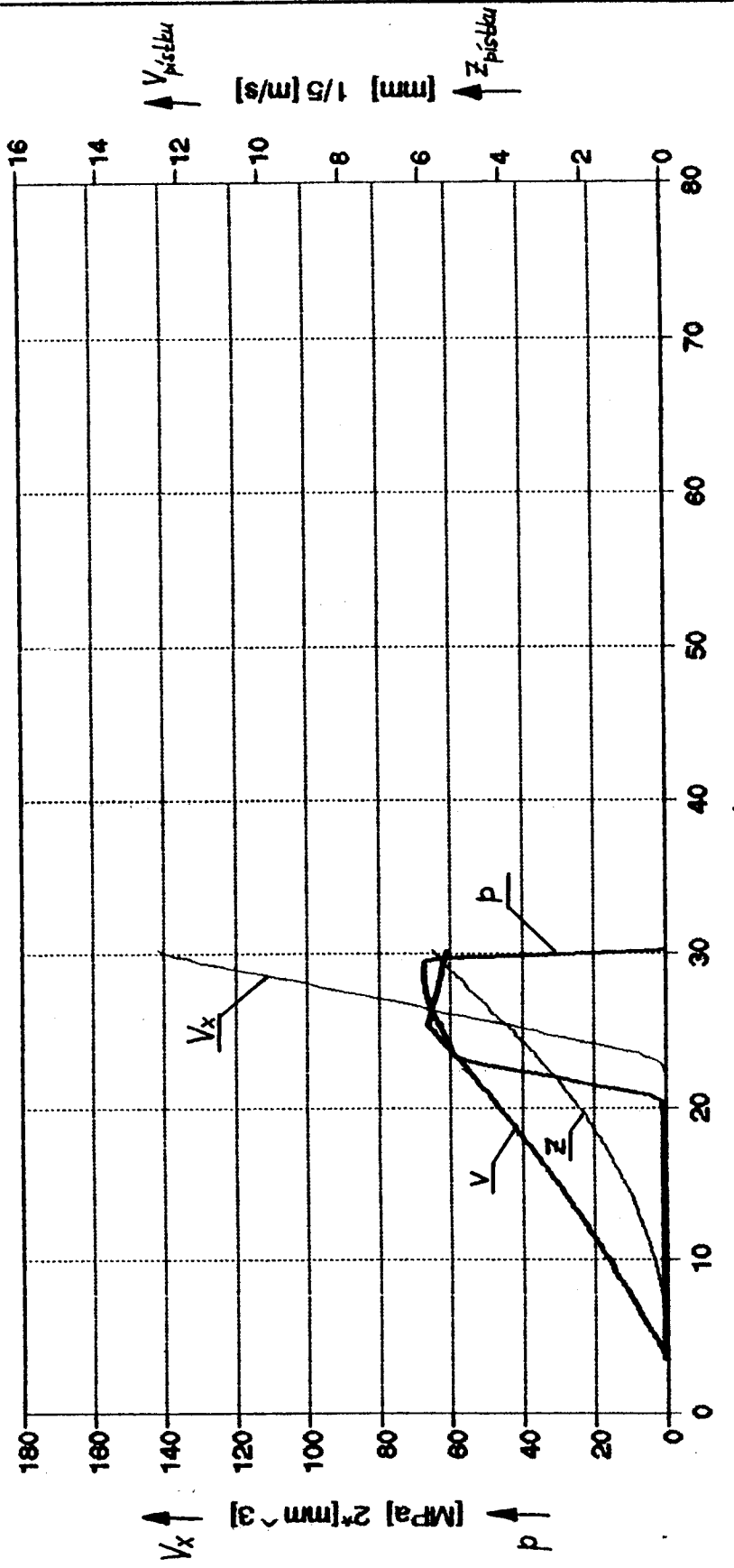
graf č. 4



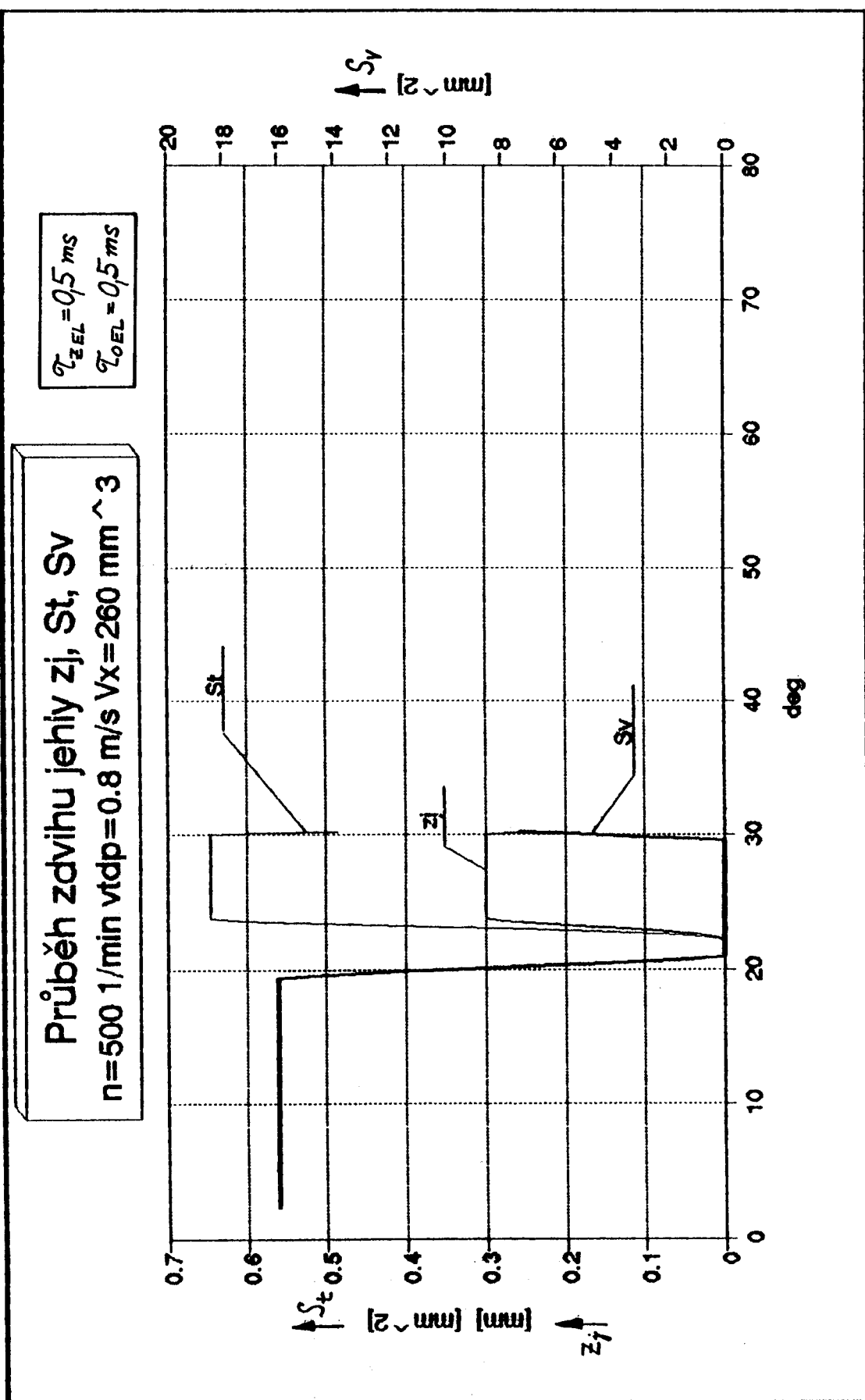
graf č. 5

Průběh P, z, v, V_x $n = 500 \text{ 1/min}$ $V_t p d = 0.8 \text{ m/s}$ $V_x = 260 \text{ mm}^3$

$$\begin{aligned} \varrho_{z_{EL}} &= 0,5 \text{ ms} \\ \varrho_{o_{EL}} &= 0,5 \text{ ms} \end{aligned}$$



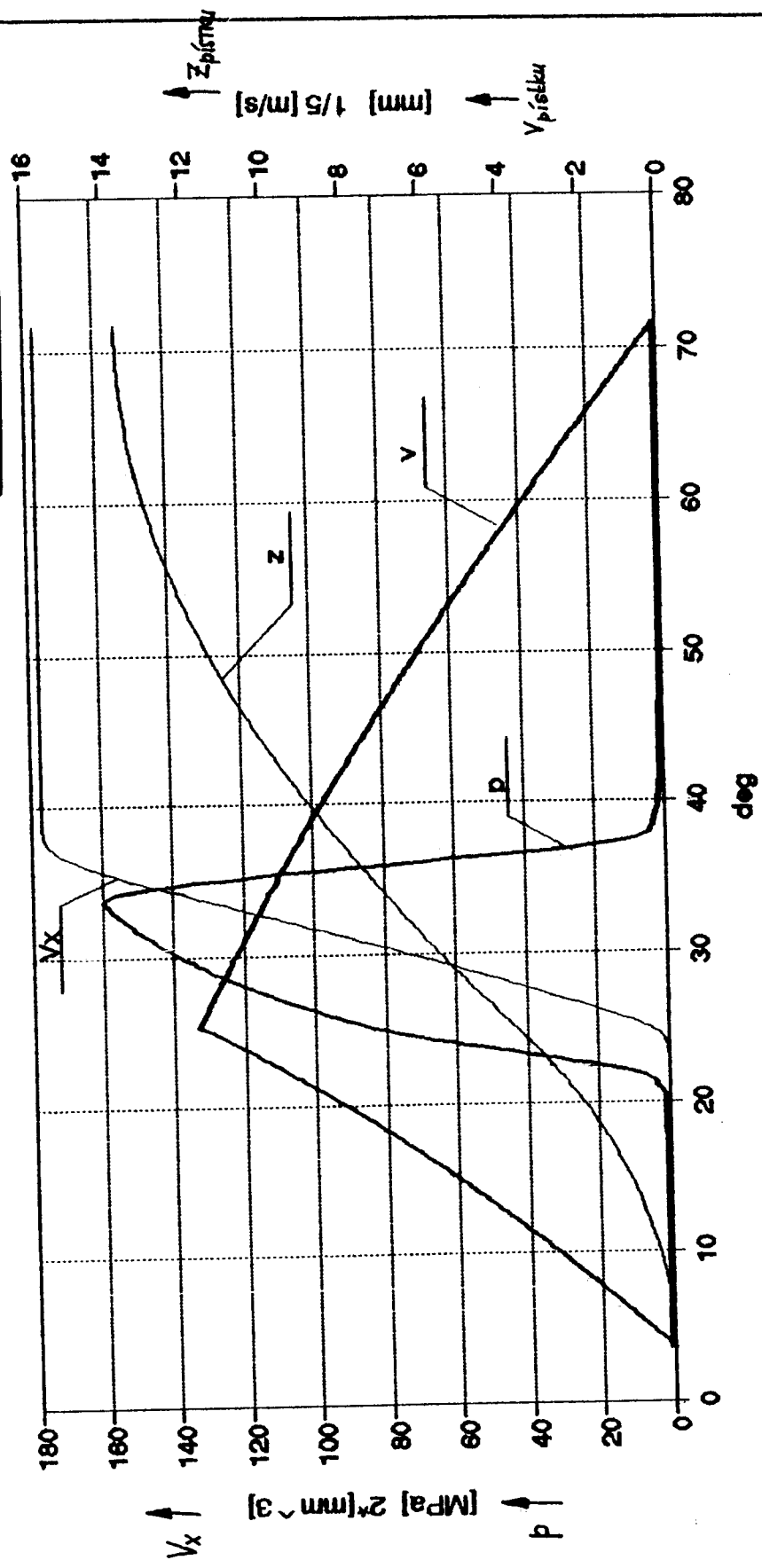
graf č. 6



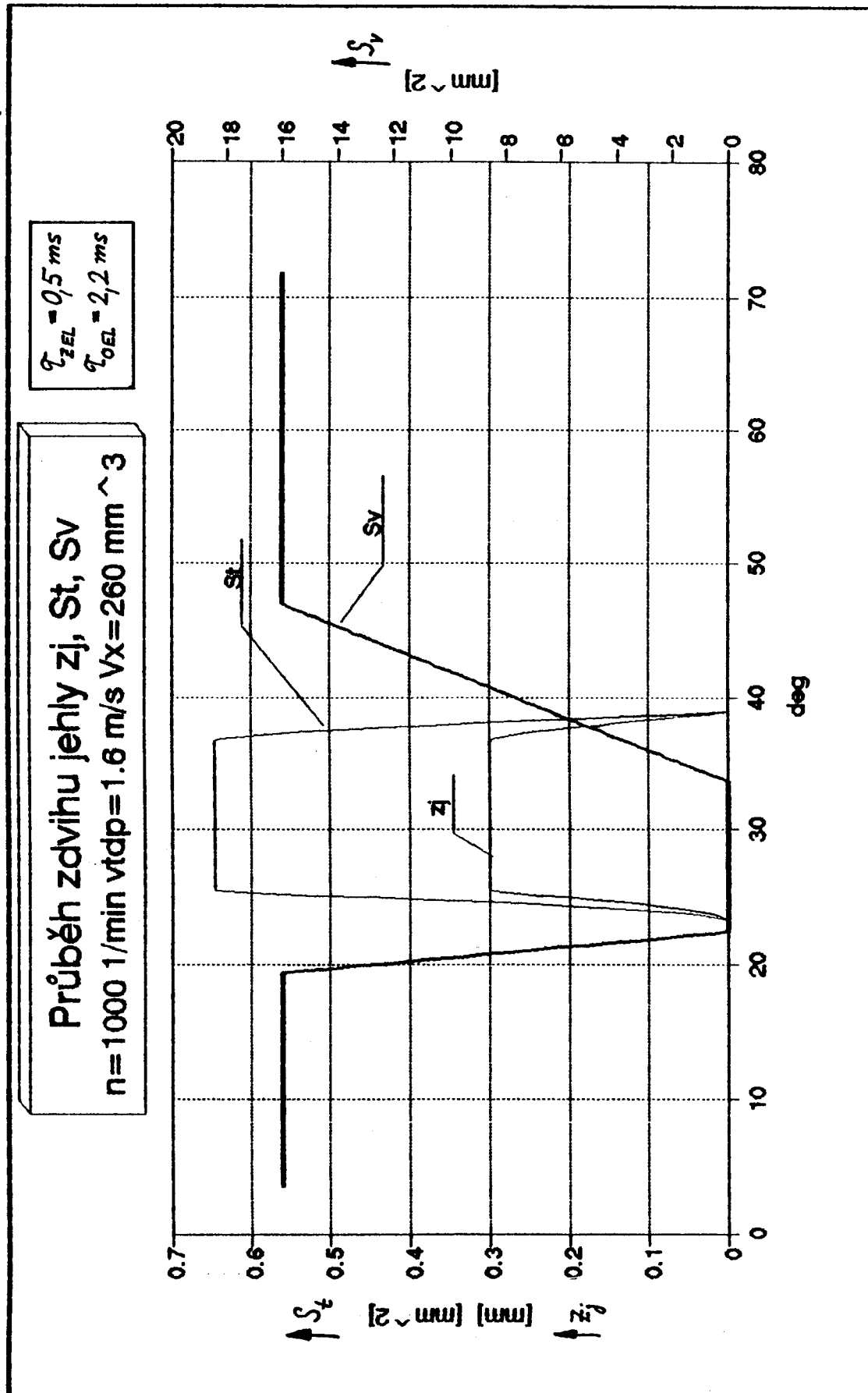
graf č. 7

$$\begin{aligned} \tau_{z_{EL}} &= 0,5 \text{ ms} \\ \tau_{0_{EL}} &= 2,2 \text{ ms} \end{aligned}$$

Průběh p, z, v, V_x
 $n = 1000 \text{ 1/min}$ $Vpd = 1.6 \text{ m/s}$ $Vx = 260 \text{ mm}^3$



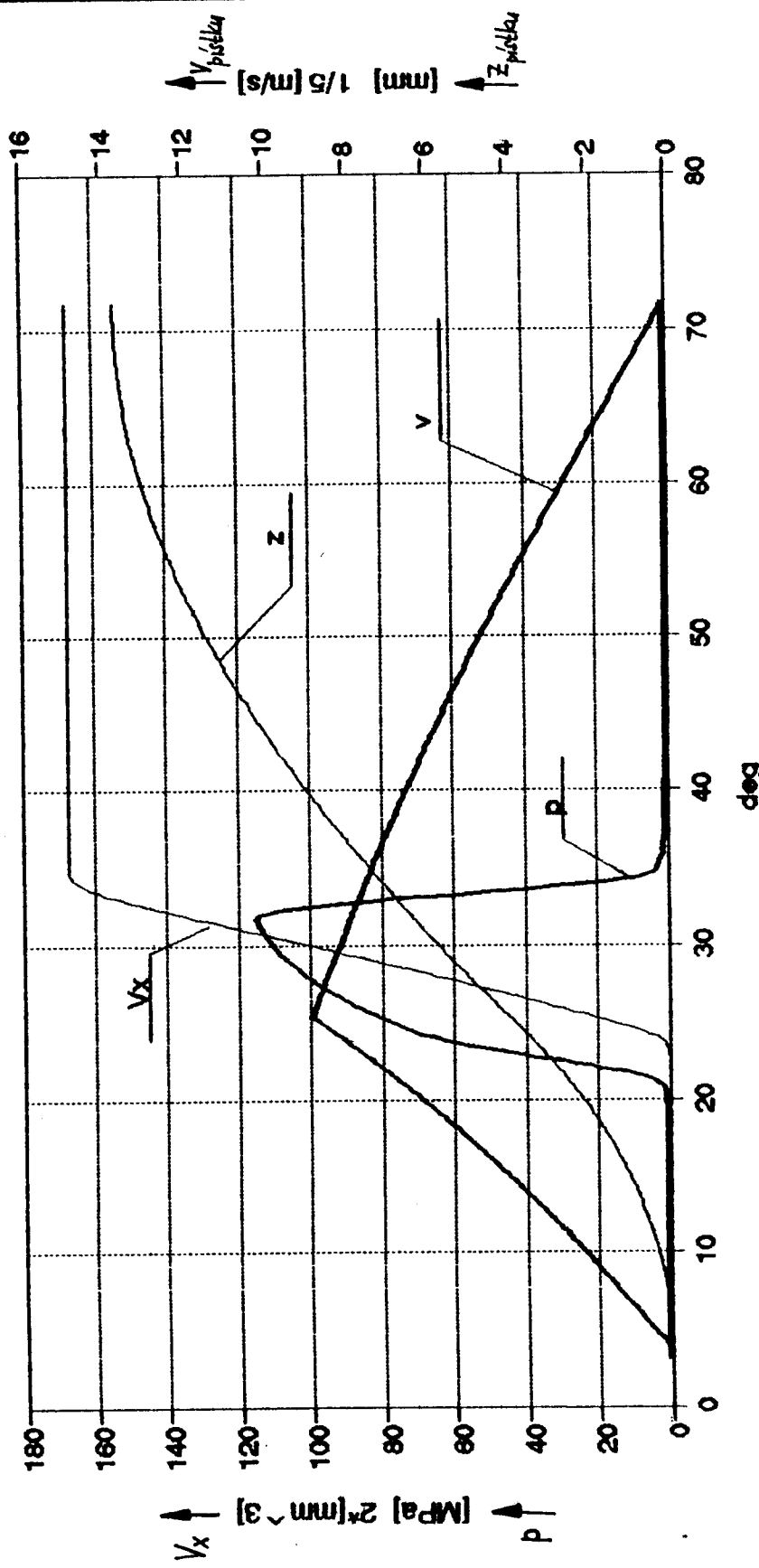
graf č. 8



graf č. 9

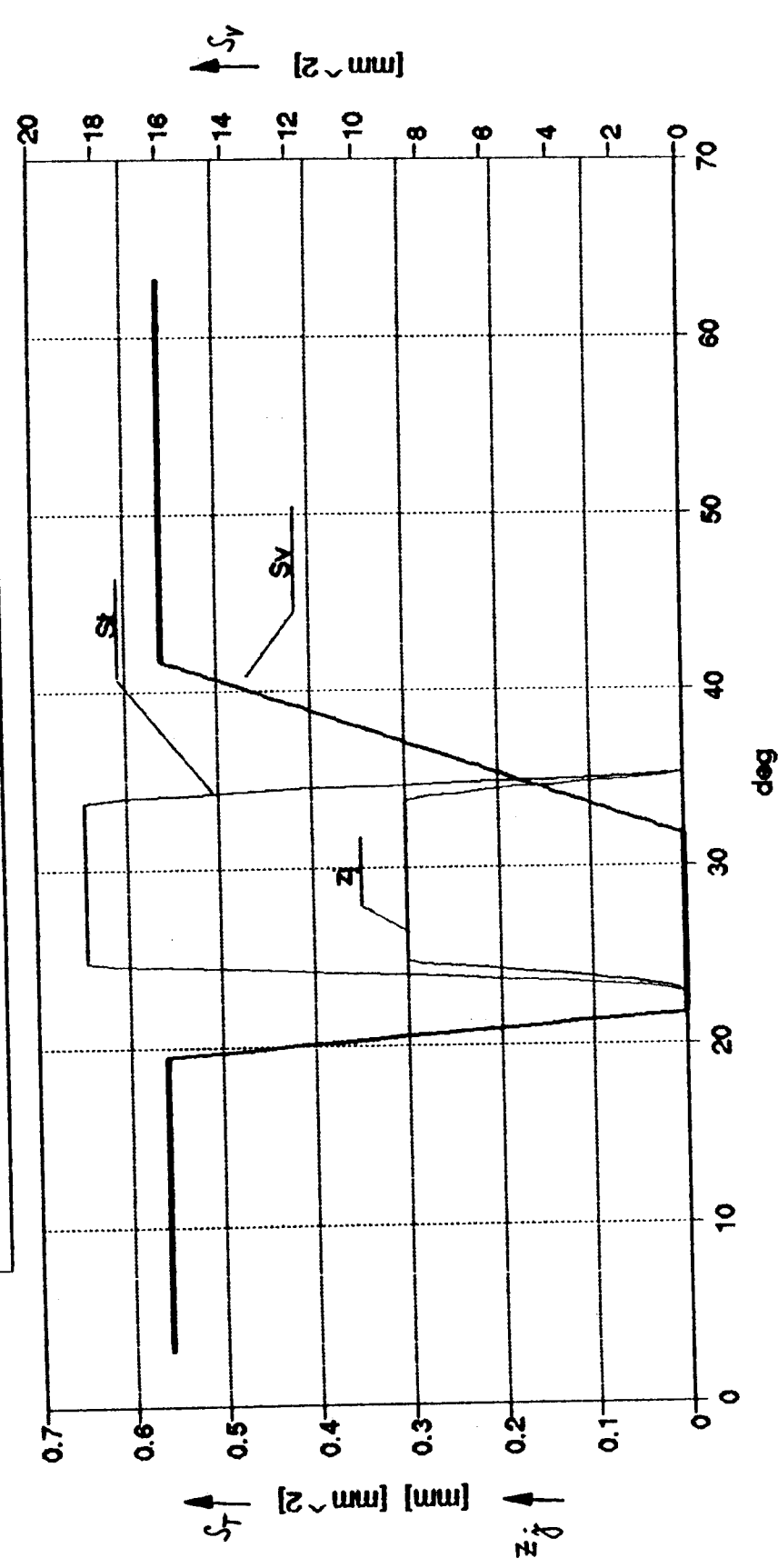
Průběh p, z, v_x
 $n = 750 \text{ 1/min}$ $v_{pd} = 1.2 \text{ m/s}$ $V_x = 260 \text{ mm}^3$

$$\begin{aligned} q_{z_{EL}} &= 0.5 \text{ ms} \\ q_{0_{EL}} &= 2.2 \text{ ms} \end{aligned}$$



graf č. 10

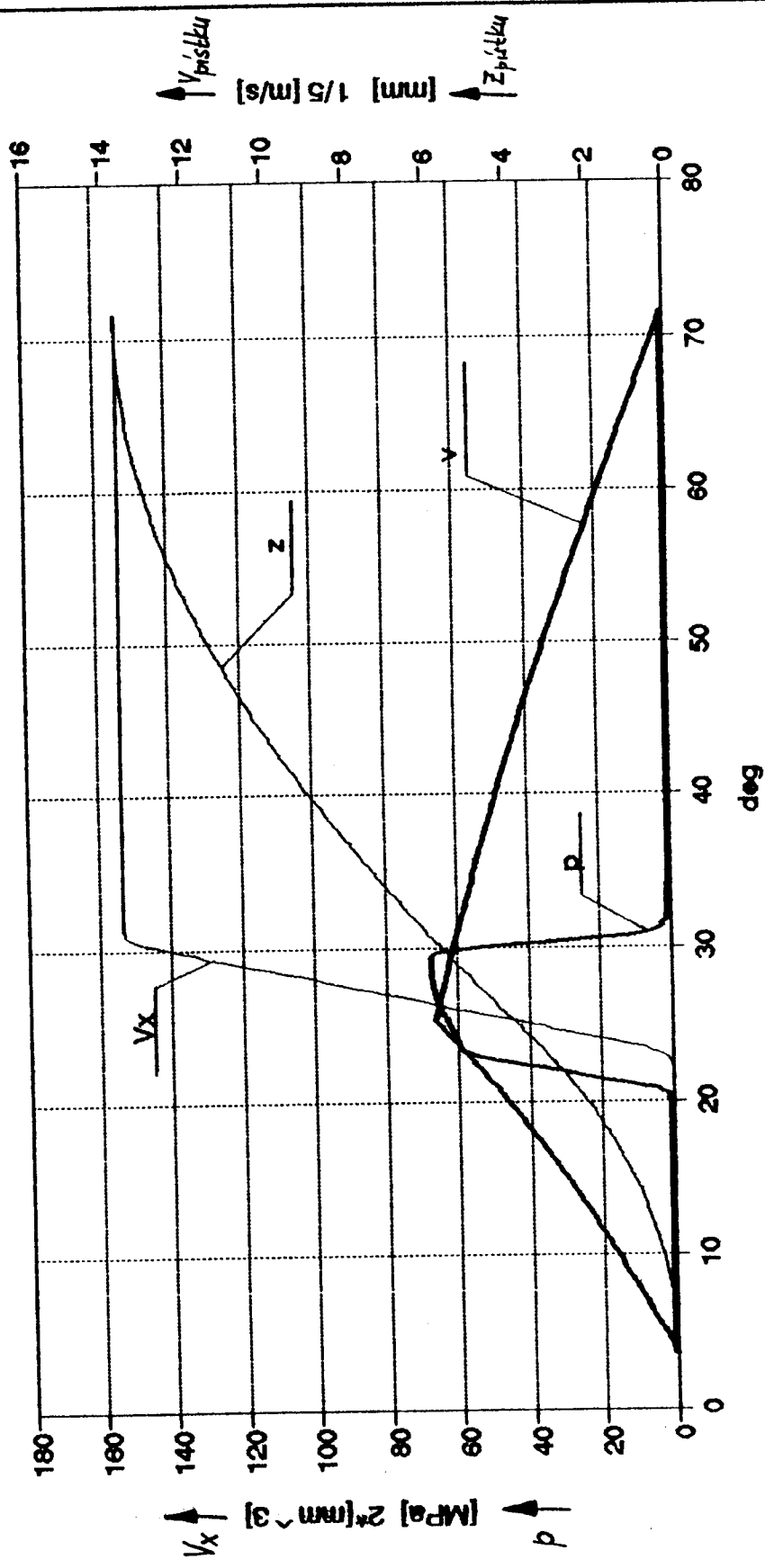
Průběh zdvihu jehly z_j , St, Sv
 $n = 750 \text{ 1/min}$ $v_{t dp} = 1.2 \text{ m/s}$ $V_x = 260 \text{ mm}^3$



graf č. 11

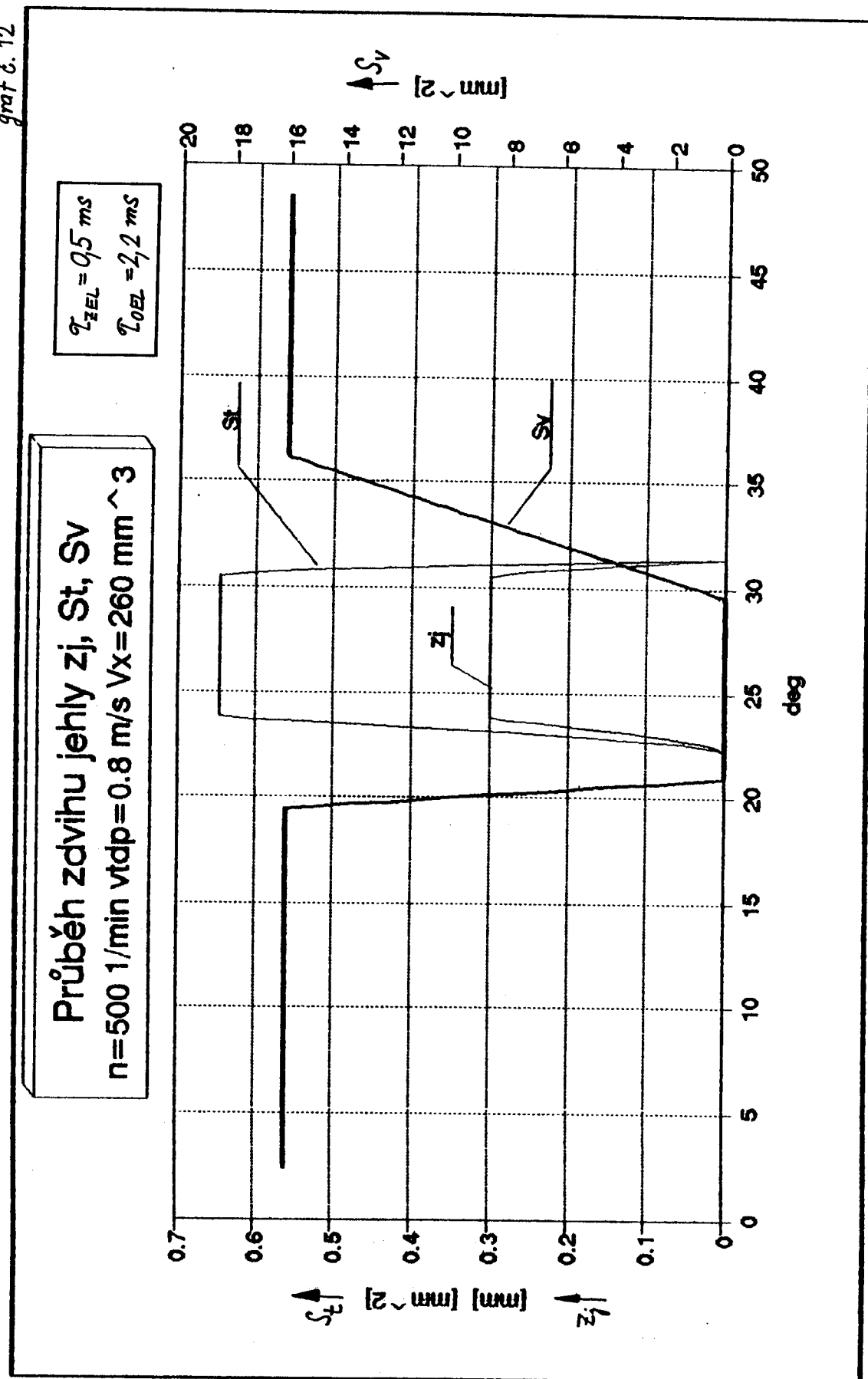
Průběh p, z, v_x
 $n = 500 \text{ 1/min}$ $v_{tpd} = 0.8 \text{ m/s}$ $v_x = 260 \text{ mm}^3$

$$\begin{aligned} T_{z,EL} &= 0.5 \text{ ms} \\ T_{o,EL} &= 2.2 \text{ ms} \end{aligned}$$



graf č. 12

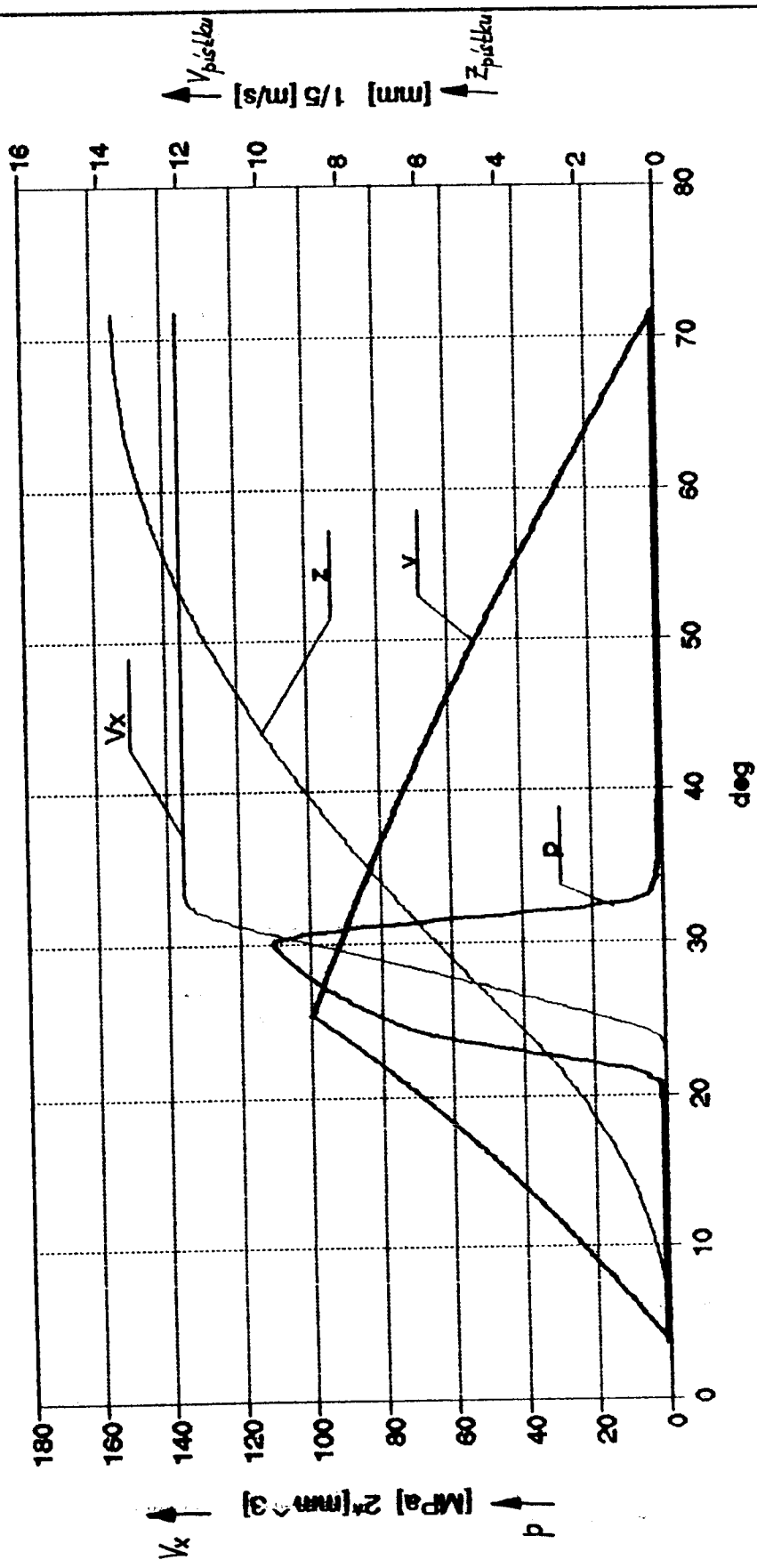
Průběh zdvihu jehly z_j , St, Sv
 $n=500 \text{ 1/min}$ $v_{tdp}=0.8 \text{ m/s}$ $Vx=260 \text{ mm}^3$



graf č. 13

Průběh P, z, v, V_x
 $\eta = 750 \text{ 1/min}$ $v_{tpd} = 1.2 \text{ m/s}$ $V_x = 200 \text{ mm}^3$

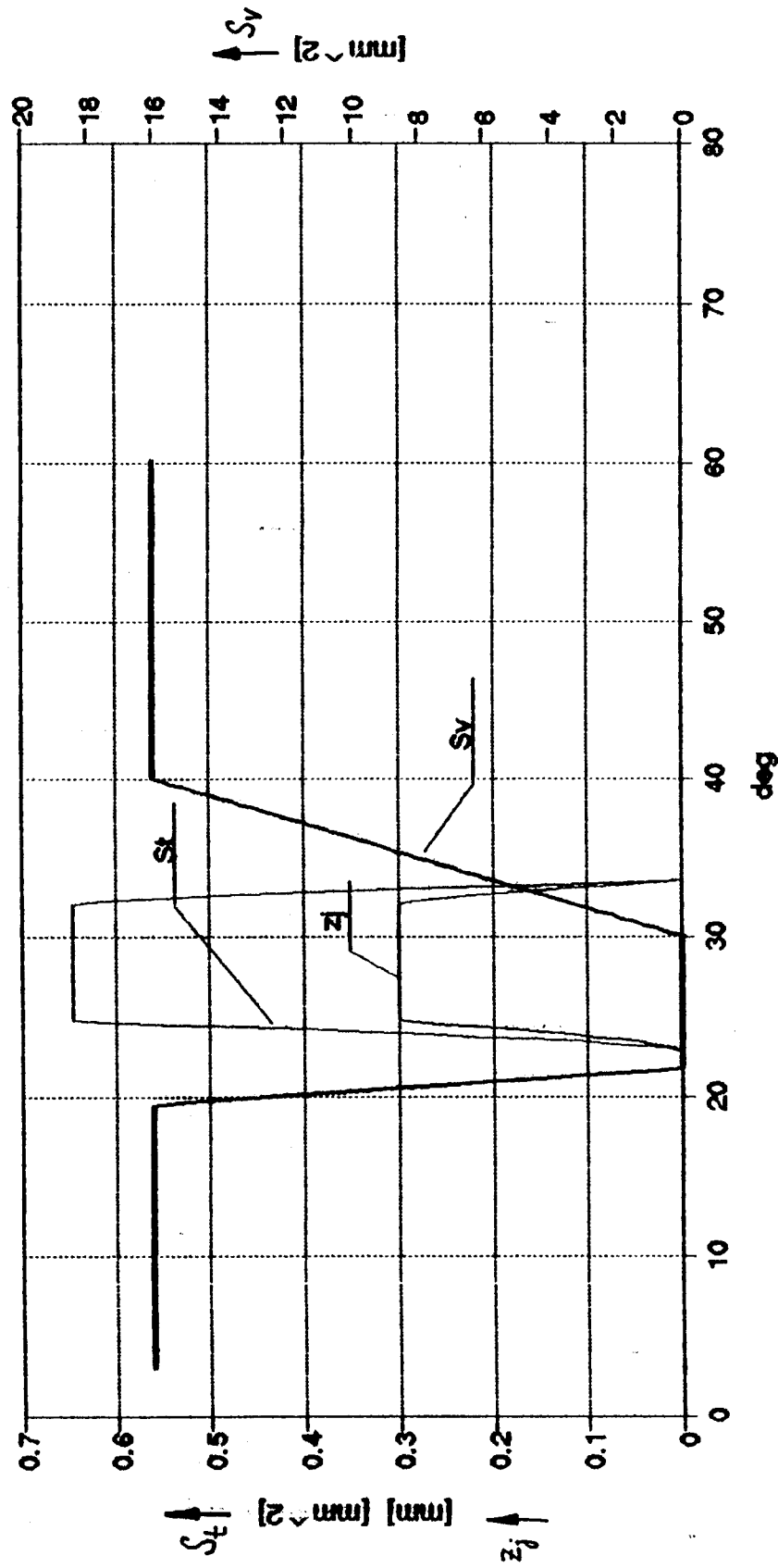
$$\begin{aligned} T_{z_{EL}} &= 0.5 \text{ ms} \\ T_{0_{EL}} &= 2.2 \text{ ms} \end{aligned}$$



graf č. 14

Průběh zdvihu jehly z_j , St, Sv
 $n=750 \text{ 1/min}$ $v_{\text{tdp}}=1.2 \text{ m/s}$ $Vx=200 \text{ mm}^3$

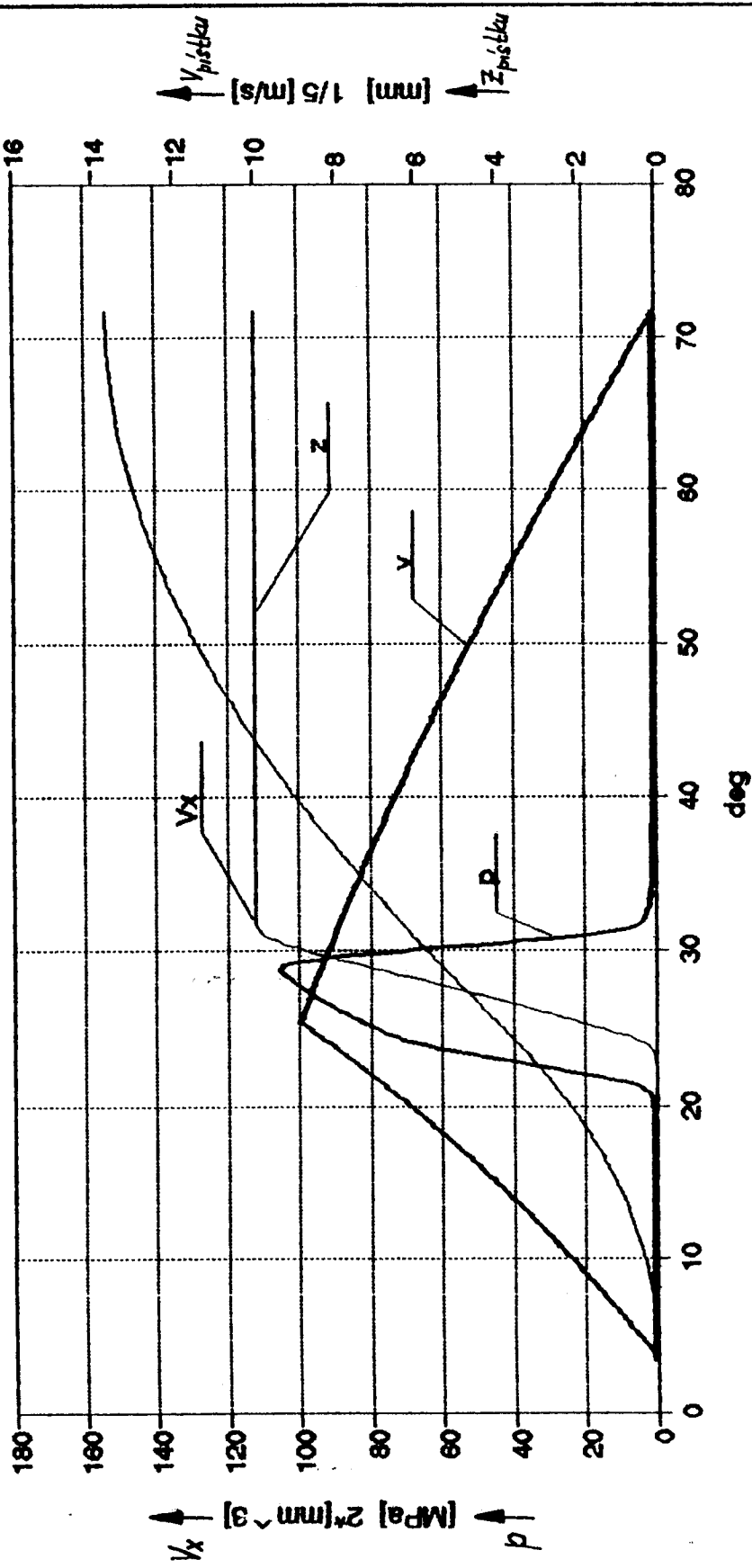
$$\begin{aligned}\tau_{ZEL} &= 0.5 \text{ ms} \\ \tau_{SEL} &= 2.2 \text{ ms}\end{aligned}$$



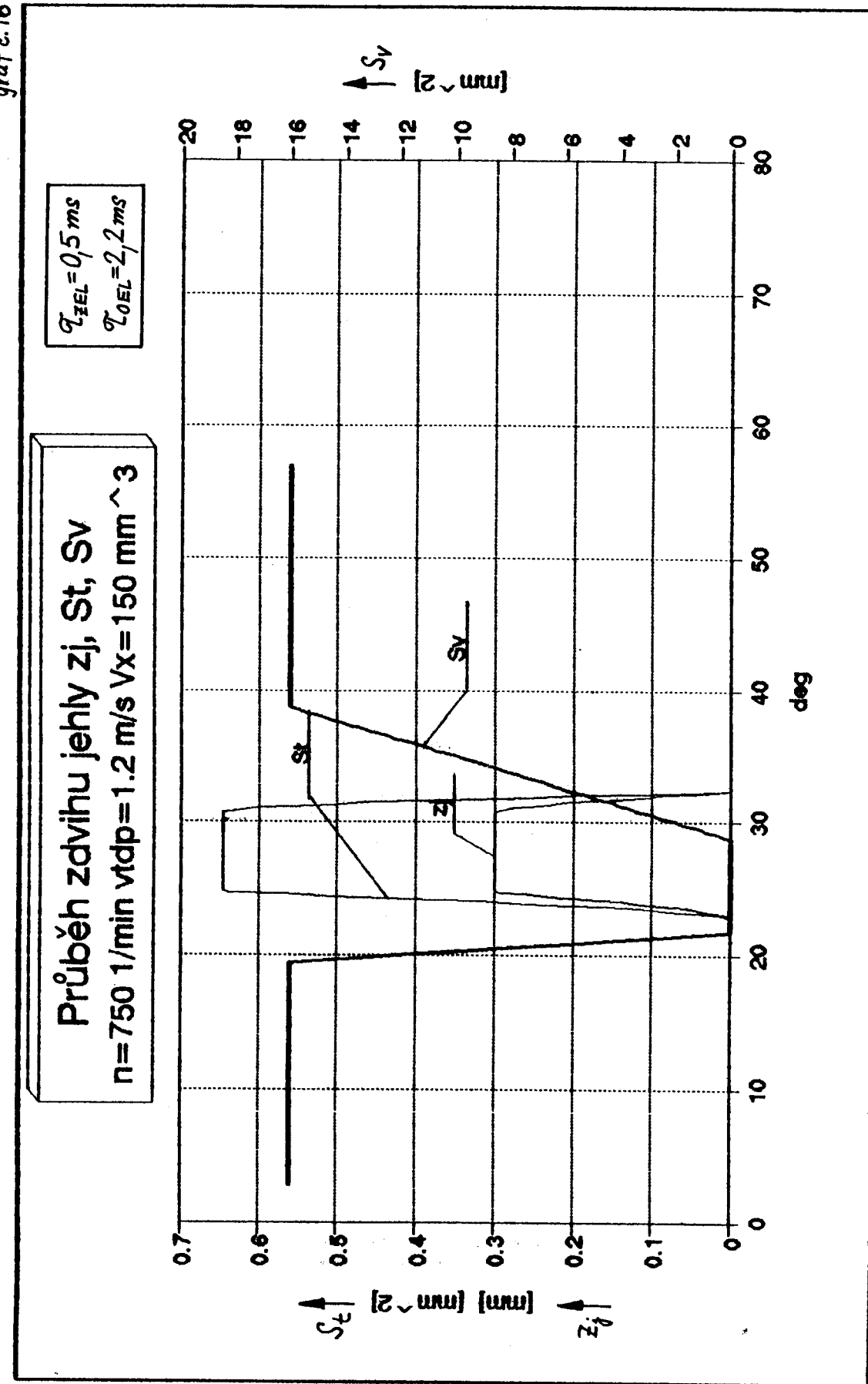
graf č. 15

Průběh p, z, v_x, v_z
 $n = 750 \text{ 1/min}$ $v_{tpd} = 1.2 \text{ m/s}$ $v_x = 150 \text{ mm}^3$

$$\begin{aligned} T_{z_{EL}} &= 0,5 \text{ ms} \\ T_{0_{EL}} &= 2,2 \text{ ms} \end{aligned}$$



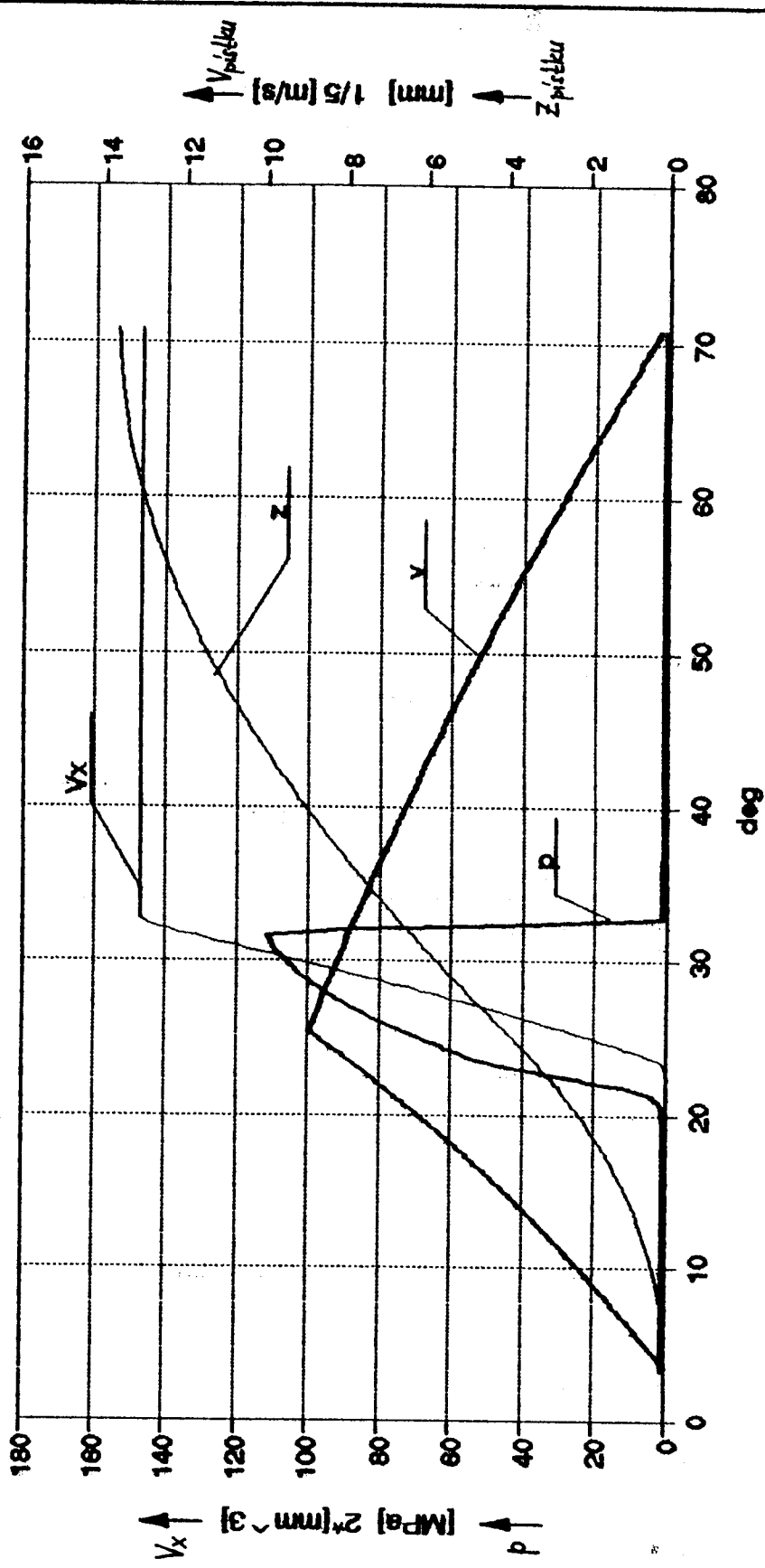
graf č. 16



graf č. 17

Průběh p, z, v_x, v_z
 $n = 750 \text{ 1/min}$ $v_{tpd} = 1.2 \text{ m/s}$ $V_x = 260 \text{ mm}^3$

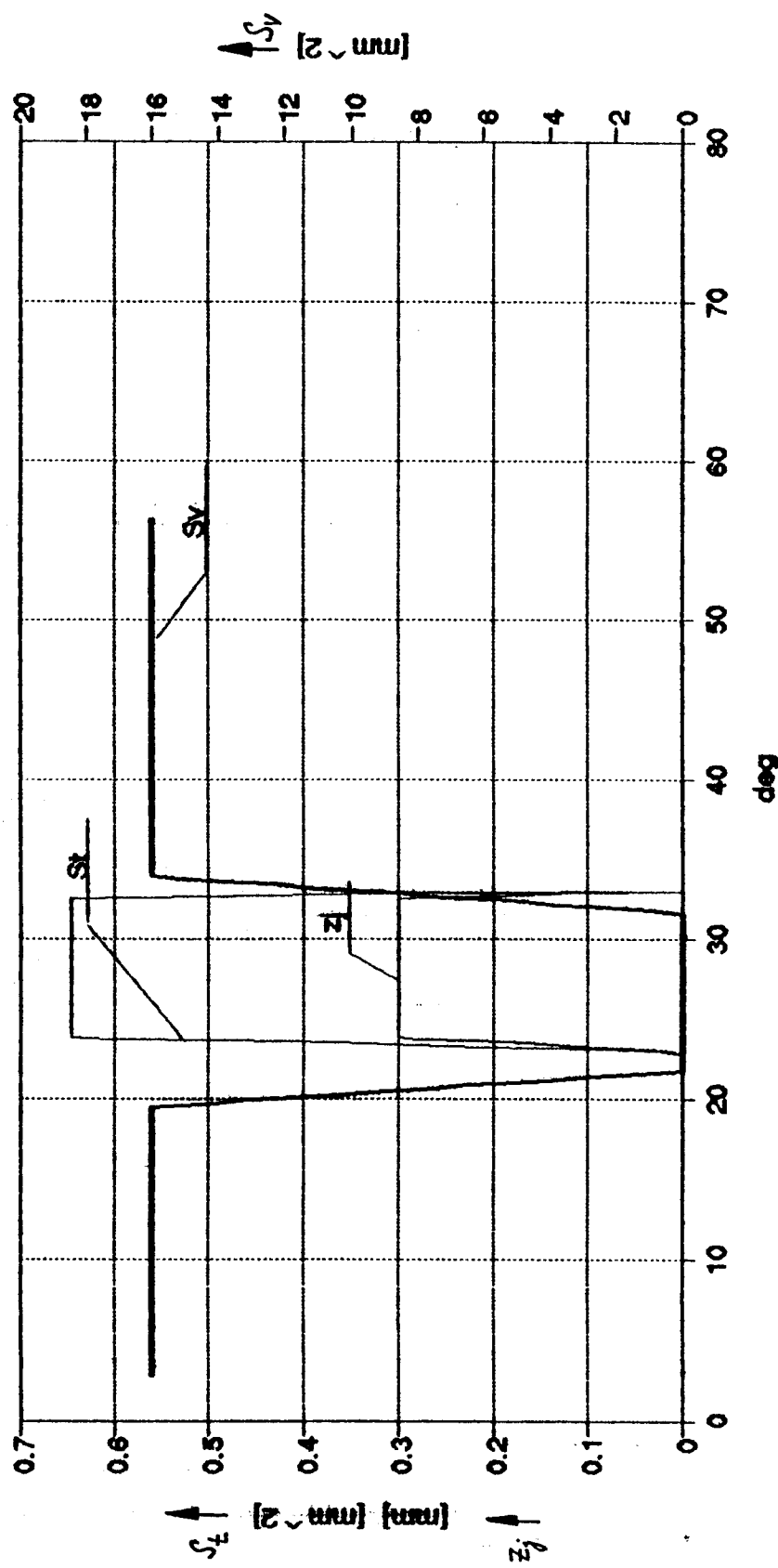
$$\begin{aligned} T_{ZEL} &= T_{OEL} = 0.5 \text{ ms} \\ m_{jelly} &= \frac{1}{4} m_{skutj.} \end{aligned}$$

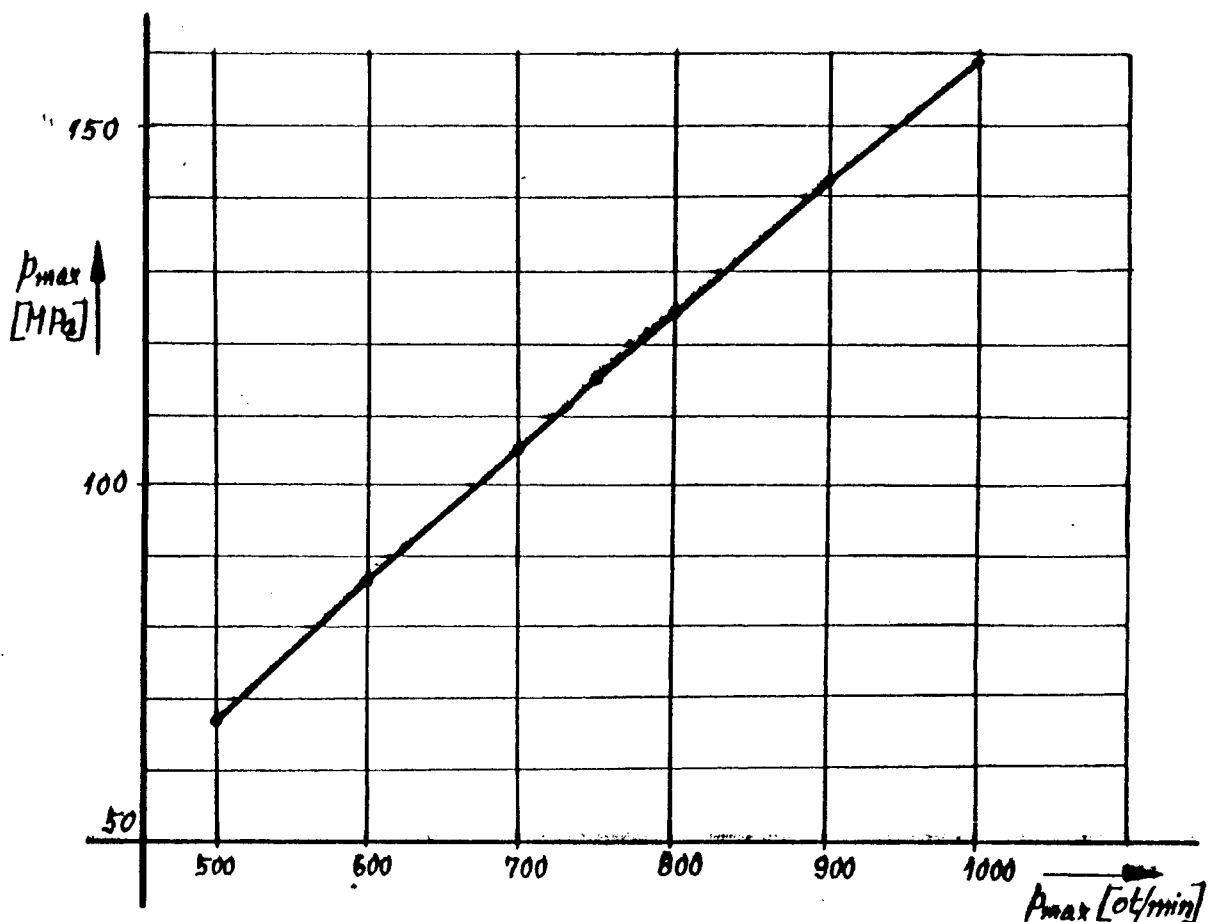


graf č. 18

Průběh zdvihu jehly z_j , St, Sv
 $n = 750 \text{ 1/min}$ $v_{dp} = 1.2 \text{ m/s}$ $Vx = 260 \text{ mm}^3$

$$\begin{aligned}\tau_{ZEL} &= \tau_{SEL} = 0.5 \text{ ms} \\ m_{jly} &= \frac{1}{4} m_{maxj.}\end{aligned}$$





graf č. 19

Závislost maximálních vstřikovacích tlaků na otáčkách
vačky při konstantní dávce paliva a při teoretické dávce
paliva při stejném úhlu pootočení
(změna otevírání elektromagnetického ventilku nemá na
max. tlak téměř žádný vliv)

Základní posouzení výpočtového modelu

Ve svém matematickém modelu sdružené vstřikovací jednotky jsem uvažoval tři různé otáčkové režimy, a to 500, 750 a 1000 otáček vačky za minutu.

Dále jsem se zabýval různými dávkami při stejných otáčkách vačky a při stejné rychlosti teoretického počátku dodávky. Nakonec jsem změnil hmotnost jehly vstřikovací trysky. Toto vše, kromě změny hmotnosti jehly vstřikovací trysky, jsem uvažoval pro dvě různé varianty, a to sice varianty lišící se dobou otvírání elektromagnetu (resp. ventilku) $T_{\text{DEL}} = 0,5 \text{ ms}$; $T_{\text{DEL}} = 2,2 \text{ ms}$

a) Doba otvírání elektromagnetu ventilku T_{DEL} je 0,5 ms, což odpovídá skutečnosti a požadavkům, jaké jsou na extrémně rychlé elektromagnety kladeny.

Pro tuto dobu otvírání T_{DEL} dochází ve všech otáčkách režimech k prudkému poklesu tlaku pod úroveň tlaku ve válci vlivem rychlého otevření ventilku, což má za následek to, že jehla vstřikovací trysky, která má určitou hmotnost a tedy i určitou dobu zavírání, není ještě vlivem dynamiky zavřena.

Docházalo by tedy ke zpětnému pohybu z válce do vstřikovače, což je nežádoucí situace.

Proto jsou výpočty ukončeny, jakmile klesne tlak ve vstřikovači pod úroveň tlaku válce a jehla je ještě otevřená

$$\text{podm: } p \leq p_{\text{VÁLCE}} \wedge j \neq 0$$

Tento výsledek je způsoben zřejmě vlivy, s kterými ve výpočtu nepočítáme. Zmíním se o nich v dalším zdokonalení matematického modelu sdružené vstřikovací jednotky

Tyto závislosti tlaku, rychlosti pistu, zdvihu pistu, vstřikované dávky, zdvihu jehly, průtoč, plachy trysky a průtoč. plachy ventilu na úhlů otočení γ vačky jsou vykresleny na číslech listů: 35-40 , grafy č. 1-6

Podle vytištěných grafů jsou maximální vstřikovací tlaky pro obě dvě doby otevírání ventilku T_{DEL} (0,5 ms a 2,2 ms) shodné.

b) Z hlediska funkčnosti matematického modelu vyhovuje čas otevřání elektromagnetického ventilku $T_{oE2} = 2,2 \text{ ms} = 0,0022\text{s}$, který je přibližně 4x větší, než je doba odpovídající skutečným požadavkům.

Rychlosť teoretického počátku dávky se mění s otáčkami (je přímo úměrná otáčkám) a je volena tak, aby fáze vstřikování byla uskutečnována zhruba při maximálních rychlostech pohybu pistu.

Byly voleny tyto rychlosťi teoretického počátku dodávky. pro 100 otáček/min v pistku max. = 2,4 m/s $v_{TPD} = 1,6 \text{ m/s}$
pro 750 " " v pistku max. = 1,8 m/s $v_{TPD} = 1,2 \text{ m/s}$
pro 500 " " v pistku max. = 1,2 m/s $v_{TPD} = 0,8 \text{ m/s}$

$$V_{TPD} = \frac{2}{3} V_{MAX} \quad (\text{počátek doby vždy pro stejný úhel})$$

Pro tyto parametry vstřikování probíhá bez problémů v celém rozsahu, nedochází k možnosti zpětného proudění do vstřikovače. Ukázky grafů pro $T_{oE2} = 2,2 \text{ ms}$ jsou na listech č.: 41-46; grafy č. 7-12

Co se týká maximálních vstřikovacích tlaků, jsou zhruba odpovídající požadavkům.

pro 500 otáček - 67 MPa

pro 750 otáček - 115 MPa

pro 100 otáček - téměř 160 MPa

Ve skutečnosti by max. vstřikovací tlaky byly zřejmě o něco nižší vlivem určitých ztrát, např. vlivem výle pistku ve válci, roztažením válce apod., deformací valhadla apod.

Na obr. č. 19 je znázorněna závislost max. vstřikovacích tlaků na otáčkách vačky, která vychází téměř přímková (lineární).

Dále je zřejmé pro 3 různé dávky pro $n = 750 \text{ ot/min}$, $V_{TPD} = \frac{1}{2} [\text{m/s}]$, že s rostoucí dávkou V_X , roste nevýrazně max. dosažený vstřikovací tlak. Grafy pro různé dávky 150, 200, 260, [mm³/oběh] se nachází na listech č.: 43, 44, 47-50
grafy č. 9, 10, 13-16

c) Pro dosažení funkce matematického modelu již při $T_{oE2} = 0,5 \text{ ms}$ bylo zkoušením změn hmotnosti jehly zjištěno, že hmotnost jehly vstřikovací trysky by musela být asi 4x menší, což je z konstrukčního hlediska nemožné. Určité odlehčení by bylo myslitelné, ale pohybovalo by se v desítkách procent.

Museli bychom hmotnost jehly zřejmě kompenzovat vyšším předpětím pružiny F_p a vyšší tuhostí pružiny k_p .

Vytisknuté grafy pro m jehly = $\frac{1}{4}$ skutečné a pro časy otvírání i zavírání ventilku 0,5 ms jsou na listech č.: 51-52
grafy č. 17, 18

Závěr

Na vyřešený matematický model je nutno pohlížet jako na zjednodušený model. Ve výpočtu je uvažována pouze dynamika jehly vstřikovací trysky, která logicky nezahrnuje celou dynamiku systému.

Ke zdokonalení matematického modelu sdružené vstřikovací jednotky, které již nebylo časově zvládnuto, by bylo třeba uvažovat podle mého názoru tyto vlivy:

1/ Uvažovat dynamiku sloupce nafty při rychlém otevírání přepouštěcího ventilku. Jak je vidět dynamika jehly má značný vliv na zavírání, jistě i dynamické vlivy na urychlení sloupce nafty v odtokových kanálech budou mít značný vliv.

Pokles tlaku potom neklesne tak rychle pod hranici tlaku ve válci.

2/ Uvažovat hydraulický odpor kanálků sdružené vstřikovací jednotky, protože kanály jsou poměrně dlouhé a bude jistě docházet k nezanedbatelným ztrátám.

3/ Průběh zavírání a otvírání ventilku je bráno jako lineární, protože měření na elektromagnetu, které probíhaly na katedře strojů prům. dopravy, nesplňovalo požadavky kladené na extrémně rychlé elektromagnety. Proto průběhy zdvihu, které měli dobu zavírání 5 ms a více, byly nepoužitelné pro výpočtový model.

Ve skutečnosti by ale průběh zdvihu ventilku nebyl jistě lineární, zpočátku by se zřejmě pohyboval menší rychlosťí. Ke zdokonalení výpočtového modelu by musel být znám průběh průtočné plochy ventilku na čase pro skutečné hodnoty kolem 0,5 ms.

Mimochedem vyřešit elektromagnet je asi dnes nejpaličivější

problém, na kterém skončila spousta pokusů o ztvoření funkční sdružené vstříkovací jednotky. Vyrobit elektromagnet s tak krátkou dobou přestavení činí stále konstruktérům velké problémy.

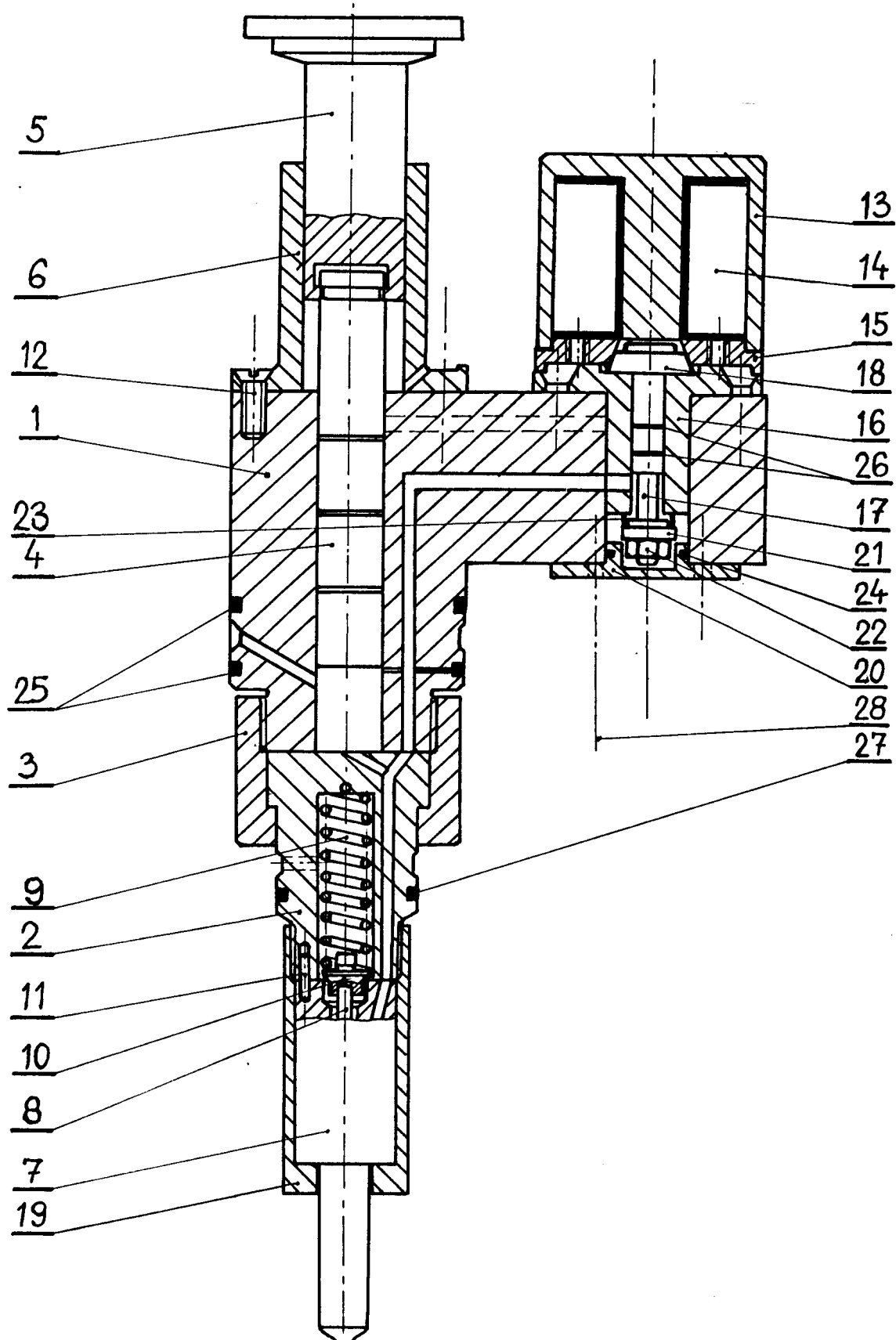
- 4/ K přesnějšímu určení maximálního tlaku bychom museli uvažovat i roztažnost válce vytlačného pistu s deformacemi valadla, šroubu, vačky a tělesa laboratorního modelu sdružené vstříkovací jednotky, které budou vlivem obrovských tlaků relativně dosti značné.
- 5/ Uvažuji konstantní průtokové součinitele, mění se pouze plocha průtoku, což ve skutečnosti neplatí přesně.

Těchto 5 uvedených bodů způsobuje určité zkreslení proti skutečnosti. Výpočet na sdružené vstříkovací jednotce rovněž ukázal hlavní funkci sdružené vstříkovací jednotky, což je vstříkování paliva extrémě vysokými vstříkovacími tlaky.

Myslím, že pro počáteční úvahy o funkci modelu sdružené vstříkovací jednotky, lze tento výpočtový model pokládat za vyhovující.

SEZNAM POUŽITÉ LITERATURY

- 1/ Bartoš - Strojnické tabulky
- 2/ Drastík - Výběr z norem pro cvičení ze základů strojníctví
(skripta ČVUT)
- 3/ Beroun - Příslušenství pohonných jednotek
- 4/ Červinka - Pohonné jednotky - I. díl
- 5/ PAL Kroměříž - SVJ pro motory LIAZ M3
- 6/ Statě SAA technical paper series



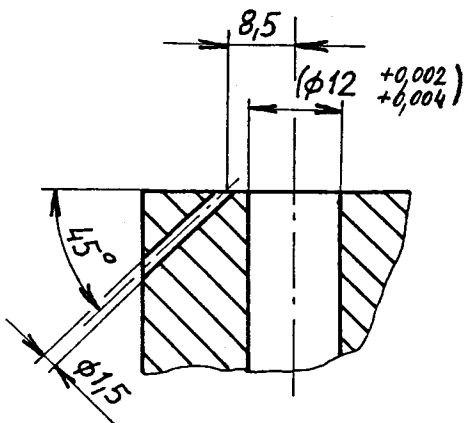
1								3
VŠST LIBEREC	M: 1:1	VSTŘIKOVACÍ SVJ S ELEKTROMAGNETEM		KSD - 256-1.03	SESTAVA č. 2			SVJ

POSICE	NÁZEV-ROZMĚR	VÝKRES-NORMA	MATER.	J.	Mn.	Kg
1.	TĚLESO SVJ $\phi 100 \times 70$	KSD-256-2.01	14220		1	
2.	DRŽÁK TRYSKY $\phi 30 \times 45$	KSD-256-2.02	12060.1		1	
3.	MATICE $\odot 36 \times 30$	KSD-256-2.03	12060.1		1	
4.	PÍST $\phi 15 \times 100$	KSD-256-2.04	14107.3		1	
5.	VODÍCÍ TRN $\phi 40 \times 55$	KSD-256-2.05	14220		1	
6.	VODÍCÍ POUZDRO $\phi 45 \times 45$	KSD-256-2.06	14220		1	
7.	VSTRÝ TRYSKA $\phi 20 \times 70$	MOTORPAL JIHLAVA	—		1	
8.	JEHLA TRYSKY	MOTORPAL JIHLAVA	—		1	
9.	PRUŽINA	MOTORPAL JIHLAVA	—		1	
10.	MISKA JEHLY	MOTORPAL JIHLAVA	—		1	
11.	KOLÍK $\phi 2,5 \times 10$	ČSN 02 2150.2	—		2	
12.	ŠRAUB M4 $\times 10$	ČSN 02 1151.20	—		8	
13.	PLÁŠŤ CÍVKY $\phi 40 \times 40$	KSD-256-2.13	11320		1	
14.	CÍVKA	KSD-256-2.14	—		1	
15.	VÍČKO CÍVKY $\phi 40 \times 10$	KSD-256-2.15	11320		1	
16.	VODÍCÍ POUZDRO	KSD-256-2.16	423018		1	
17.	ŠOUPÁTKO $\phi 6 \times 40$	KSD-256-2.17	12060		1	
18.	KUŽEL ŠOUPÁTKA	KSD-256-2.18	11320		1	
19.	PŘEVLEČNÁ MATICE	MOTORPAL JIHLAVA	—		1	
20.	VÍČKO VENTILKU $\phi 35-10$	KSD-256-2.20	11373		1	
21.	TALÍŘEK	KSD-256-2.21	12060		1	
22.	MATICE M4	ČSN 02 1401.21	—		1	
			VÝSTAVLÍ BEREC			
NÁZEV: VSTŘIKOVACÍ SVJ S ELEKTROMAGNETEM			KSD-2	Sestava č. 2	LIST 81	

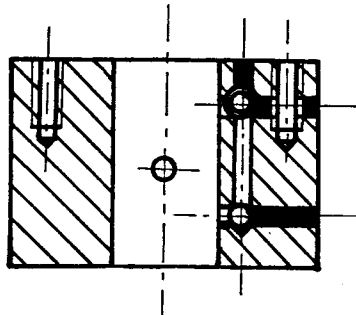
POSICE	NÁZEV-ROZHĚR	VÝKRES-NORMA	MATER.	J.	Mn.	Kg
23.	PRUŽINA	—			1	
24.	KROUŽEK $\phi 14 \times 1,5$	ČSN 02 9281.2			1	
25.	KROUŽEK $\phi 40 \times 2$	ČSN 02 9281.2			2	
26.	KROUŽEK $\phi 6 \times 1$	ČSN 02 9281.2			2	
27.	KROUŽEK $\phi 24 \times 2$	ČSN 02 9281.2			1	
28.	ŠROUB M4 x 10	ČSN 02 1103.25			4	
29.						
30.						
31.						
32.						
33.						
34.						
35.						
36.						
37.						
38.						
39.						
40.						
41.						
42.						
43.						
44.						
				VŠST LIBEREC		
NÁZEV: VSTŘIKOVAC SVJ S ELEKTROMAGNETEM		KSD-2		LIST 2		

3,2 (✓)

D - D

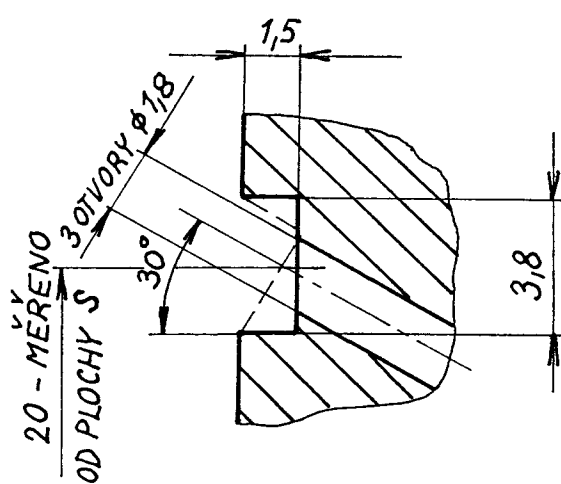
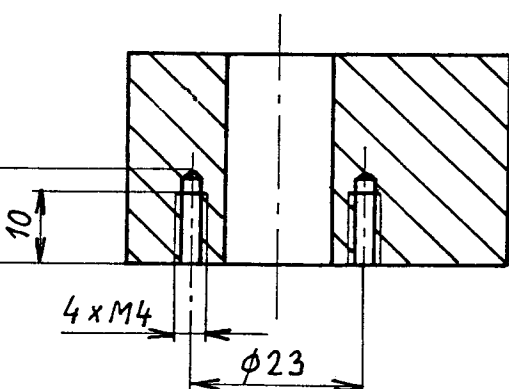


A - A



C
M 5:1

B - B

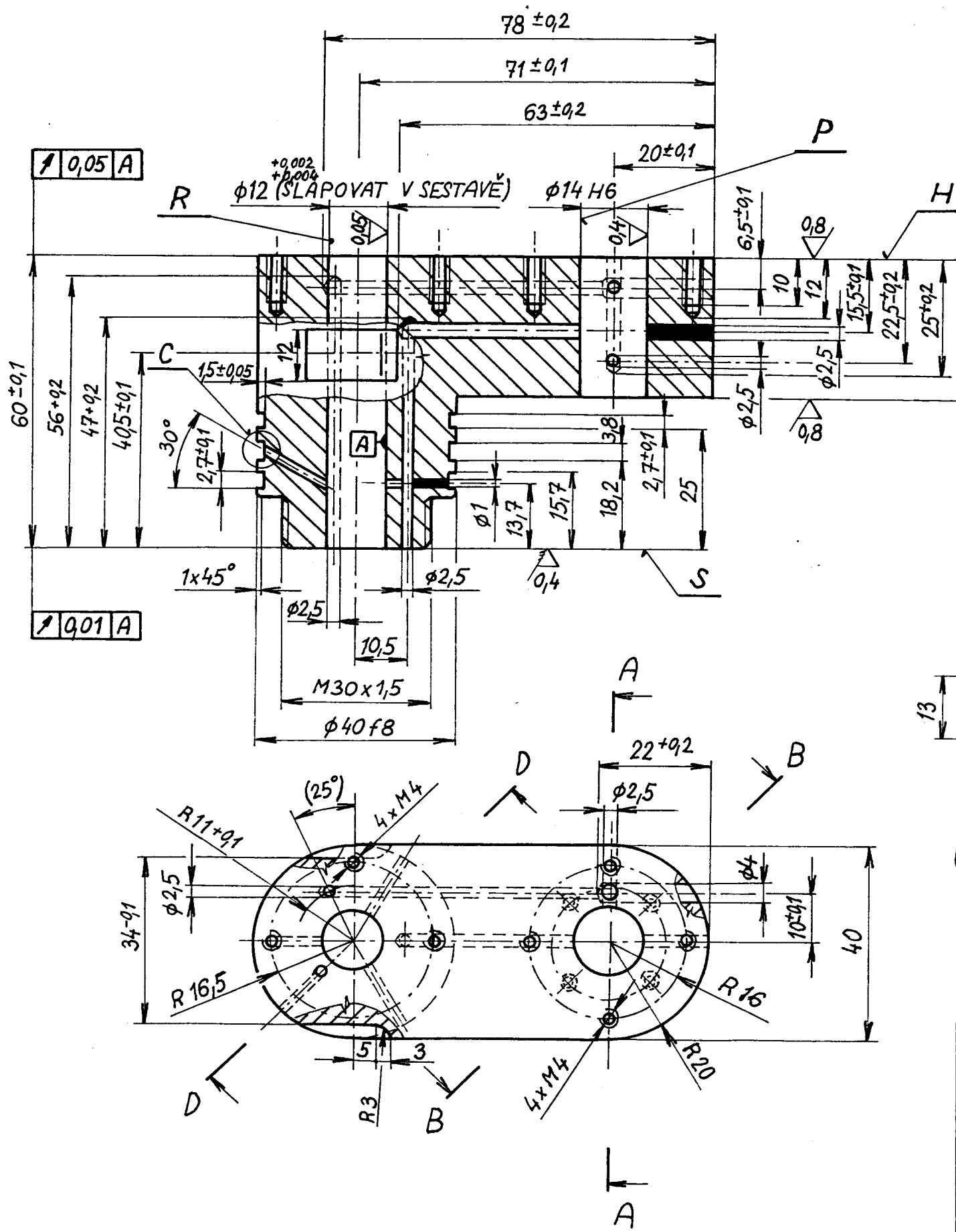


VYČERNĚNÉ ČÁSTI OTVORŮ ZAKOLÍKOVAT; OTVOR $\phi 4$ ZAKOLÍKOVAT DO HLOUBKY 19 mm (NEJPRVE ZAKOLIKOVAT, PAK VRTAT OTVORY M4)

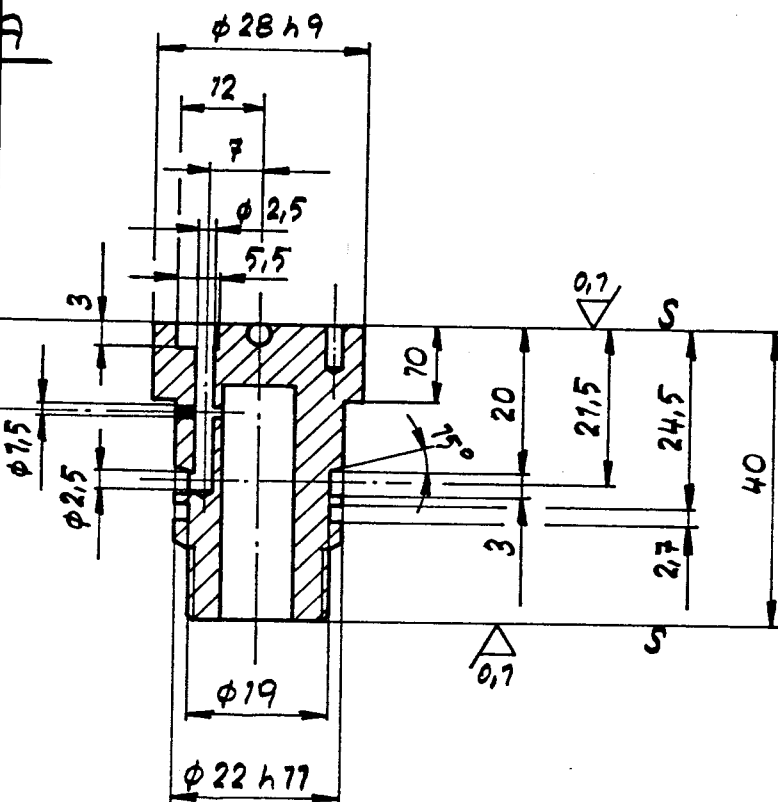
POSTUP VÝROBY OTVORŮ $\phi 1,8$:

1. KLÍNOVÝ ZÁPICH DO HLOUBKY 1,5 (M2C)
2. VYZENACIT VZDÁLENOST 20
3. VRTAT OTVOR $\phi 1,8$
4. ROZŠÍRIT ZÁPICH NA ROZM. 3,8x1,5

	φ100 - 75	ČSN 42 6510	14 220					
Měřítko								
1:1 (5:1)								
Název		Číslo výkresu						
TELÉSO SVJ		KSD - 256 - 2.01						



POZNÁMKA: PLOCHY H, P, R, S CEMENTOVAT DO HL. 0,3
KALIT NA 62 HRC



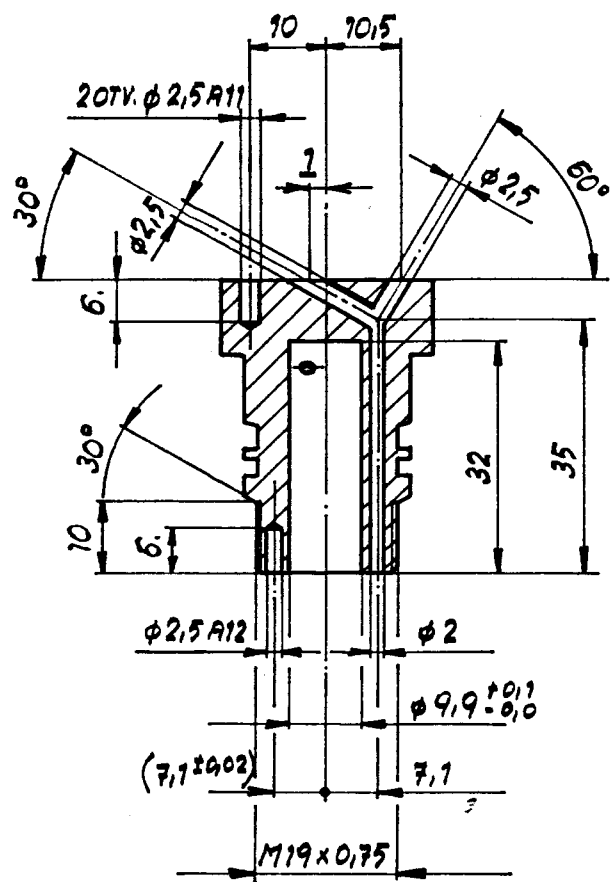
1.5 (✓)

HRANY SRAZIT 0,3 x 45°

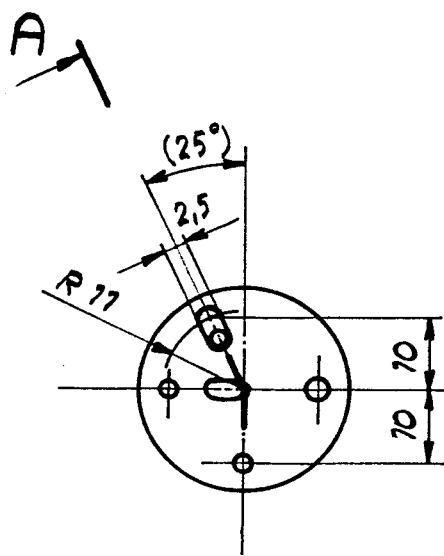
PLOCHY S KALIT NA 52-56 HRC

VYČERNENÝ OTVOR $\varnothing 7,5$ ZAKOLÍKOVAT

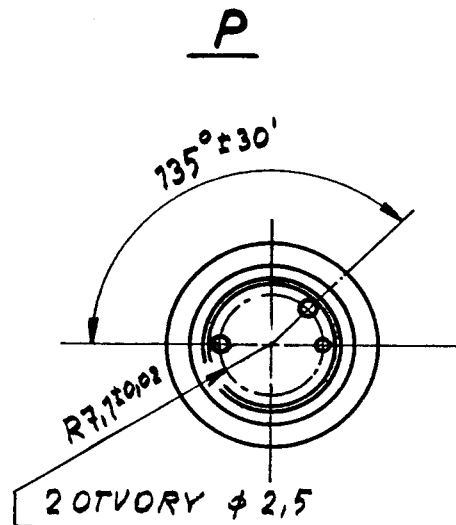
A - A



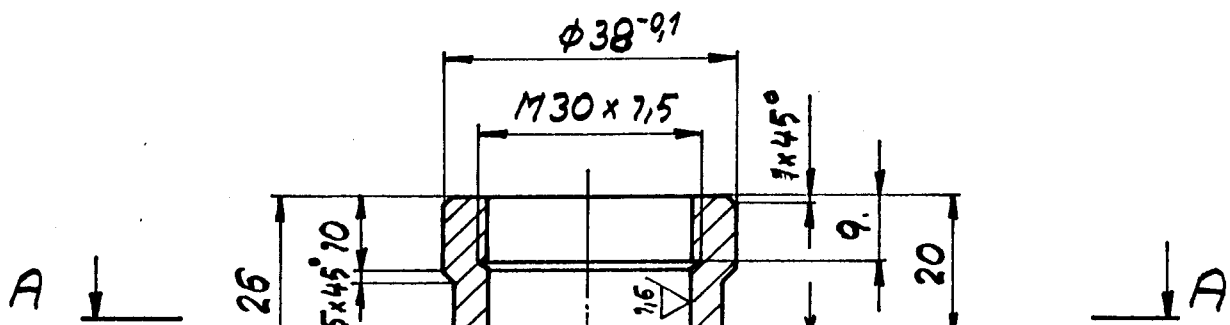
P



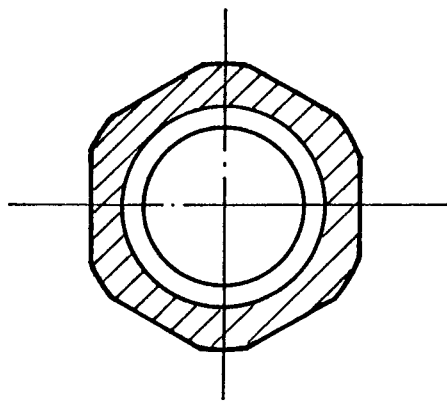
D



3,2
△ (✓)



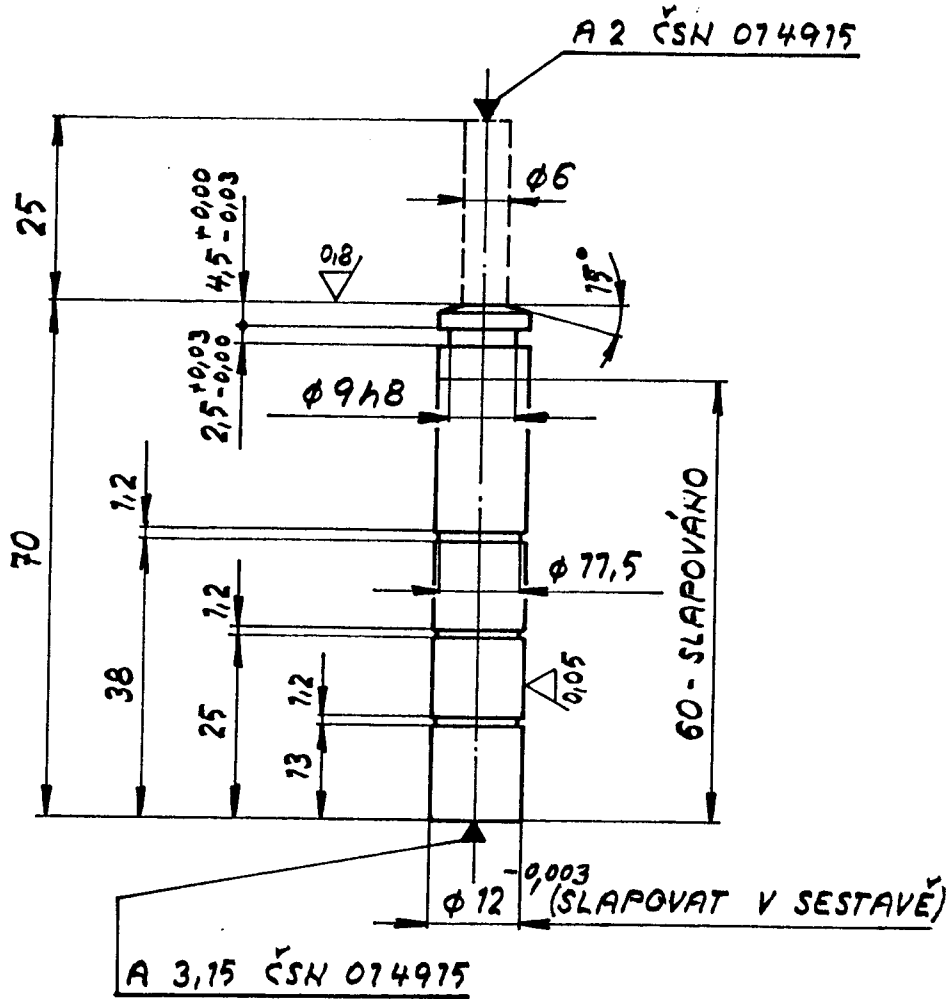
A-A



POZN.: SRAŽENÍ 1,5x45° VYTVOŘIT FRÉZOVÁNÍM PLOCH
ŠESTIHRANU (NESOUSTRUŽIT)

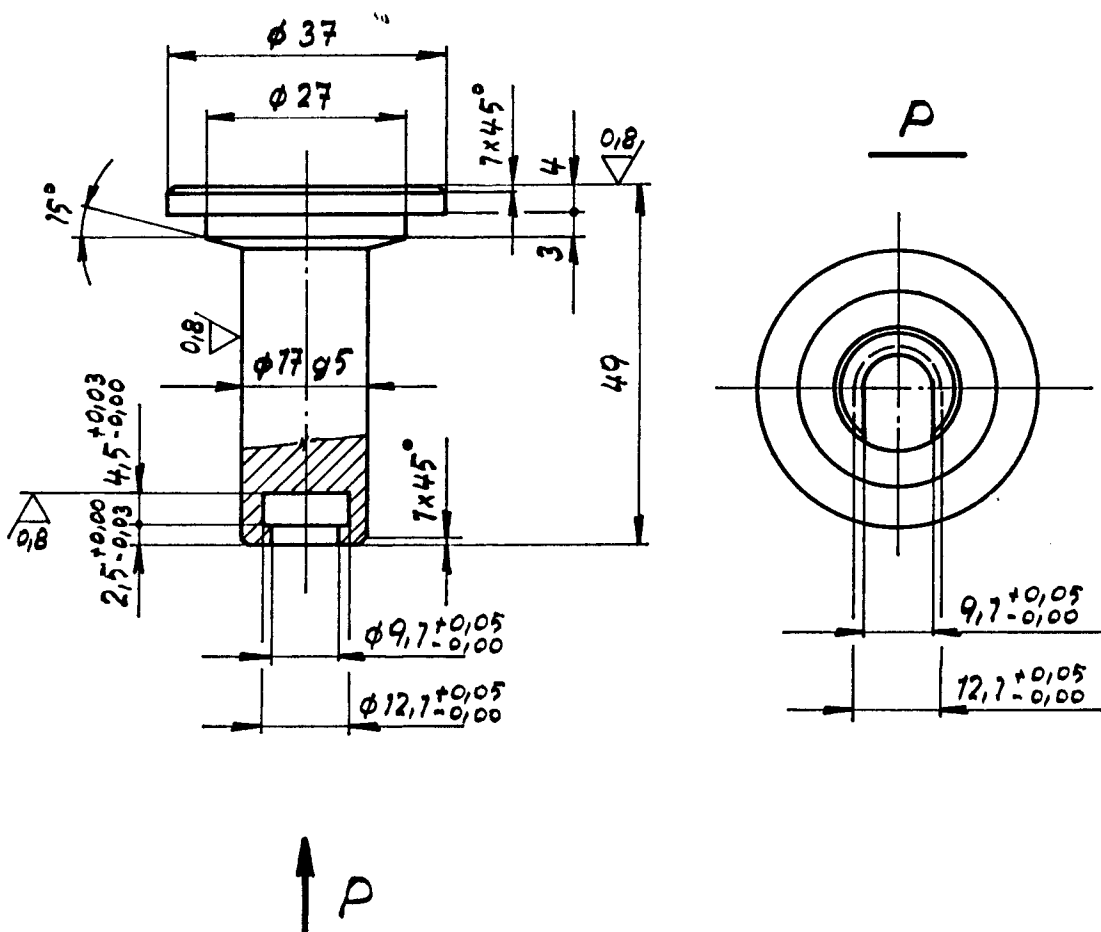
			12 060.1						
Poz. kód	Název - Rozměr	Položovář	Mat. konečný	Mat. výchozí	Tlouš. adp.	C. hmot.	Br. hmot.	Celkové výkresy	Poz.
Poznámka									Celková hmot. hmot. v kg
Měřítko	Kreslil		C. snímku	a					
7:1	Překouzlal	<i>Hem</i>		b					
	Norm. ref.			c					
	Výr. projednat	Scenvalil	C. transp.	d					
		Dne		e					
				f					
				g					
				h					
				i					
				j					
	Typ	Skupina	Star. výkres	Nový výkres					
	Název								
	MATICE			KSD-256-2.03					
			Pořadí listů						List

7,6 (✓)



Φ6 POUZE TECHNOLOGICKÁ ČÁST, PO SLAPOVÁNÍ
ODSTRANIT A DOKONČIT HLAVU PÍSTKU
HRANY OSTRE' BEZ OTŘEPŮ ; KALIT NA 62 HRC

3,2 (✓)

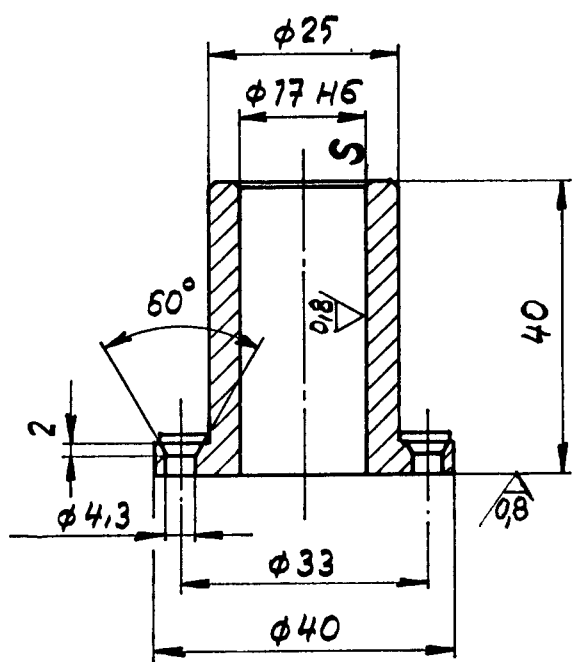


CEMENTOVAT DO HLOUBKY 0,3 + 0,2

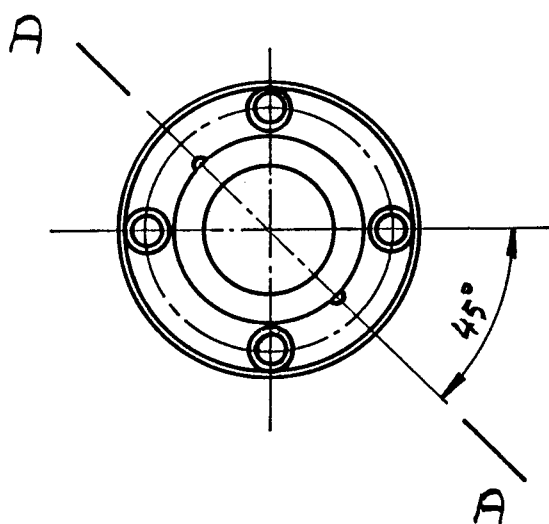
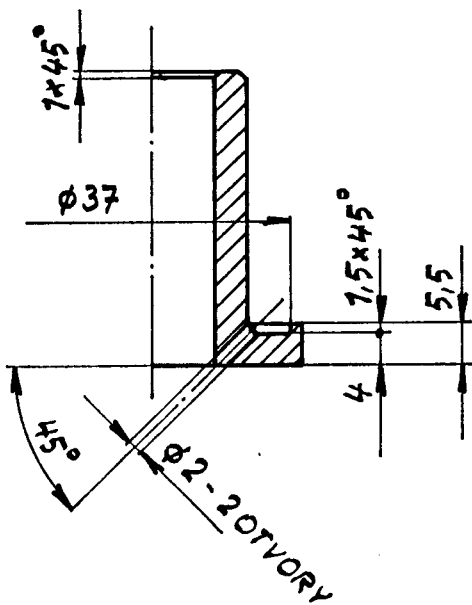
KALIT NA 62 \pm 5 HRC

Počet karet	Název - Počítač	Početovar	Mot. kapacita	Kontrolní číslo	Úhrada číslo	C. kart.	číslo	Poz.
Předložka				10 kg + 10% mota v kg				
M. čísla	1000							
7:7	7:7	<i>Alex</i>						
Výr. pořadí	1000							
Typ	skupina			Stav, výrobek		Uložení		
VODICÍ TRN								
Počet karet				KSD-256-2.05				

3,2 (✓)



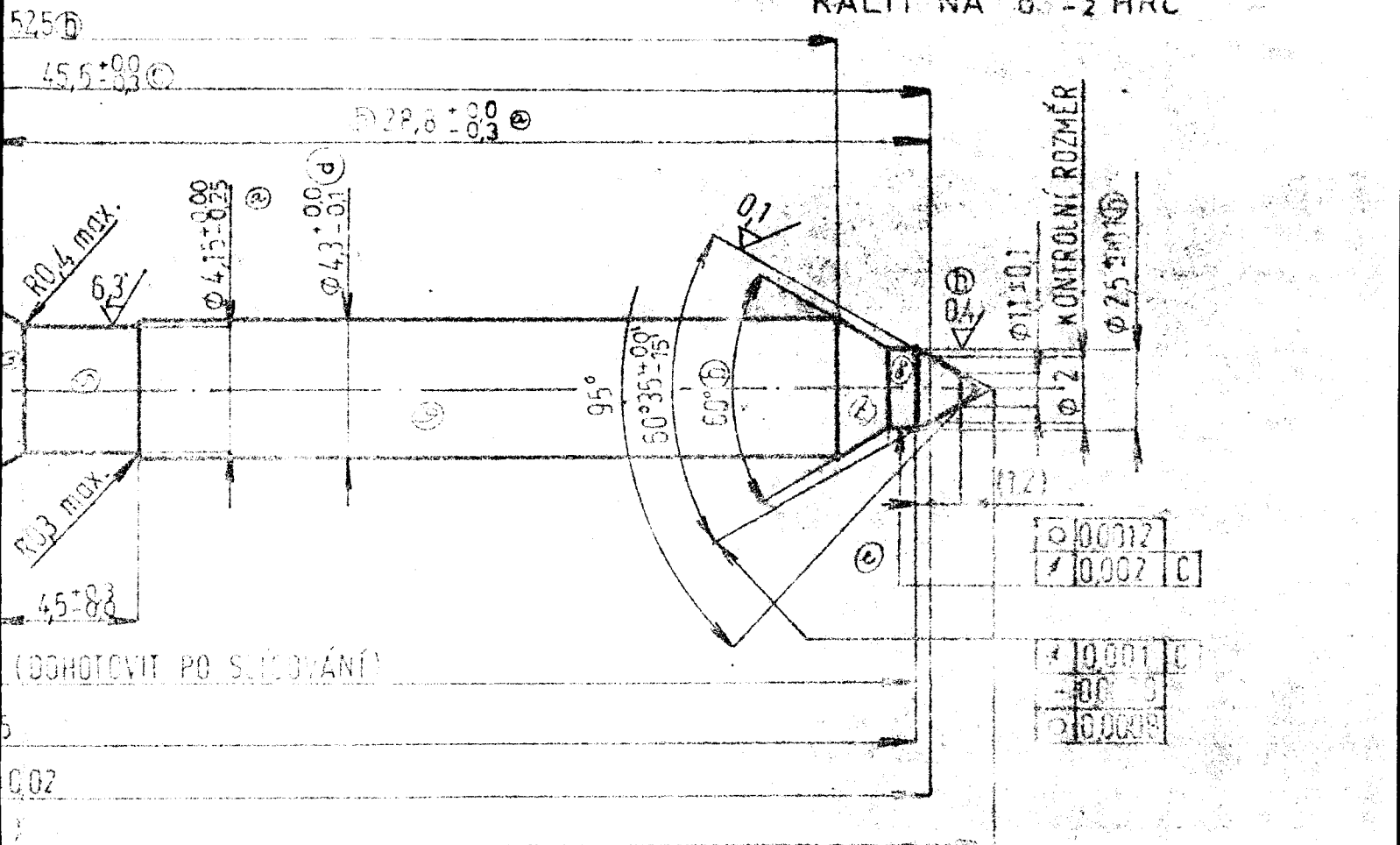
A-A



PLOCHU S CEMENTOVAT DO HLOUBKY $0,3^{+0,1}$
KALIT NA $62^{\pm 5}$ HRC

		14 220.1									
Počet kusů	Mízcev - Rozměr	Početový	u	Mat. koncový	Rud. výchozí	Třída odr.	Č. hmoty	Pl. hmoty	Cílo výkresu	Poz.	
Poznámky:	Cílová hmotnost mota v kg										
Měřítko	Kreslil	<i>Alen</i>		C. snímku							
	Překoušel	<i>Alen</i>									
7:7	Norm. ref.										
	Výr. projednat	S. Ivanov									
		Dne									
		Type	Síceupina	Starý výkres		Nový výkres					
		Nozev									
		VODÍCÍ POUZDRO				KSD-256-2.06					
				Počet listů							

KALIT NA 62⁰-2 HRC



(OCHOTOVIT PO SLEDOVANI)

0 III 1988

K INFORMACI

Po požáru výkres lez vložit do aktu
Tento výkres níže je pouze informací

COUVET A TRUMYSLOVY VLASTNICTVI
našeho podniku
Vodček a práva výkresu
Fotka k důvěrnému poslání
Prestoužit všechny osoby k dovození
MOTORFAL Jihlava, národní podnik Jihlava

1064	3	1384	1
0241	4	1368	1
0531	2	21181	1
1296	9	21184	1

19824,3

19820029637

NENI	js14	22.10.1983	3Cv28003-01
DOP...S	JEHLA TRYSKY		

SESTAVENI POS
198841-01 2

OČ JEHΛIT BROUSKEM

10,75 C

Ø 30,3

0,3 x 45°
MAX.

10,01 C

10,03 C

0,04-0,05 C
0,04-0,02 C

LÍCOVÁ S PROTIKUSEM

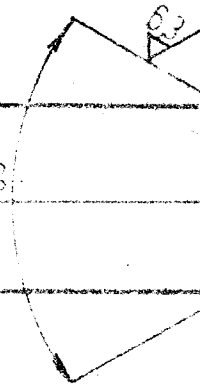
Ø 1	0,0005
Ø 0	0,0003
Ø 1	0,001

Ø 5

C

005

60°



49175

55,57

56,0

57,75

$$P_3 = 148,8 \text{ kg} + 4 \text{ kg} = 152,8 \text{ kg} \quad (1)$$

$$P = 359N \pm 60N$$

6

297

95

305

32*0.3

1
/3/2
A

$$+0.95 \pm 0.03$$

+2.8±0.03

$$C = 366,37 \text{ MPa/mm}$$

$$k = 239,28 \text{ N/mm}$$

$$(T = 37,4 \text{ kg/mm}^2/\text{mm})$$

0.21m

DQAV

8,5

13

36

99

13. Příložka k kontrole dle normy ČSN 026002

17. Zkoumání hnutí

MAY 1940

Umnais formicina

15. Parcer zdrojového kódu

The Kentucky Avenue

KALENÝ DRÁT DLE TP-166-59 ZJE CHOMUTOV

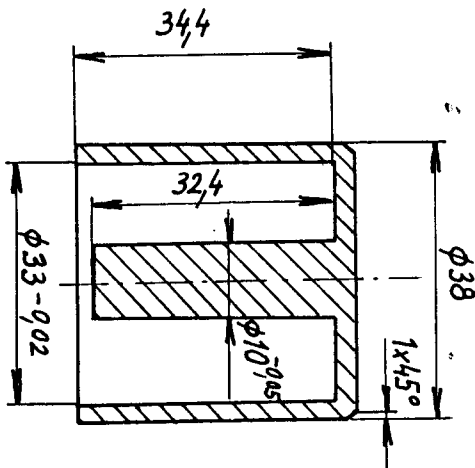
2	$\varnothing 40 - 40$	11 320	
			13

M:1:1

PLÁŠŤ CÍVKY

KSD-256-2.13

SVJ



1,6

VŠST LIBEREC

DRÁT 0,8 CuSn

(3,1)

PAPÍR PROSÝPENÝ EPOXIDEM TL. 0,6 mm

PŘÍPRAVEK K VÝROBĚ

$\phi 33 - 0,1$
 $-0,2$

mm

35 závitů
mm

$\phi 10 + 0,05$

mm

ŠROUB M4

VINUTÍ CÍNKY

PERTINAX VNITŘNÍ $\phi 11,2$, TL. 0,7 mm

2

14

VŠST

M: 1:1

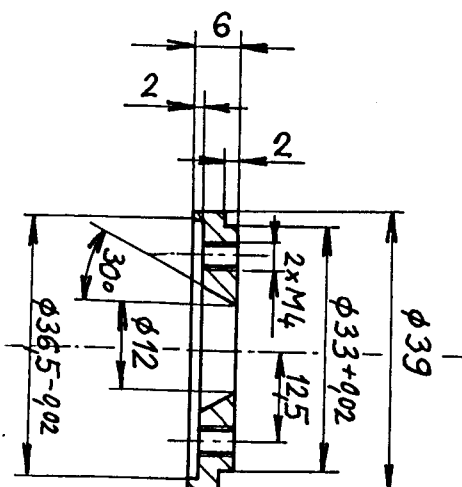
LIBEREC

CÍVKA

KSD - 256-2.14

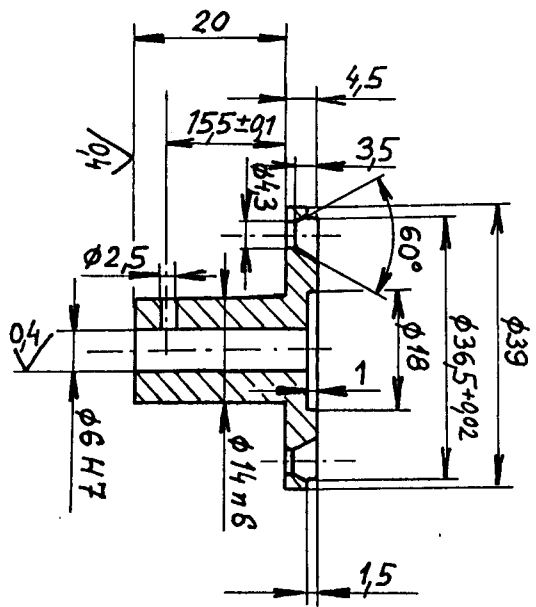
SVJ

2	$\phi 40 - 10$	11.320				15
VŠST LIBEREC	M: 1:1	VÍČKO CÍVKY	KSD - 256-2.15			SVJ



16

✓✓



POZN. OTVORY $\phi 4,3$ VRTAT 4x PO 90°

2	$\phi 40 - 30$	423018						16
---	----------------	--------	--	--	--	--	--	----

VŠST
LIBEREC

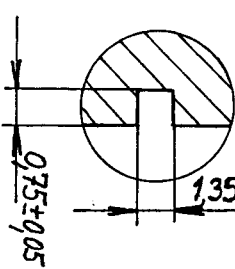
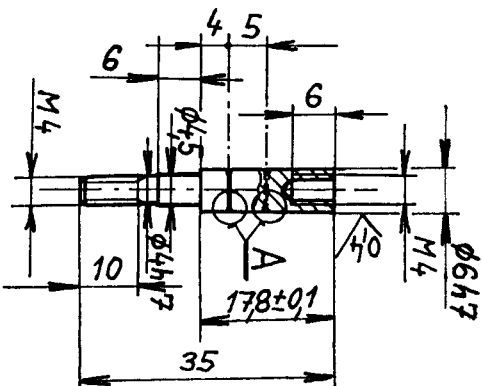
M: 1:1

vadící pouzdro.

KSD-256-2.16

SKJ

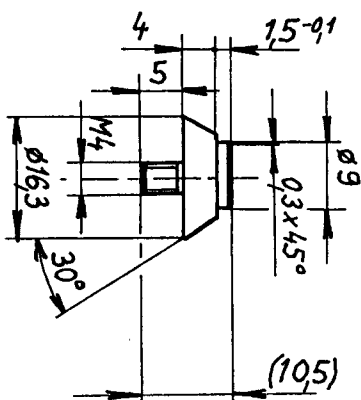
$\phi 8 - 40$	12060	
VŠST LIBEREC	M: (5:1) 1:1	
		KSD-256-2.17
		SVJ
		17



DETALL A: M 5:1

0.8 / (✓)

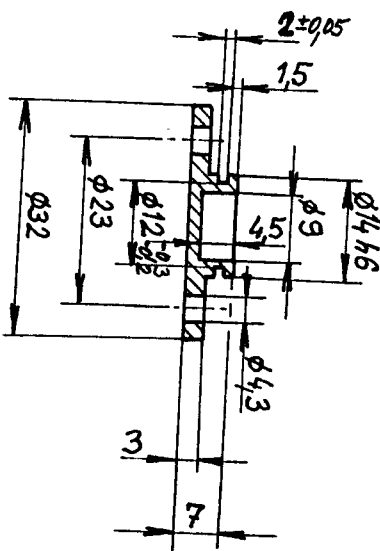
2	Ø18-15	11320						18
VŠST LIBEREC	M: 1:1	KUŽEL ŠOUPÁTKA .	KSD - 256-2.18	SVJ				



16

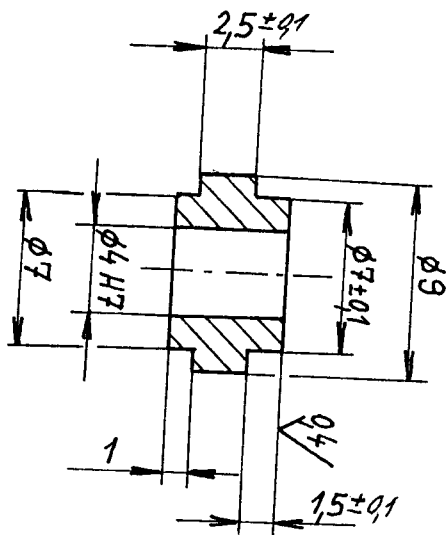
2	$\phi 35 - 10$	11373						20
VŠST	M: 1:1							
LIBEREC	VÍČKO VENTILKU	KSD-256-2.20						SVJ

POZN: DÍRY $\phi 4,3$ VRÁTAT 4x PO 90°

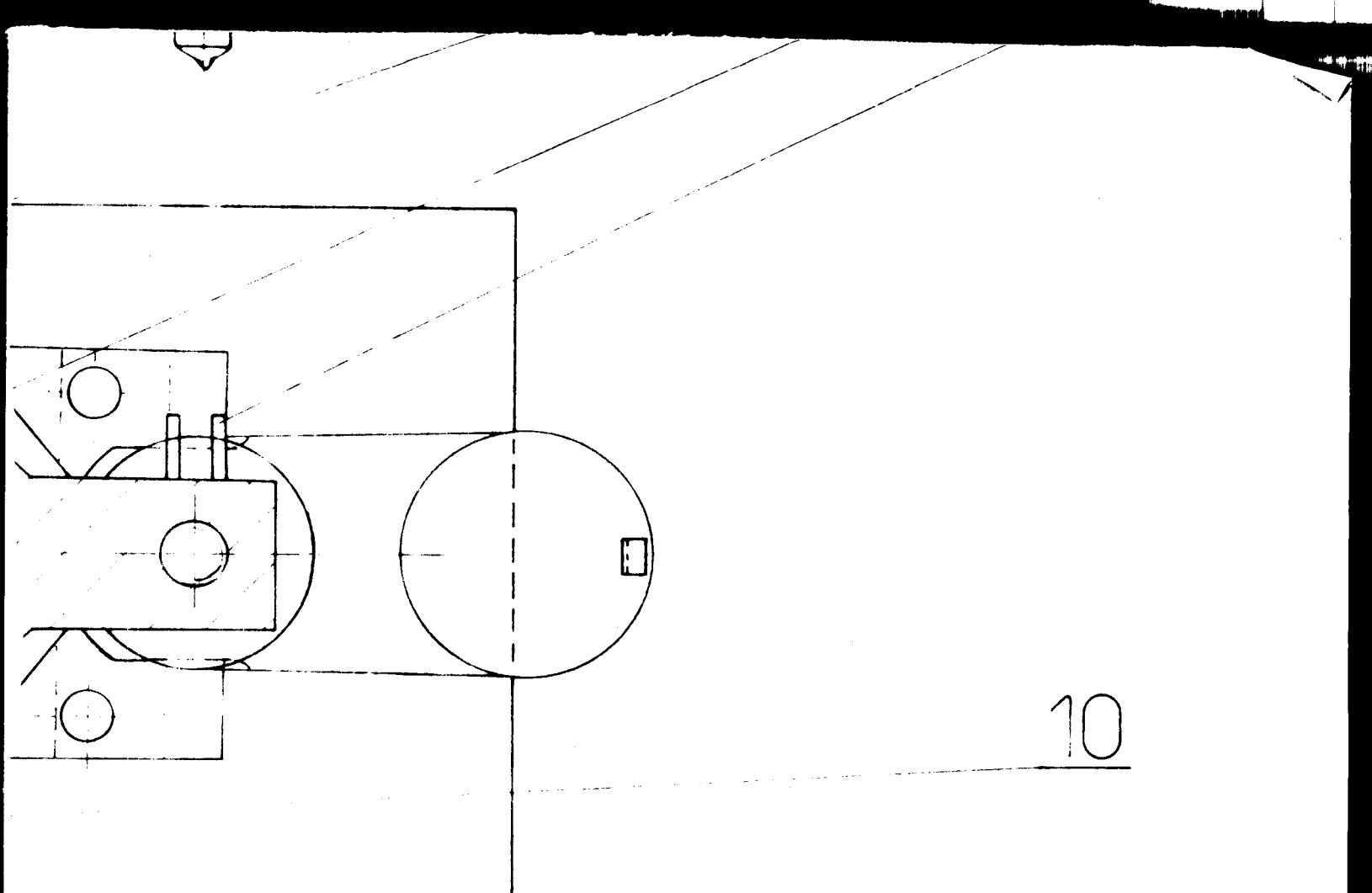


✓

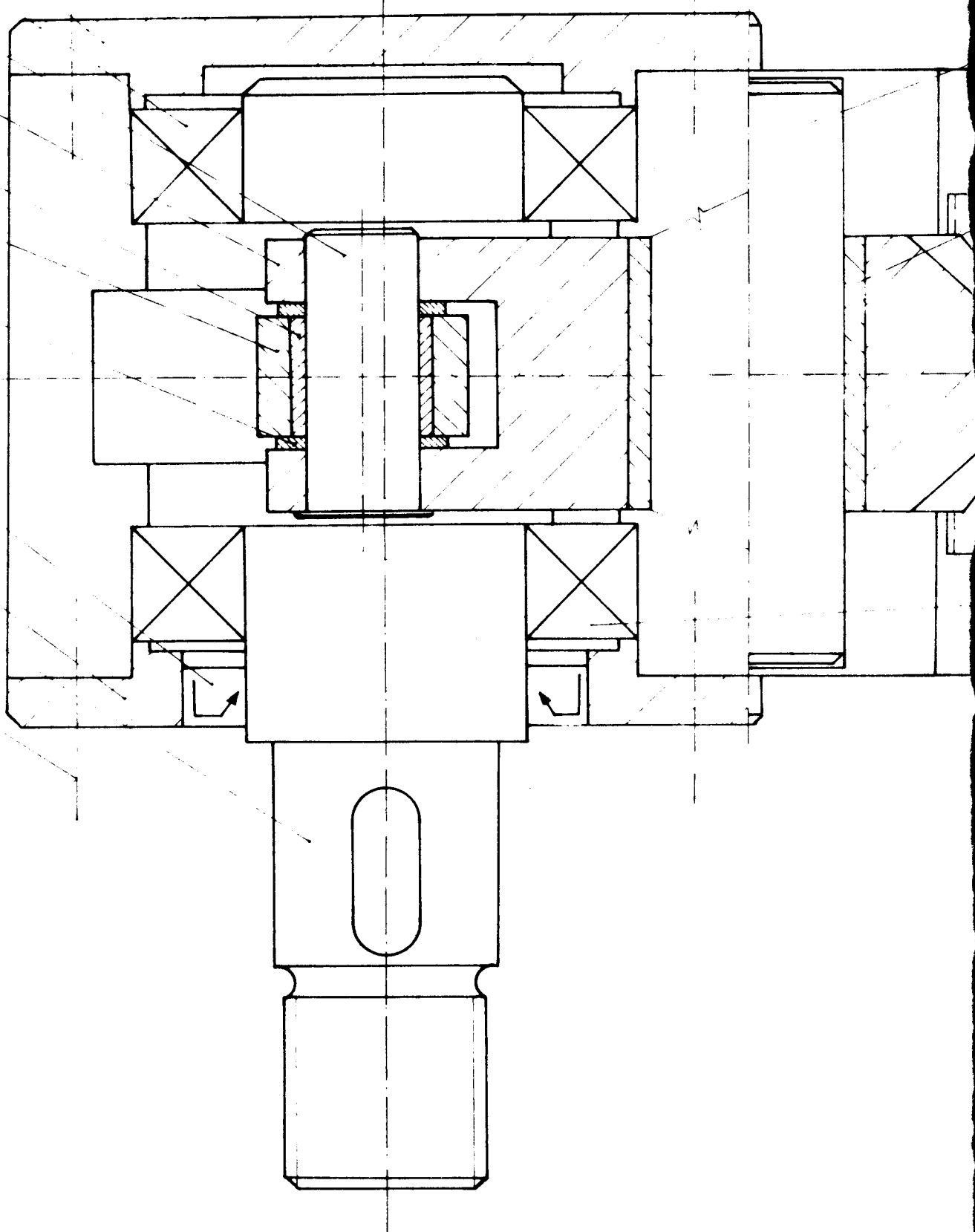
(1) $\sqrt{80}$



2	$\phi 12-8$	12 060					21
VŠST LIBEREC	M: 3:1	TALÍŘEK	KSD-256-2.21				SV7



10



14

13

20

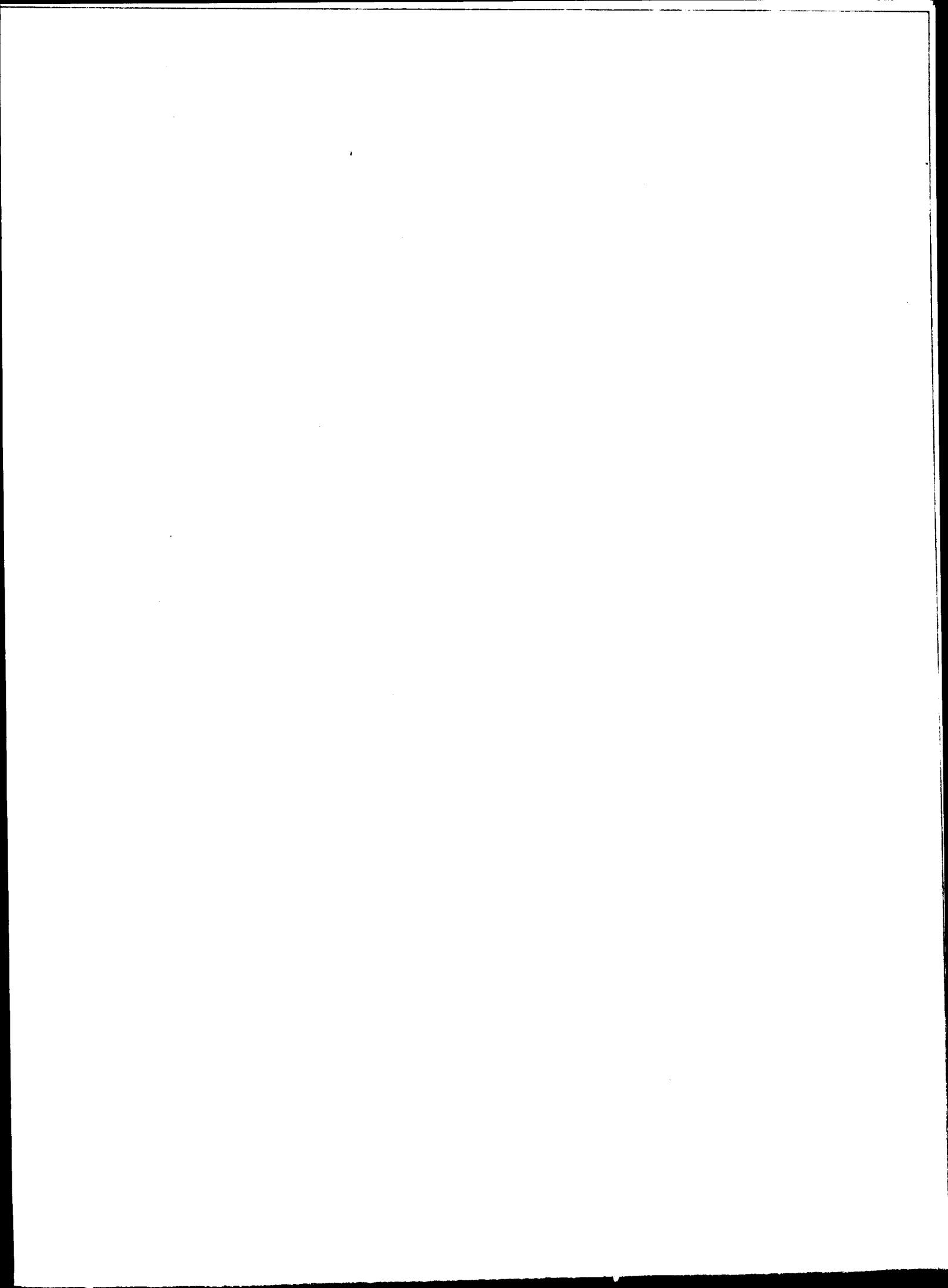
11

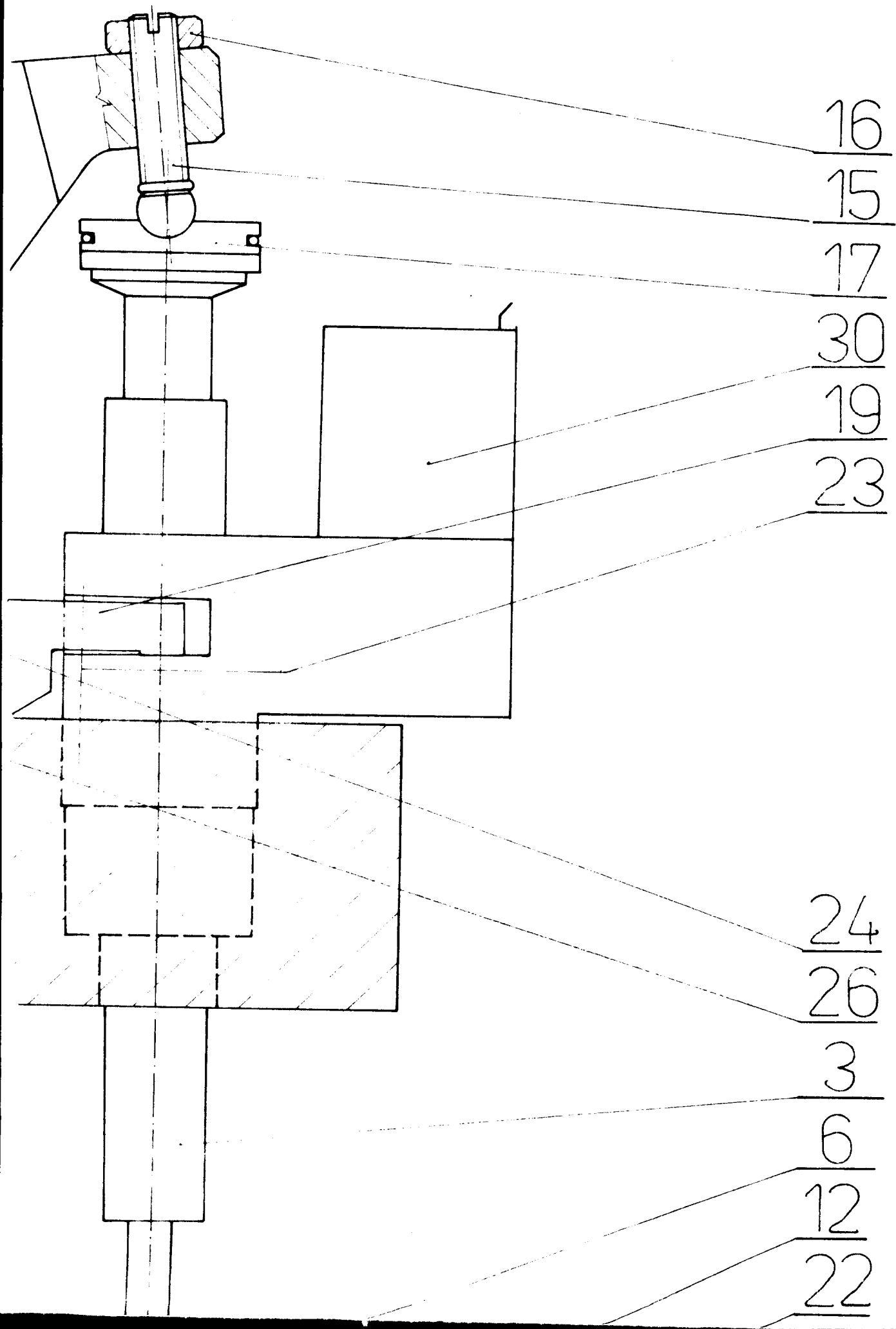
9

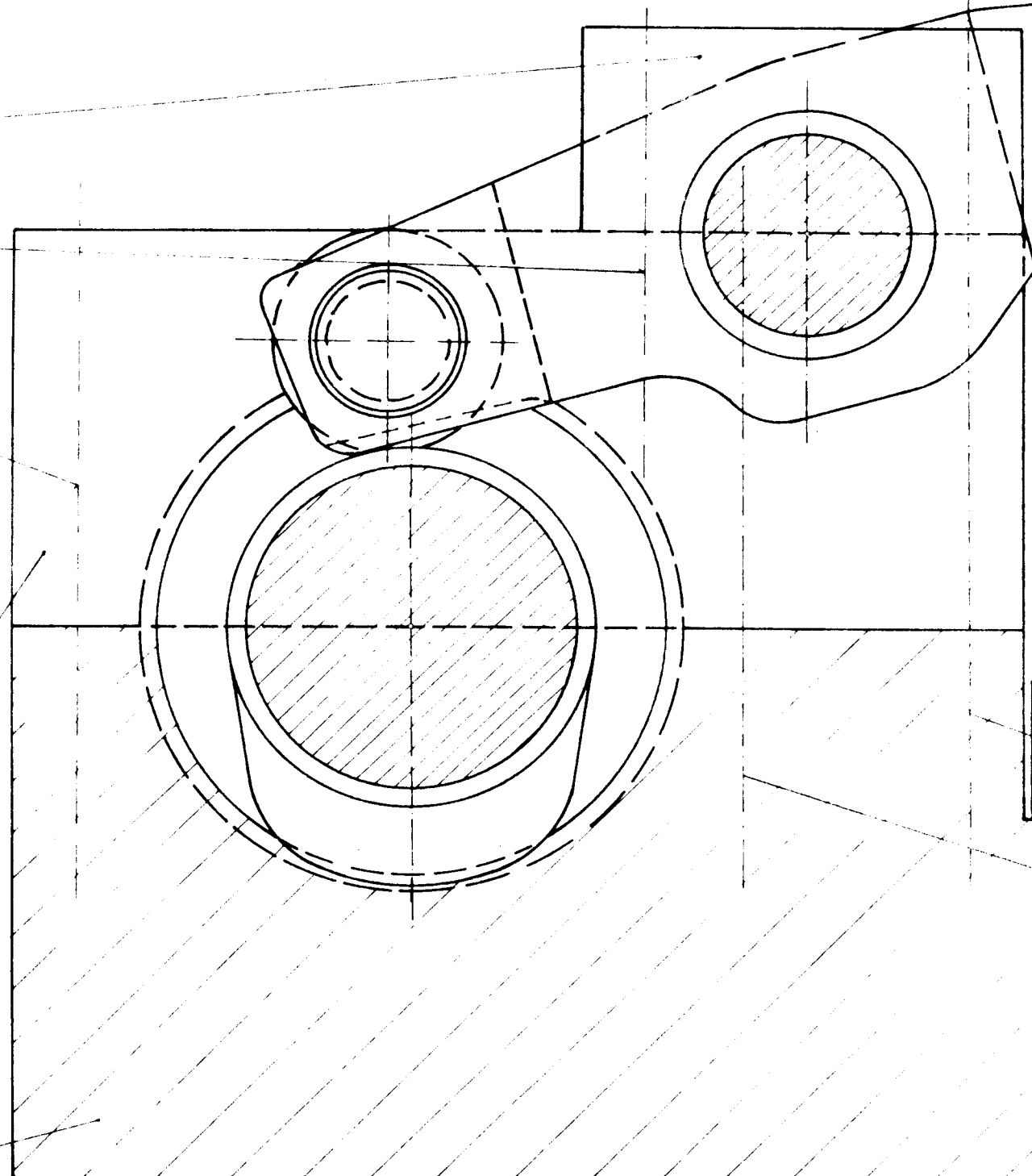
4

28

29







21
25
27

18,2

1

8

10

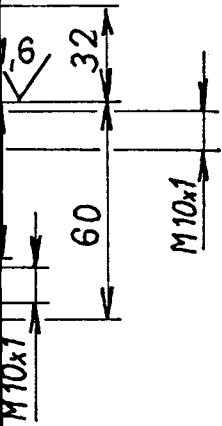
7

5

POSICE	NÁZEV-ROZMĚR	VÝKRES-NORMA	MATER.	J.	Mn.	Kg
1.	TĚLESO 1. 130x90	KSD-256-1.01	11500		1	
2.	TĚLESO 2. 170x40	KSD-256-1.02	11500		1	
3.	VSTRÍKOVAČ SVJ+ELMG.	KSD-256-1.03	-		1	
4.	VÁČKA Ø80-175	KSD-256-1.04	14220		1	
5.	VAHADLO	KSD-256-1.05	14220		1	
6.	ČEP Ø38-115	KSD-256-1.06	12020		1	
7.	ČEP Ø28-58	KSD-256-1.07	12020		1	
8.	VÍKO 1. Ø140-20	KSD-256-1.08	11373		1	
9.	VÍKO 2. Ø140-20	KSD-256-1.09	11373		1	
10.	LOŽISKO 6210	ČSN 024630	-		2	
11.	GUFERO 50x72x12	ČSN 029401	-		1	
12.	POUZDRO 1. TR. Ø 45,5x5-52	KSD-256-1.12	423018		1	
13.	KLADKA Ø40-25	KSD-256-1.13	12020		1	
14.	POUZDRO 3. TR Ø25,5x3,25-25	KSD-256-1.14	423018		1	
15.	ŠROUB Ø14-50	KSD-256-1.15	14220		1	
16.	MATICE M10x1	ČSN 021402	-		1	
17.	KLUZÁK Ø40-10	KSD-256-1.17	12020		1	
18.	TĚLESO 3. 170x40	KSD-256-1.18	11500		1	
19.	DRŽÁK 4HR 40	KSD-256-1.19	11500		1	
20.	KROUŽEK Ø30-1,5	KSD-256-1.20	12020		2	
21.	TRMEN 4 HR 40	KSD-256-1.21	11500		2	
22.	ÚCHYTKA Ø2-210	KSD-256-1.22	12090		1	
			VŠST LIBEREC			
NÁZEV: LABORATORNÍ MODEL SVJ			KSD-1	Sestava č. 1		

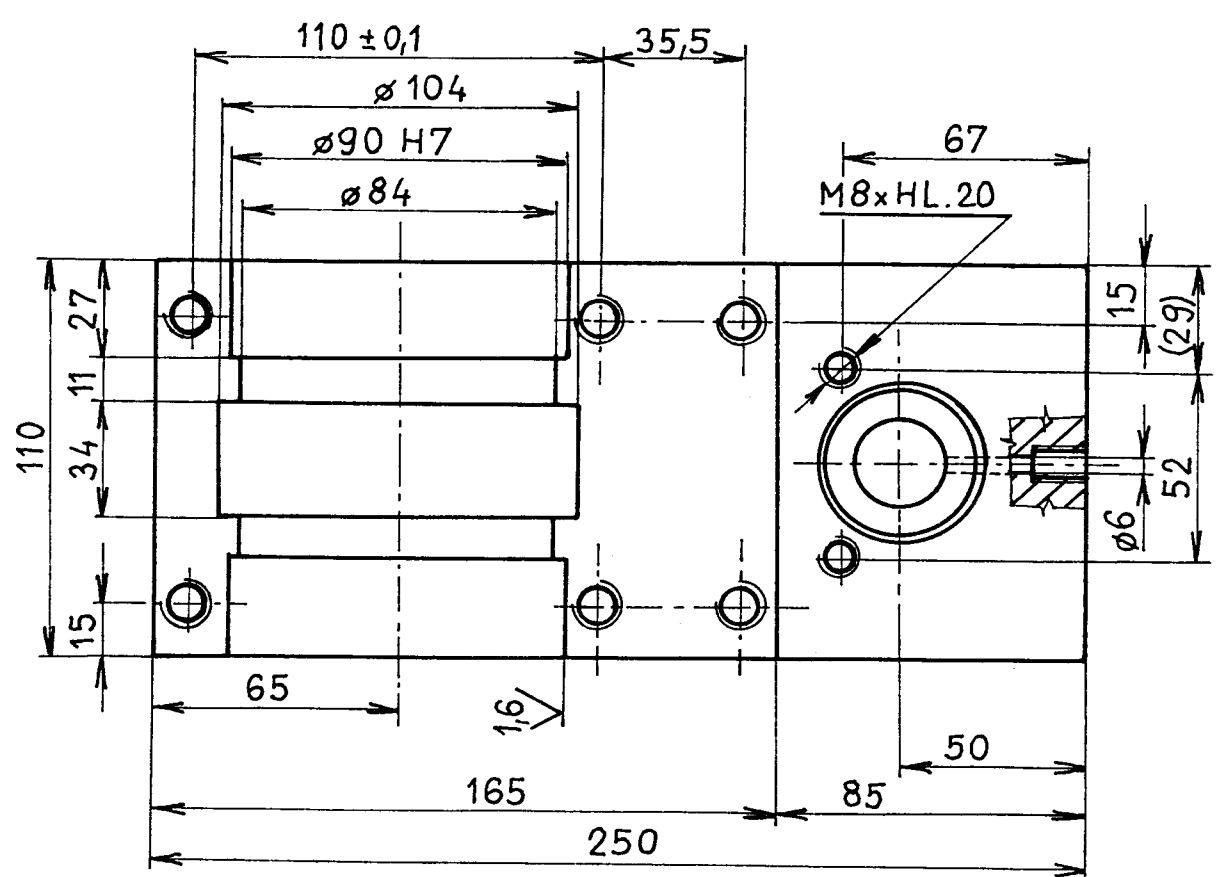
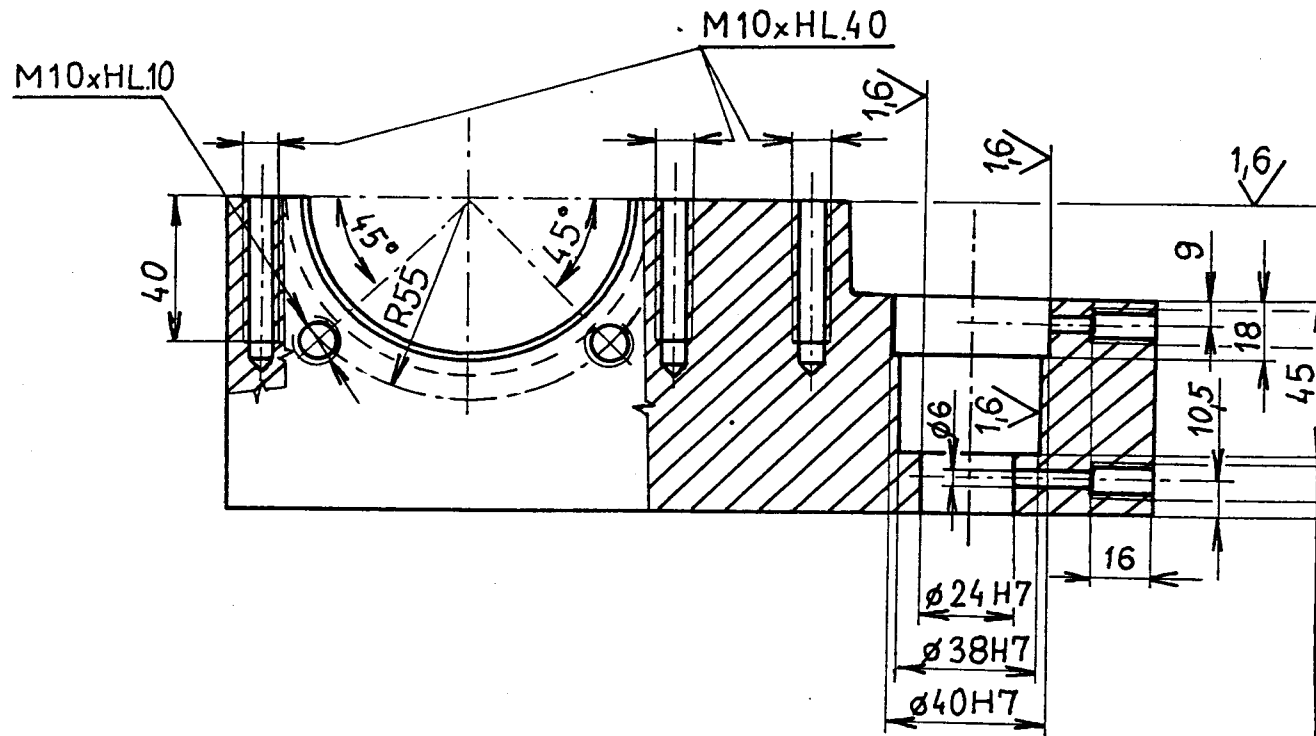
POSICE	NÁZEV - ROZHĚR	VÝKRES - NORMA	MATER.	J.	Mn.	Kg
23.	ŠROUB M8x40	ČSN 021143			2	
24.	ŠROUB M10x110	ČSN 021143			2	
25.	ŠROUB M10x45	ČSN 021143			2	
26.	ŠROUB M10x70	ČSN 021143			2	
27.	ŠROUB M10x85	ČSN 021143			2	
28.	ŠROUB M10x20	ČSN 021101			8	
29.	PODLOŽKA 10	ČSN 021740			8	
30.						
31.						
32.						
33.						
34.						
35.						
36.						
37.						
38.						
39.						
40.						
41.						
42.						
43.						
44.						
			VŠST LIBEREC			
NÁZEV: LABORATORNÍ MODEL SVJ		KSD-1				

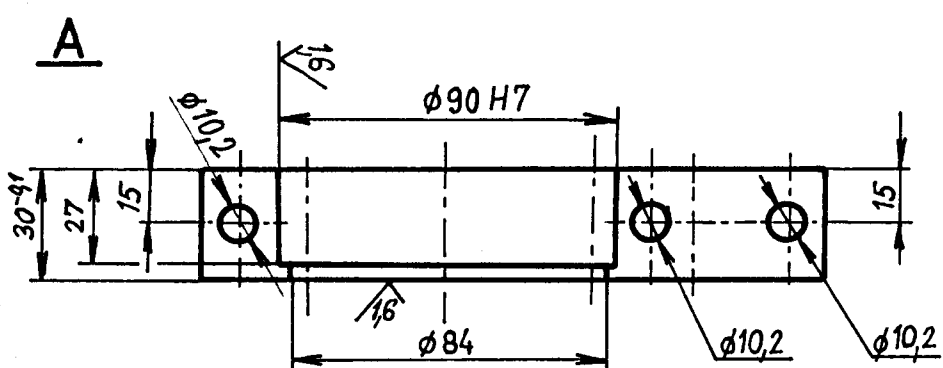
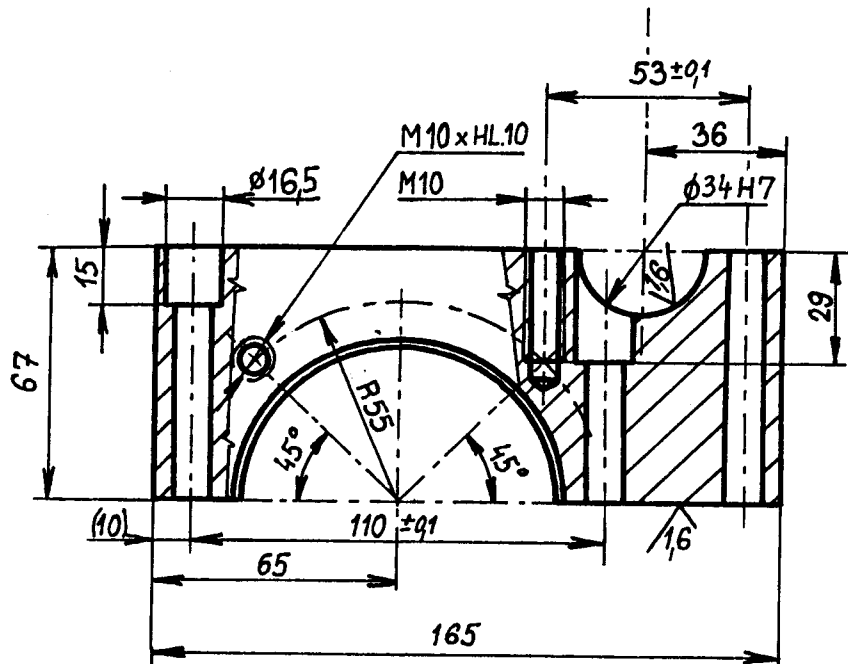
3,2 / / /



NEOZNAČENÉ HRANY 0,5x45°

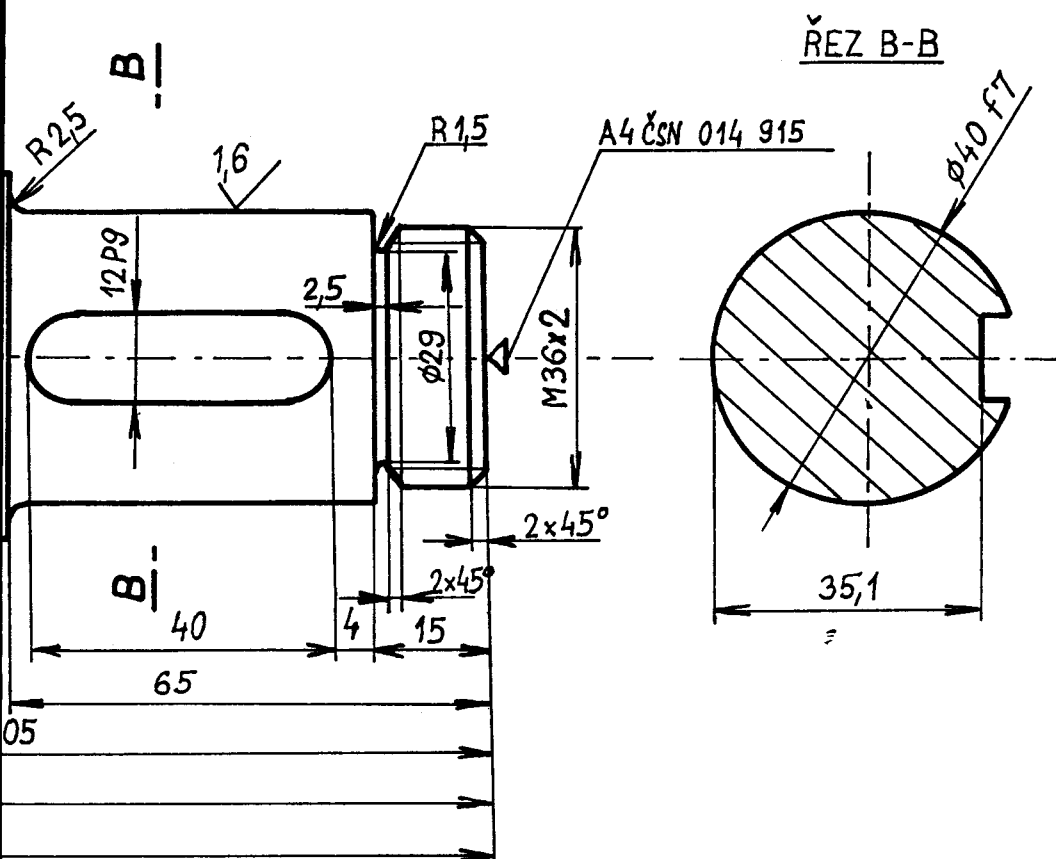
1	□ 130 x 90	11500		ČSN 42 51 21					1
VŠST	M 1:2								
LIBEREC	TĚLESO 1			KSD-256-1.01					SVJ





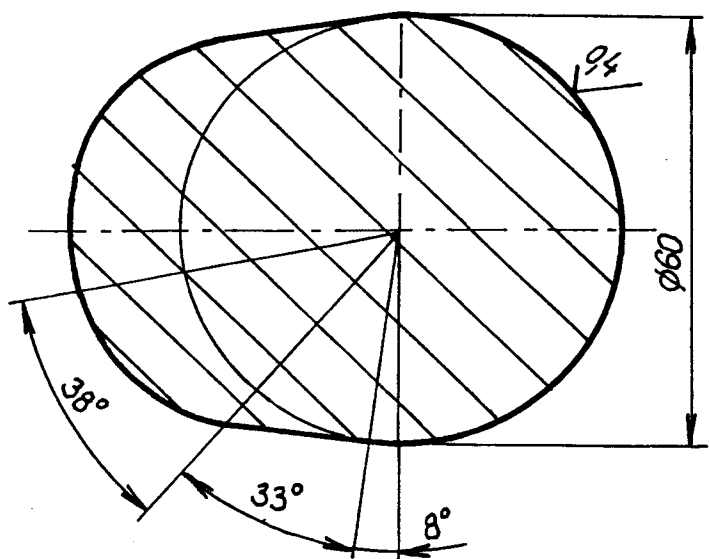
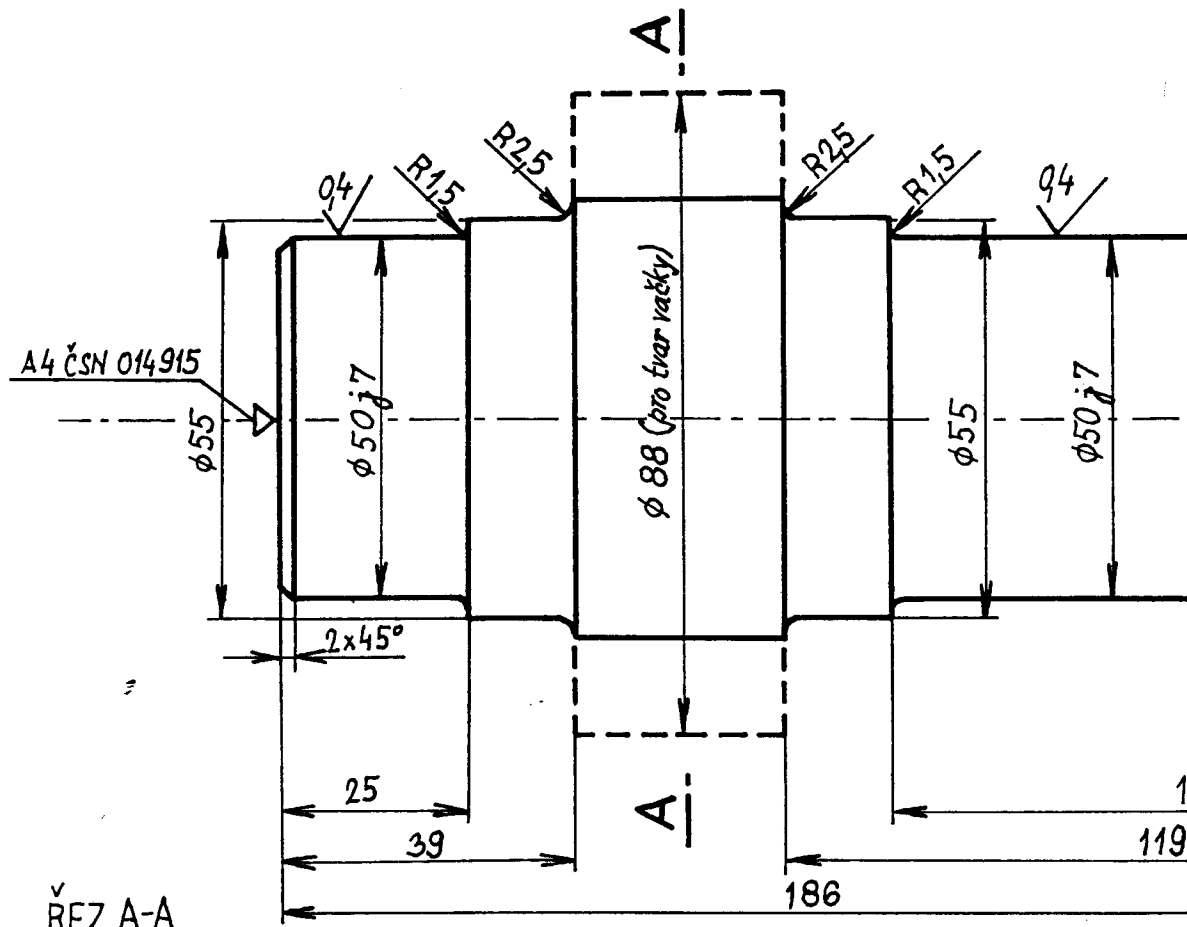
1	≠ 170 x 40	11500	ČSN 42 5524	2
VŠST LIBEREC	M: 1:2	TĚLESO II	KSD-256-1.02	SVJ

^{3,2} ✓ (✓)

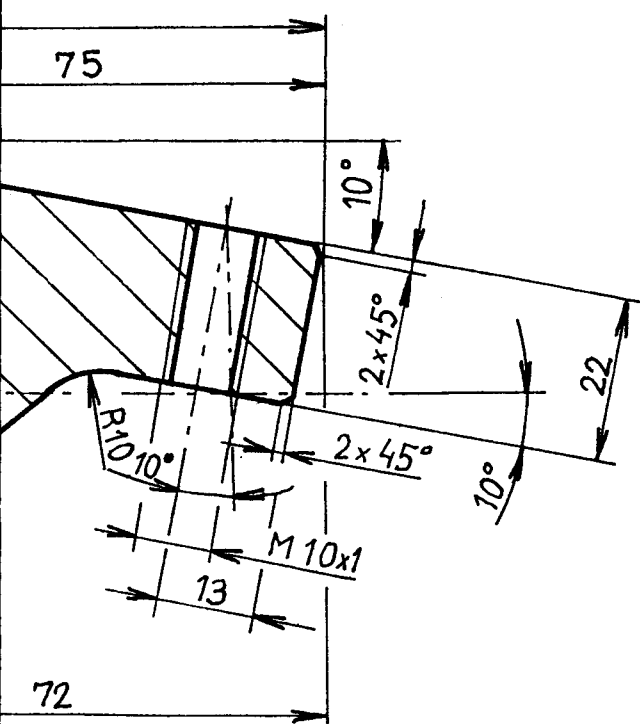
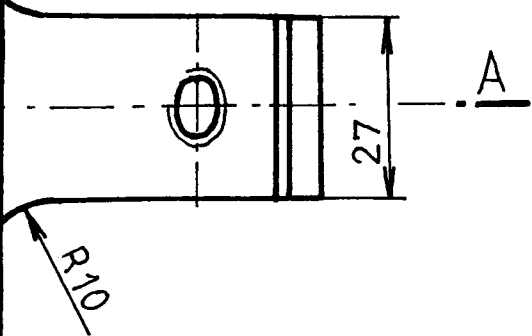


TVAR VAČKY PODLE MODELU VAČKY-M 5:1
NEOZN. HRANY $0,5 \times 45^\circ$; CEMENTOVAT DO HL. $0,3^{+0,1}_{-0,0}$ mm; KALIT, HRC 62

1	ø 90-175	12020		ČSN 42 6510			4
VŠST	M: 1:1						
LIBEREC		VAČKA		KSD-256-1.04		SVJ	

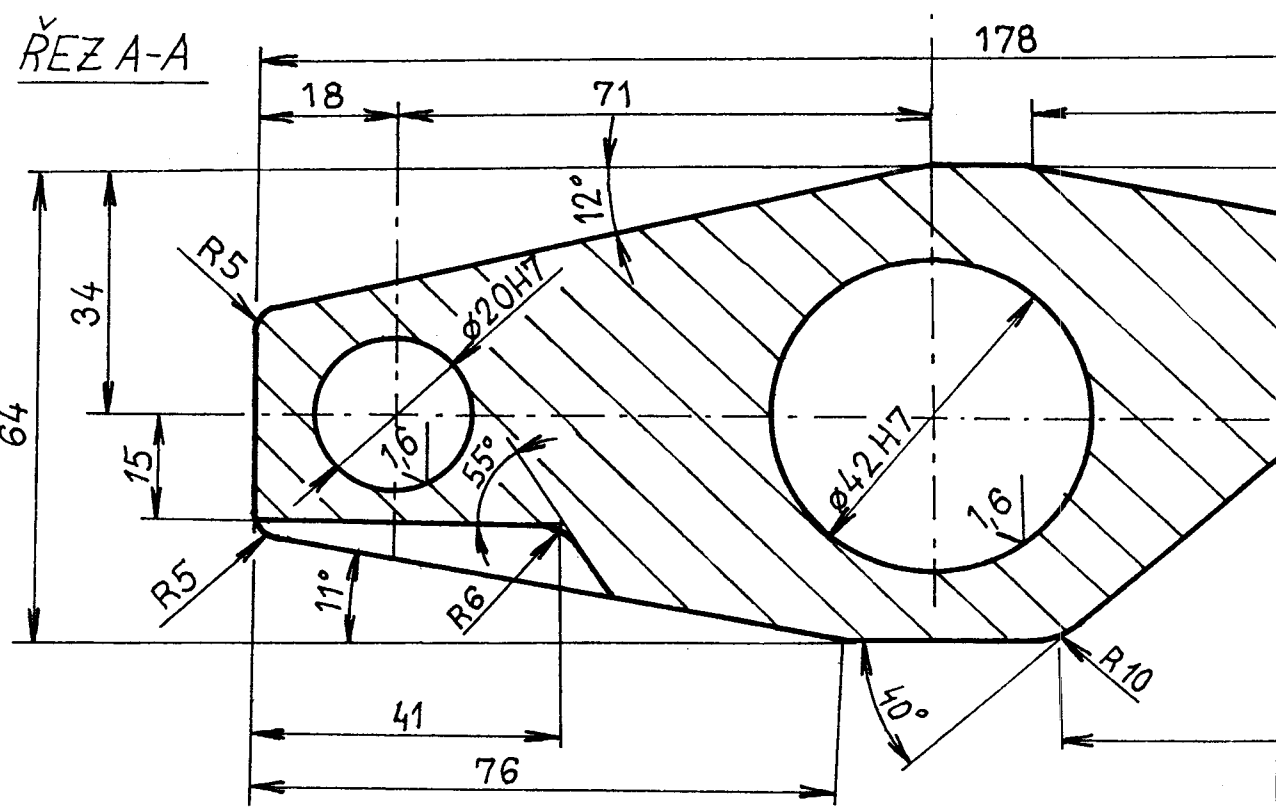
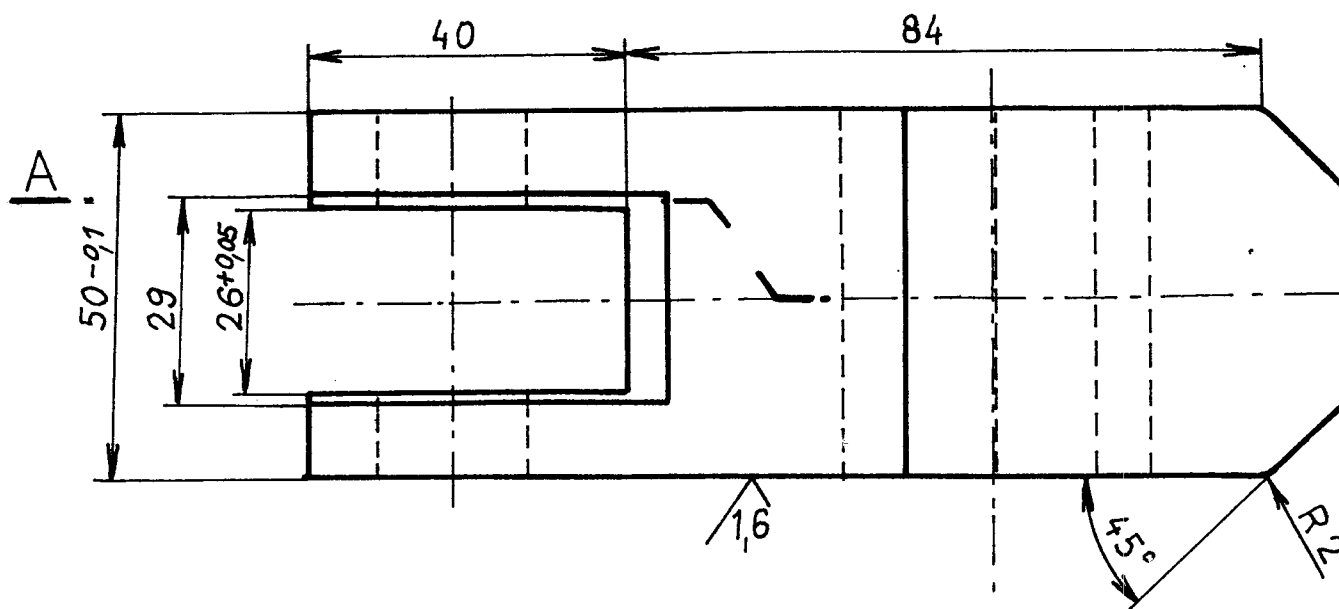


3,2 ✓ / ✓ /

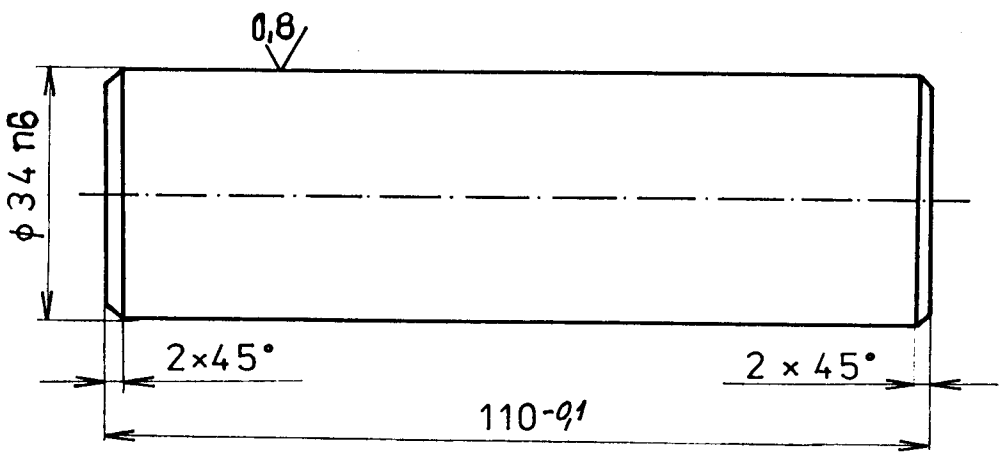


CEMENTOVAT DO HL. 03⁺⁰¹, KALIT, 62 HRC

1								5
VŠST LIBEREC	M: 1:1							
		VAHADLO		KSD-256-1.05			SVJ	



3,2 // //

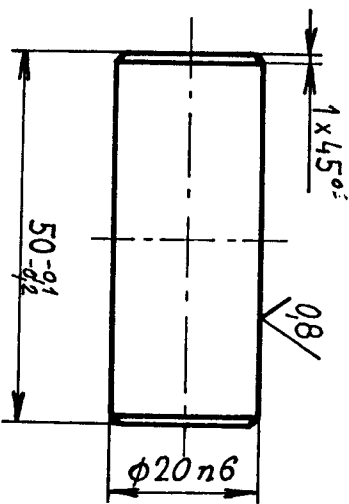


CEMENT. DO HL. $h = 0,3 \pm 0,1$ [mm]; HRC 62÷65; KALIT

1	$\varnothing 38-115$	11500		ČSN425510		001		6
VŠST	M: 1:1							
LIBEREC	ČEP			KSD-256-1.06			SVJ	

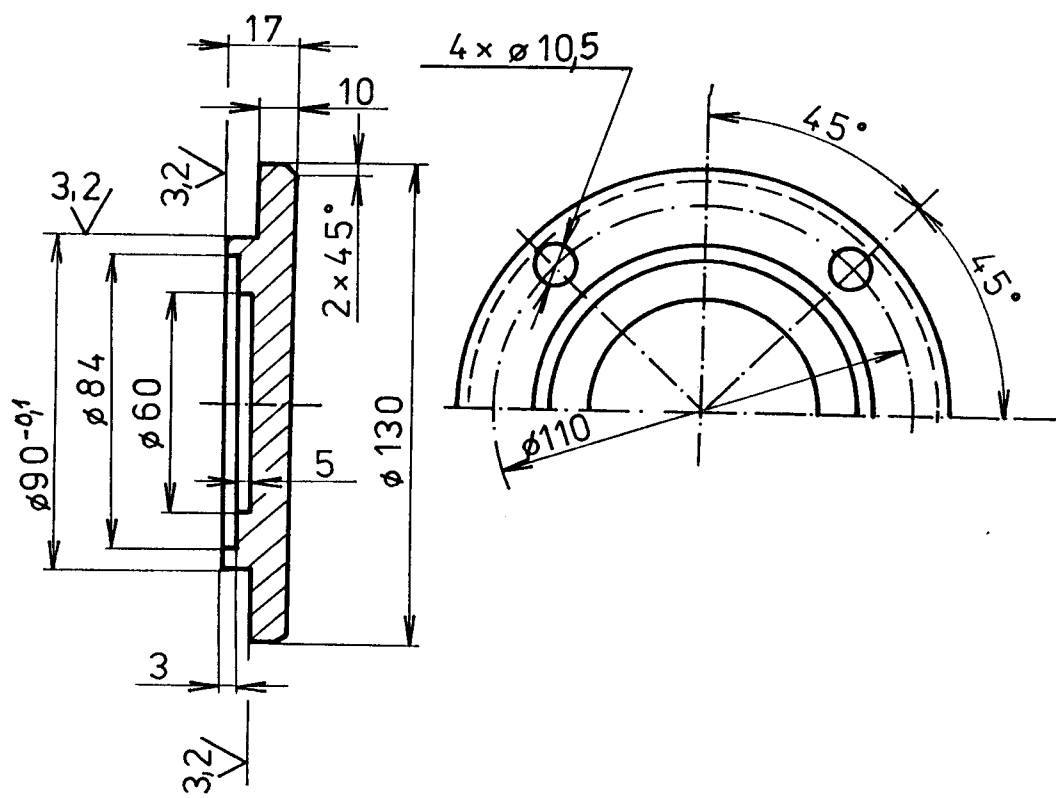
CEMENT. DO HL. 0.3 ± 0.1 mm; HRC 58÷62, KALIT

1	Ø22-52	12020		ČSN 426510				7
VŠST LIBEREC	M: 1:1	ČEP	KSD-256-1.07	SVJ				



(✓) 32

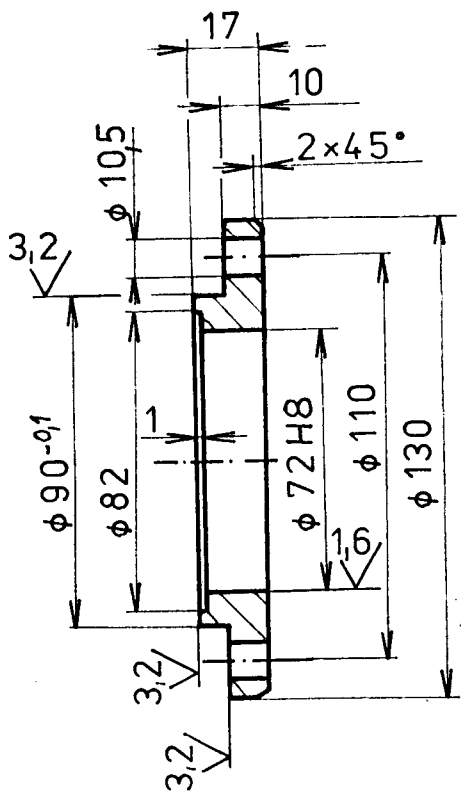
6,3 ✓ /✓ /



DÍRY PRŮCHOZÍ

1	$\phi 140-20$	11373		ČSN 42 5510	001		8
VŠST	M: 1:2						
LIBEREC	VÍKO I			KSD-256-1.08		SVJ	

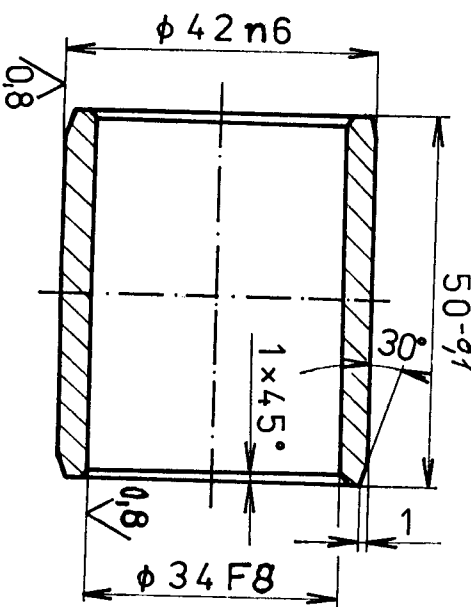
6,3 / / /



VRTAT $4 \times \phi 10$ PO 90°

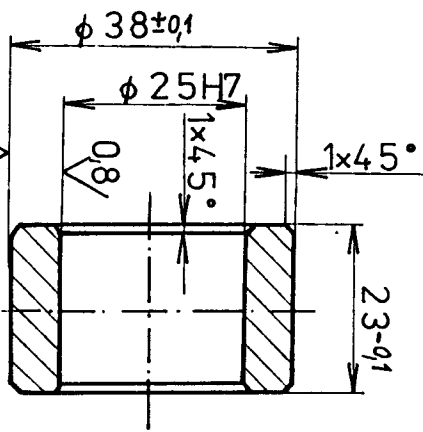
1	$\phi 140-20$	11373		ČSN 42 5510	001		9
VŠST	M: 1: 2						
LIBEREC	VÍKO II			KSD-256-1.09		SVJ	

1	TR Ø4,5,5x5-52	423018		ČSN 42 8711	322		12
VŠST	M: 1:1						
LIBEREC	POUZDRO 1			KSD-256-1.12			SVJ



✓ // ✓ /

3,2 ✓ / ✓ / .



CEMENTOVAT DO HL. 0,3 [mm], KALIT, 62 HRC

ČSN 42 6510

007 13

1	ø40-25	122020	

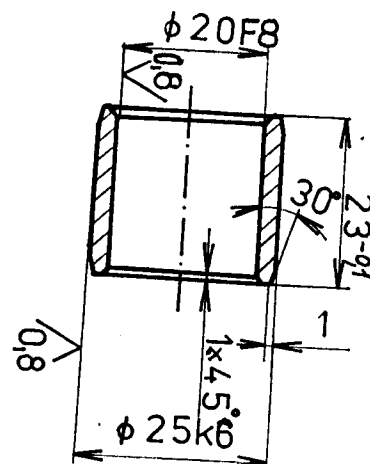
M: 1:1

VŠST LIBEREC
KLADKA

KSD-256-1.13

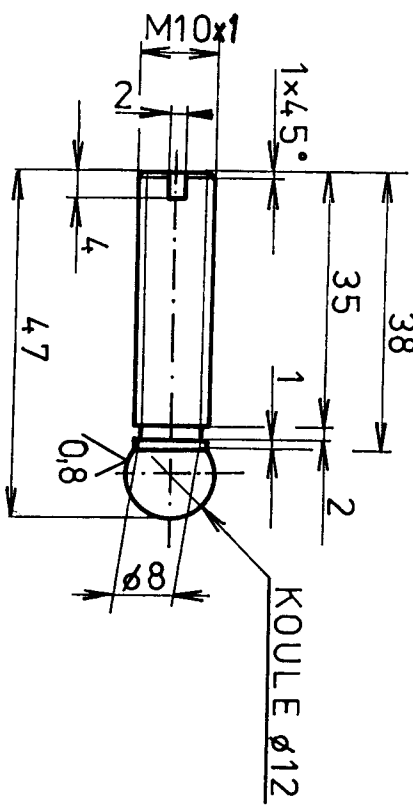
SVJ

1	TR _{25,5} x32525	423018		ČSN 42871	322		14
VŠST							
LIBEREC	M: 1:1						
POUZDRO 3		KSD-256-1.14					SVJ



3,2 // //

3,2 ✓ / ✓ /



KOULI KALIT DO HL. $h = 0,5 \div 0,7$ [mm]; HRC 62 \div 65

1	$\varnothing 14 - 50$	12 020		

ČSN 42 6510

007

15

VŠST	M: 1:1
LIBEREC	ŠROUB

KSD-256-1.15

SVJ

CEMENTOVAT DO HL. 0,3 [mm]; HRC 60÷62

1 \varnothing 30-10 12020

ČSN 42 6510

007

17

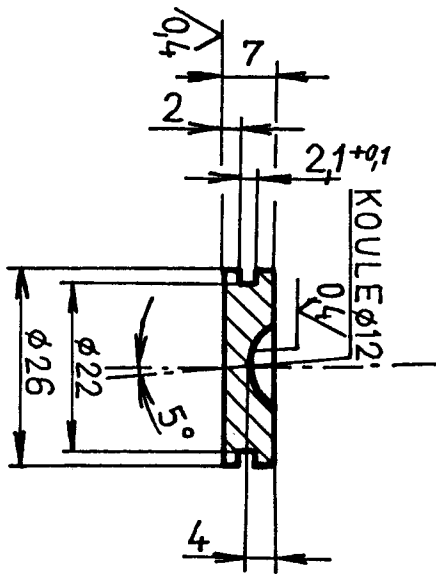
VŠST
LIBEREC

M: 1:1

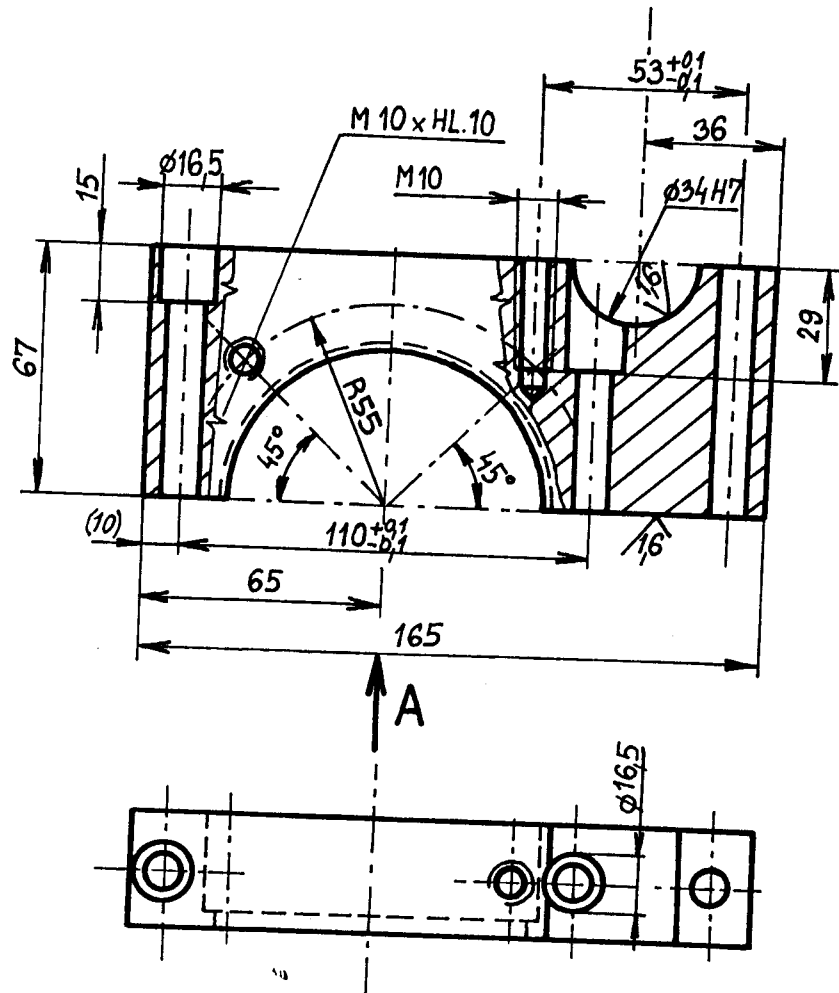
KL UZÁK

KSD-256-1.17

SVJ

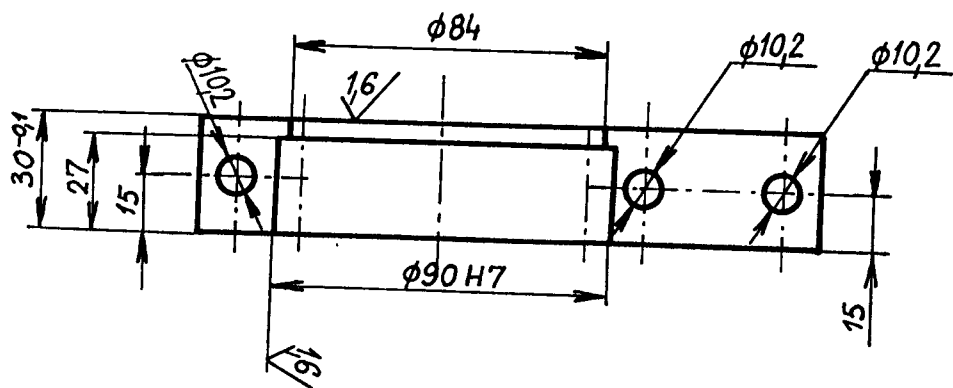


3,2 // VV//

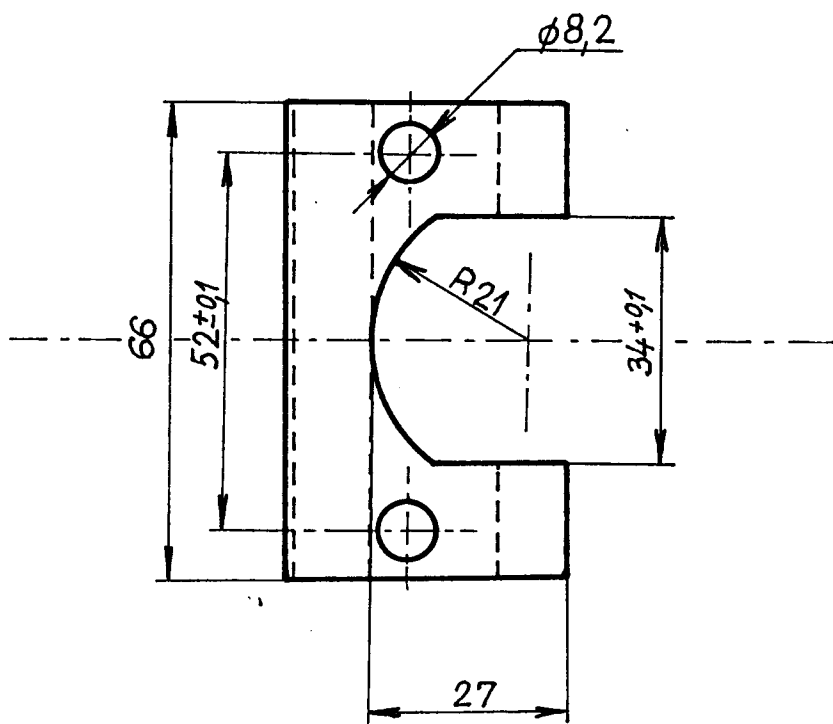
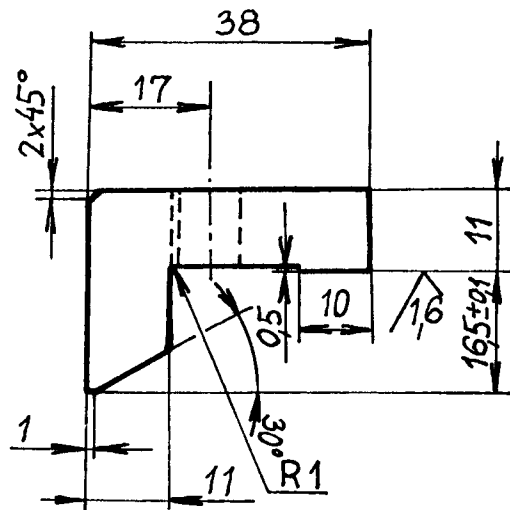


32 ✓ (✓)

A



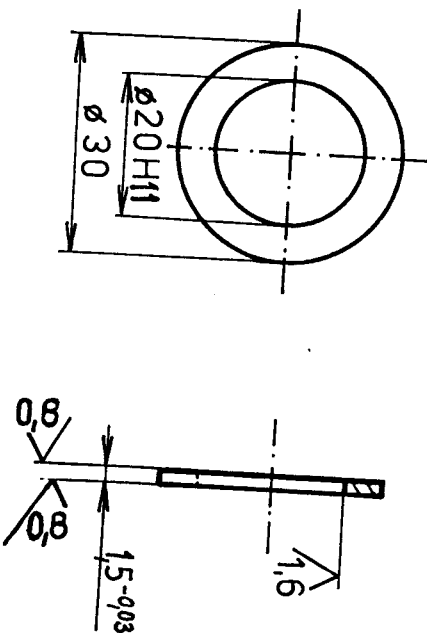
1	#170 x 40	11500		ČSN 425524					18
VŠST LIBEREC	M: 1:2	TĚLESO III.		KSD-256-1.18				SVJ	



Nekótované hrany 0,5x45°

	11500						19
VŠST	M: 1:1						
LIBEREC	DRŽÁK		KSD-256-1.19				SVJ

3,2 / V /



CEMENTOVAT DO HL. 0,3 ± 0,1, KALIT, HRC 60:62

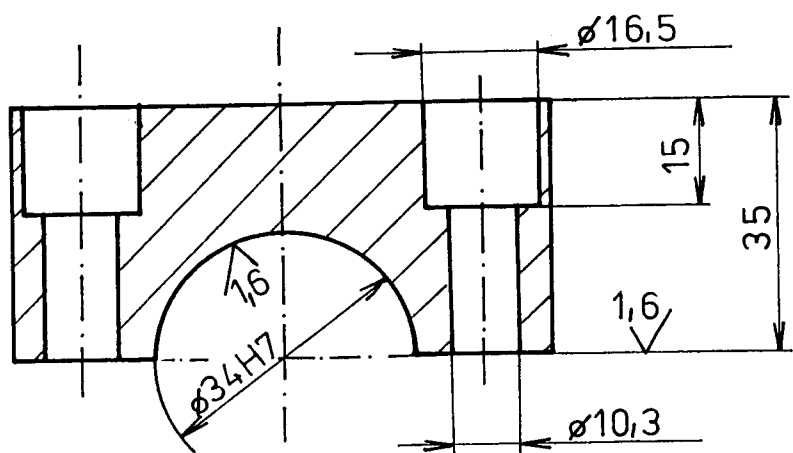
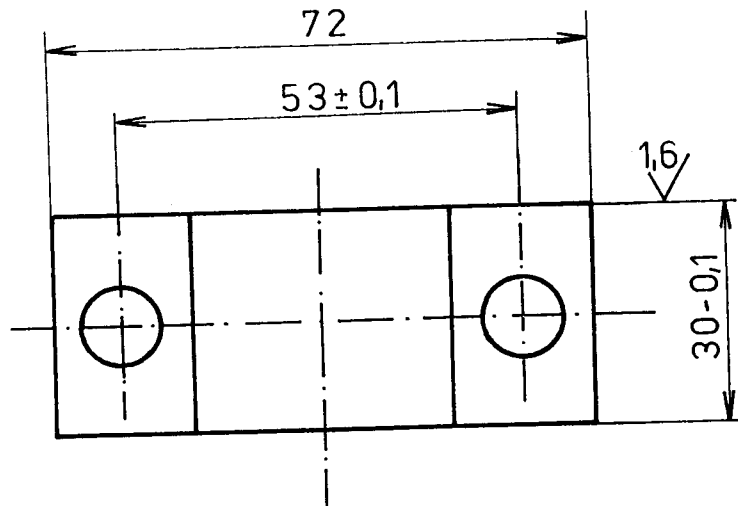
ČSN 021702.4

20

2 12200

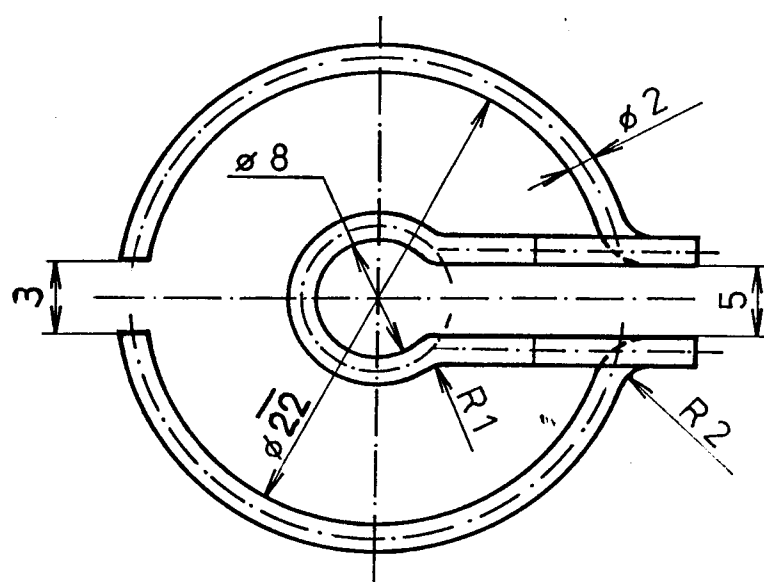
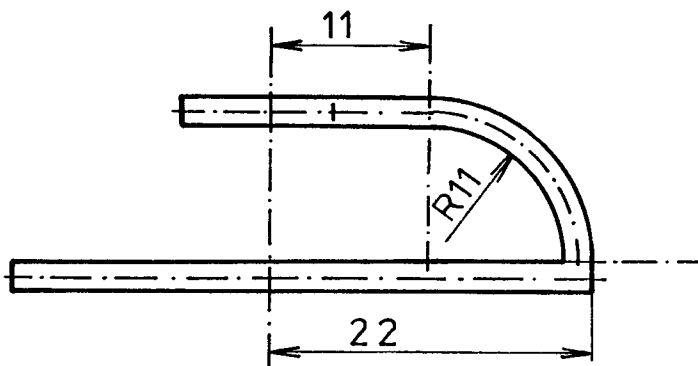
VŠST LIBEREC	M: 1:1	KROUŽEK	KSD-256-1.20	SVJ
-----------------	--------	---------	--------------	-----

3,2 ✓ / ✓ /



2	4HR 40	11500		ČSN 42 55 20					21
VŠST	M: 1:1								
LIBEREC	TŘMEN			KSD-256-1.21				SVJ	

✓ / ✓ /



1	$\phi 2 - 210$	12090		ČSN 426403				22
VŠST LIBEREC	M: 2:1			KSD-256-1.22				SVJ
		ÚCHYTKA						

VÝROBNÍ POSTUPY SOUČÁSTÍ
LABORATORNÍHO MODELU SVJ

Těleso - KSD - 256 - 1.01

- 1/ Dělit materiál s pří davkem 3 mm
- 2/ Frézovat míry 250, 110, 92 mm
- 3/ S vrtat dvojmo s dílci č. v. KSD - 256 - 1.02 a KSD - 256 - 1.18 4x ø 10,2 do hloubky 67 mm a zahľubení ø 16,5 mm do hloubky 15 a 29 mm
- 4/ Pokračovat vrtákem ø 8,4 do hloubky 112 mm (4X)
- 5/ Rozebrat
- 6/ Řezat závity M 10 - 4X do hloubky 45 mm
- 7/ Pevně sešroubovat šrouby 2X M 10X70 mm - pozice 26
2X M 10X85 mm - pozice 27
- 8/ Upnout na lícní desku, soustružit ø 84, ø 104 a ø 90 H7
- 9/ Otočit a vyrovnat na indikátor (± 0,02 mm)
- 10/ Soustružit ø 90 H7
- 11/ Vrtat 8Xø 8,4 mm (pro M 10) do hloubky 12 mm pro boční víka č. v. KSD - 256 - 1.08 a KSD - 256 - 1.09
- 12/ Řezat závity M 10 (8X) do hloubky 10 mm
- 13/ Upnout celek 3 částí spolu s dílci (2 ks) č. v. KSD - 256 - 1.21
- 14/ S vrtat dvojmo 2X ø 10,2 do hloubky 35 mm
- 15/ Zahľobiť 2X ø 16,5 do hloubky 15 mm
- 16/ Pokračovat ø 8,4 pro M 10 (2X)
- 17/ Vrtat dále 2X ø 10,2 mm do hloubky 102 mm
zahľobiť 2X ø 16,5 mm do hloubky 15 mm
- 18/ Pokračovat do hloubky 147 mm - ø 8,4 mm pro M 10
- 19/ Označit
- 20/ Rozebrat
- 21/ Řezat závity 2X M 10 do hloubky 45 mm
- 22/ Sešroubovat pevně s dílci č.v. KSD - 256 - 1.02 a KSD - 256 - 1.18 a s dvěma kusy (označenými) KSD - 256 - 1.21
- 23/ Vyvrtat ø 34 H7
- 24/ Rozebrat
- 25/ Vrtat ostatní otvory na tělese - 2X ø 6, zahľobiť ø 8,9 pro M 10X1 - do hloubky 16 mm, dále vrtat ø 24 M7, ø 38 H7 a dále 2X ø 6,6 mm pro M 8
- 26/ Řezat závity 2X M 10X1 do hl. 15 mm, dále závit M 8
- 27/ Odjehit hrany

Těleso 2 KSD - 256 - 1.02 a těleso 3 KSD - 256 - 1.18

- 1/ Oddělit materiál s přídatkem 3 mm
- 2/ Frézovat míry 165, 67, 30 + 0,1 mm
- 3/ Neuvedené operace spolu s dílcem KSD - 256 - 1.01
(viz výr. postup pro KSD - 256 - 1.01)
- 4/ Odjehlit hrany

Vačka KSD - 256 - 1.04

- 1/ Oddělit materiál s přídatkem 3 mm
- 2/ Soustružit hotově s přídatkem 0,3 mm na průměrech 2X ø 50j7, ø 40f7, ø 88 (pro tvar vačky)
- 3/ Frézovat tvar vačky s přídatkem 0,3 mm
- 4/ Frézovat drážku - 12 P9
- 5/ Řezat závit M 36x2
- 6/ Cementovat do hl. 0,5 - 0,6 mm (chránit závit M 36x2)
kalit na HRC 60 - 62
- 7/ Brouosit ø 50 j 7 (2X), ø 40 f7
- 8/ Brouosit tvar vačky hotově na kopírovacím zařízení podle matečné vačky v měřítku M 5:1

Vahadlo KSD - 256 - 1.05

- 1/ Oddělit materiál s přídatkem 3 mm
- 2/ Frézovat hotově
- 3/ Vrtat ø 8,9 pro M 10x1
- 4/ Vrtat ø 20 H7, ø 42 H7 vždy s přídatkem 0,3 mm
- 5/ Řezat závit M 10x1, srazit hrany
- 6/ Cementovat do hl. 0,5 mm (chránit závit M 10), kalit na HRC 60 - 62
- 7/ Brouosit ø 20 H7, ø 42 H7

Čep KSD - 256 - 1.06

- 1/ Oddělit materiál s přídatkem 3 mm
- 2/ Soustružit ø 34 n6 s přídatkem 0,3 mm hotově
- 3/ Cementovat do hl. 0,4 mm, kalit na HRC 60 - 62
- 4/ Brouosit ø 34 n6

Čep KSD - 256 - 1.07

- 1/ Oddělit materiál s přídavkem 3 mm
- 2/ Soustružit hotově - ϕ 20 n6 s přídavkem 0,3 mm
- 3/ Cementovat do hloubky 0,4 mm, kalit na HRC 58 - 62
- 4/ Brousit ϕ 20 n6

Víko 1 - KSD - 256 - 1.08 a víko 2 - KSD - 256 - 1.09

- 1/ Oddělit materiál s přídavkem 3 mm
- 2/ Soustružit hotově
- 3/ Vrtat otvory ϕ 10,5 mm po 90°
- 4/ Srazit hrany

Pouzdro 1. - KSD - 256 - 1.12

- 1/ Oddělit materiál s přídavkem 3 mm
- 2/ Soustružit hotově
- 3/ Zalisovat do otvoru ve vahadle - KSD - 256 - 1.05
- 4/ Vystružit ϕ 34 f8

Kladka KSD - 256 - 1.13

- 1/ Oddělit materiál s přídavkem 3 mm
- 2/ Soustružit hotově - ϕ 38 \pm 0,1 a ϕ 25 H7 vždy s přídavkem 0,3 mm
- 3/ Cementovat do hl. 0,4 mm, kalit na HRC 62 \pm 2
- 4/ Brousit ϕ 38 \pm 0,1 a dále ϕ 25 H7

Pouzdro 3. - KSD - 256 - 1.14

- 1/ Oddělit materiál s přídavkem 3 mm
- 2/ Soustružit hotově
- 3/ Zalisovat do otvoru ve vahadle KSD - 256 - 1.05
- 4/ Vystružit ϕ F8

Šroub KSD - 256 - 1.15

- 1/ Oddělit materiál s přídacími 3 mm
- 2/ Soustružit kouli ø 12, vyleštít
- 3/ Soustružit ø 10 pro M 10x1 s přídacími 3 mm
- 4/ Cementovat do hl. 0,5 mm
- 5/ Soustružit závit M 10x1, ø 8
- 6/ Frézovat drážku 2 mm
- 7/ Kalit na HRC 60 - 62
- 8/ Přeleštít kouli ø 12

Kluzák KSD - 256 - 1.17

- 1/ Oddělit materiál s přídacími 3 mm
- 2/ Soustružit hotově (včetně koule ø 12), tloušťka 7mm s přídacími 0,2 mm
- 3/ Cementovat do hl. 0,5 mm, kalit na HRC 60 - 62
- 4/ Brousit míru 7 mm
- 5/ Vyleštít kouli ø 12 mm

Držák KSD - 256 - 1.19

- 1/ Oddělit materiál s přídacími 3 mm
- 2/ Frézovat hotově
- 3/ Vrtat hotově (2x ø 8,2 mm)
- 4/ Srazit hrany

Kroužek KSD - 256 - 1.20

- 1/ Upíchnout z tyče s přídacími 0,3 mm (míra 1,5 mm)
- 2/ Cementovat do hloubky 0,4 mm, kalit na HRC 60 - 62
- 3/ Brousit na míru 1,5 - 0,03 mm

Třmen KSD - 256 - 1.21

- 1/ Oddělit materiál s přídacími 3 mm
- 2/ Frézovat míry 72, 35, 30 - 0,1 mm hotově
- 3/ Neuvedené operace spolu s dílcem č. v. KDS - 256 - 1.01, KDS - 256 - 1.02, KDS - 256 - 1.18 (viz výr. postup KDS - 256 - 1.01)
- 4/ Odjehlit hrany

Úchytka KSD - 256 - 1.22

- 1/ Oddělit drát
- 2/ Ohnutí do tvaru dle výkresu
- 3/ Kalit

Těleso KSD - 256 - 2.01

- 1/ Oddělit materiál s přídavkem 3 mm
- 2/ Frézovat tvar na míru 40 mm
frézovat plošky šíře 12 mm na míru $34^{+0,02}_{-0,04}$ mm
míra $60 \pm 0,1$ mm s přídavkem 0,3 mm
míra $29 \pm 0,02$ mm s přídavkem 0,3 mm
- 3/ Rýsovat pro otvory ø $12^{+0,02}_{-0,04}$ a ø 14 H6 a označit
- 4/ Vrtat otvor ø $12^{+0,02}_{-0,04}$ s přídavkem 0,3 mm a otvor ø 14 H6 s přídavkem 0,3 mm
- 5/ V dělícím přístroji frézovat ø 40 F8 s přídavkem 2mm a oba rádiusy 20 hotově
- 6/ Soustružit ø 40 F8 s přídavkem 0,3 mm
soustružit zápichy hotově, střední zápich podle detailu C (pod úhlem 30°)
soustružit ø M30x1,5 s přídavkem 3 mm
- 7/ Cementovat do hl. 0,4 - 0,5 mm
- 8/ Svratat s dílcí č. v. KSD - 256 - 2.06, vystředit pomocí vyrobeného středícího trnu (ø 12 h7, ø 17 g5), nejprve označit vrtákem ø 4,2 - 4,3, dále vrtat vrtákem ø 3,2 pro M 4 do hloubky 12 mm
dále vrtat ostatní ø 3,2 pro M 4, dále všechny označené kanálky
- 9/ Řezat závit M 30x1,5 hotově
- 10/ Soustružit zápich šíře 3,8 hotově
- 11/ Srazit hrany
- 12/ Kalit na 62 ± 2 HRC
- 13/ Brouosit otvory ø $12^{+0,02}_{-0,04}$, ø 14 H 6
brouosit ø 40 F 8 a obě spodní čela
po novém upnutí brouosit plochu H na míru $60 \pm 0,1$ mm a dále brouosit na míru $29 \pm 0,02$ mm
- 14/ Zaslepit vyčerněné části otvorů
- 15/ Vyvrtat ø 3,2 otvor H 4, do kterého zasáhlo zaslepení, vyříznout závit.

Držák trysky KSD - 256 - 2.02

- 1/ Oddělit materiál s pří davkem 3 mm
- 2/ Soustružit hotově, délka 40 mm s pří davkem 0,3 mm; ø hll a ø 28 h9 s pří davkem 0,3 mm
- 3/ Řezat závit M 19x0,75, srzit hrany
- 4/ Vyvrtat díry 2x ø 2,5 A12 pro kolíky, dále díry ø 2,5 (kanály), ø 1,5, ø 2
- 5/ Cementovat do hl. 0,5 mm (chránit závit M19x0,75) kalit na HRC 52 - 56
- 6/Brouosit plochy S (na míru 40)
- 7/ Brouosit ø 28 h9, ø 22 h11
- 8/ Zaslepít(vyčernění) část otvoru ø 1,5

Matrice KSD - 256 - 2.04

- 1/ Oddělit matriál s pří davkem 3 mm
- 2/ Soustružit hotově - ø 28^{+0,05}_{-0,00} s pří davkem 0,3 mm
- 3/ Frézovat sražení 1,5 x 45° po 60°
- 4/ Řezat závit M 30 x 1,5
- 5/ Cementovat do hl. 0,5 mm (chránit závit M 30 x 1,5) Kalit na HRC 52 - 56
- 6/ Brouosit ø 28^{+0,05}_{-0,00}

Píst KSD - 256 - 2.04

- 1/ Oddělit materiál s pří davkem 3 mm
- 2/ Soustružit hotově ø 12^{+0,003}_{-0,00} mm
- 3/ Cementovat do hl. 0,4 mm
kalit na 62±2 HRC
- 4/ Brouosit a lapovat na míru ø 12^{+0,003}_{-0,00}
- 5/ Vzájemně zabíhat při nízkých otáčkách v oleji s protikusem č. v. KSD - 256 - 2.01
- 6/ Odstranit pomocný čep (technologickou část) ø 6 mm a dokončit hlavu pístu

Vodící trn KSD - 256 - 2.05

- 1/ Oddělit materiál s přídavkem 3 mm
- 2/ Soustružit hotově, míra 49 s přídavkem 0,3 mm
 $\phi 17$ g5 s přídavkem 0,3 mm
 míra $4,5^{+0,03}_{-0,00}$ s přídavkem 0,3 mm
- 3/ Frézovat hotově, míra $4,5^{+0,03}_{-0,00}$ s přídavkem 0,3 mm
- 4/ Cementovat do hl. 0,4 mm
 kalit na HRC 62^{+0}_{-3}
- 5/ Brousit $\phi 17$ g5
 brouosit rozměr $4,5^{+0,03}_{-0,00}$
- 6/ Brousit na rozměr 49

Vodící pouzdro KSD - 256 - 2.06

- 1/ Oddělit materiál s přídavkem 3 mm
- 2/ Soustružit hotově - $\phi 17$ H6 s přídavkem 0,3 mm, míru 40 s přídavkem 0,3 mm
- 3/ Vrtat otvory $\phi 4,3$ a sražení 60° (4x po 90°)
- 4/ Cementovat do hl. 0,4 mm
 kalit na 62^{+0}_{-3} HRC
- 5/ Brousit $\phi 17$ H6 - plochu S
- 6/ Brousit na míru 40 spodní plochu

Plášt cívky KSD - 256 - 2.13

- 1/ Oddělit materiál s přídavkem 3 mm
- 2/ Soustružit hotově

Cívka KSD - 256 - 2.14

- 1/ Vyrobit přípravek k výrobě cívky (ϕ 10 $+0,05$, ϕ 33)
- 2/ Vyrobit pertinaxová čela cívky - tl. 0,7 mm, vnitřní ϕ 11,2, vnější ϕ 33 $^{+0,1}_{-0,2}$ mm
- 3/ Vyrobit střed cívky z papíru navinutého na přípravek ϕ 10 prosyceného epoxidem, přípravek ϕ 10 musí být natřený separátorem, potom zakrýt folií a těsně převázat. Po vytvrdení epoxidu soustružit na čepu ϕ 10, po mírném ohřevu čepu stáhnout
- 4/ Sestavit dle výkresu do přípravku
- 5/ Navíjet drát tl. 0,8, při navíjení závitů potřít jemně epoxidem střed cívky a po navinutí každé vrstvy jemně potřít navinutý drát. Těsně dotahovat, po navinutí poslední vrstvy natřít epoxidem, zakrýt folií a těsně převázat. Po vytvrzení opatrně zarovnat povrch soustružením.

Víčko cívky KSD - 256 - 2.15

- 1/ Oddělit materiál s přídavkem 3 mm
- 2/ Soustružit hotově
- 3/ Vrtat 2x ϕ 3,2
- 4/ Řezat závity 2x M4
- 5/ Srazit hrany

Vodící pouzdro KSD - 256 - 2.16

- 1/ Oddělit materiál s přídavkem 3 mm
- 2/ Soustružit hotově - ϕ 6 H7 s přídavkem 0,1 mm, míra 20 s přídavkem 0,2 mm
- 3/ Vrtat ϕ 4,3 - 4x po 90° zahľoubení 4x 60°
- 5/ Brouosit ϕ 6 H7
- 6/ Brouosit na míru 20

Šoupátko KSD - 256 - 2.17

- 1/ Oddělit materiál s případkem 3 mm
- 2/ Soustružit hotově, ϕ 6 h7 s případkem 0,2 mm
- 3/ Vrtat díry ϕ 3,2 pro M 4, hloubka 8 mm
- 4/ Řezat závity M4 do hl. 6 mm, srazit hrany
- 5/ Cementovat do hl. 0,4 mm (chránit závity M4)
kalit na HRC 52 - 56
- 6/ Broušit ϕ 6 h7, broušit zápichy 2x 1x1 mm

Kužel šoupátká KSD - 256 - 2.18

- 1/ Oddělit materiál s případkem 3 mm
- 2/ Soustružit hotově s řezáním závitu

Víčko ventilu KSD - 256 - 2.20

- 1/ Oddělit materiál s případkem 3 mm
- 2/ Soustružit hotově
- 3/ Vrtat otvory ϕ 4,3 po 90°
- 4/ Srazit hrany

Talířek KSD - 256 - 2.21

- 1/ Oddělit materiál s případkem 3 mm
- 2/ Soustružit hotově, míra 1,5 s případkem 0,1 na broušení
- 3/ Broušit dosedací plochu - na míru $1,5 \pm 0,1$

screen 9

DIM VH\$(27), VH(27), PH(27), VZ(27), MIT(1000), PT(1000)
VH(2)=500: VH(3)=260: VH(4)=12: VH(5)=16: VH(6)=.5: VH(7)=1370.5173: VH(10)=35
VH(11)=.9: VH(12)=.5: VH(13)=3: VH(8)=.5: VH(9)=.4: VH(14)=29.8: VH(15)=19: VH(17)=65.93
VH(16)=33.38: VH(18)=20.8875: VH(19)=4.739: vh(20)=22.2: vh(23)=64.8: vh(24)=66.7
VH(21)=71: VH(22)=70.5: VH(25)=64.8+70
PI=3.141592654
RO=850: eps=1.7e+9
I=0: DP=0
VHS:

VHS(2)='OTACKY VACROVHO HRIDLE	[1/min]"
VHS(3)='OBJEM VSTRIKOVANE DAVKY	[mm^3/zdvih]"
VHS(4)='PRIMER PISTIKU	[mm]"
VHS(5)='PRUREZ PREPOUSTECIHO VENTILU	[mm^2]"
VHS(6)='PRUREZ VSTRIK. OTVORU	[mm^2]"
VHS(7)='OBJEM KANALKU	[mm^3]"
VHS(8)='SOUC. PRUTOKU NA TRYSE (max.)	[-]"
VHS(9)='SOUC. PRUTOKU NA PREP. VENT. (max.)	[-]"
VHS(10)='OTVIRACI TLAK	[MPa]"
VHS(11)='RYCHLOST PISTIKU PRI 'TPD'	[m/s]"
VHS(12)='PINICI TLAK PALIVA	[MPa]"
VHS(13)='PROTITLAK VE VALCI	[MPa]"
VHS(14)='PRIMER VACKY	[mm]"
VHS(15)='PRIMER KLADEK	[mm]"
VHS(16)='UHEL TAN CASTI	"
VHS(17)='uhel HAR. CASTI	"
vh\$(18)='souradnice str. krivosti - x	"
vh\$(19)='y	"
vh\$(20)='polomer krivosti	"
VHS(21)='VAHADLO R1	"
VHS(22)='VAHADLO R2	"
vh\$(23)='SOURADNICE ceptu vahadla - x	"
vh\$(24)='y	"
vh\$(25)='VZDALENOST OSY PISTIKU OD OSY VACKY	"

ZADAVANI:

SCREEN 9

CLS:?:?

FOR I=2 TO 25

PRINT " "; VHS(I), USING "####.##"; VH(I); : PRINT " "; : INPUT,VX

IF VX=0 THEN 1

VH(I)=VX

1 NEXT I

input "nazev souboru :", h\$

COLOR 13: LOCATE 23,25: PRINT " ZADANI JE VPRADEKU : ? [A/N]"

2 A\$=INKEY\$: IF A\$<>"" THEN 12

GOTO 2

12 IF A\$="N" OR A\$="n" THEN GOTO ZADAVANI

IF A\$="A" OR A\$="a" THEN GOTO VYPOCET

GOTO 2

VYPOCET:

```
open "c:\\"+h$+".prn" for output as#1
write #1,"uhel","zdvih","rychlost","tlak","St","zd jehla","a jehla","vst davka","sv ventylku"
CLS
kp=239280
PH(2)=VH(2)/60: PH(3)=VH(3)/1B+9: PH(4)=VH(4)/1000: PH(5)=VH(5)/1B+6
PH(6)=VH(6)/1B+6: PH(7)=VH(7)/1B+9: PH(8)=VH(8): PH(9)=VH(9): PH(10)=VH(10)*1B+6
PH(11)=VH(11): PH(12)=VH(12)*1B+6: PH(13)=VH(13)*1B+6: PH(14)=VH(14)/1000
PH(15)=VH(15)/1000: PH(16)=VH(16): PH(17)=VH(17): ph(18)=vh(18)/1000: ph(19)=vh(19)/1000
ph(20)=vh(20)/1000: ph(21)=vh(21)/1000: ph(22)=vh(22)/1000: ph(23)=vh(23)/1000
ph(24)=vh(24)/1000: ph(25)=vh(25)/1000
SP=PT*PH(4)^2/4: RR=0: RT=0
ul=sqr(ph(23)^2+ph(24)^2)
gx=((ph(14)+ph(15))^2+ph(21)^2-ul^2)/2/(ph(14)+ph(15))/ph(21)
gx*pi+atn(sqr(1-gx^2)/gx)
all=atn(ph(24)/ph(23))
```

```

al2x=ph(21)*sin(g)/ul
al2=atn(al2x/sqr(1-al2x^2))
cmθ=al1+al2-pi/2
yθ=(ph(14)+ph(15))*cos(cmθ)
eθ=(ph(14)+ph(15))*sin(cmθ)
yl=yθ:eθ
k=ph(14)/cos(33.9*pi/180)
a=sqr(k^2+ph(15)^2-2*k*ph(15)*cos(pi-33.9*pi/180))
th=(a^2+k^2-ph(15)^2)/2/a/k
th=pi/2-atn(th/sqr(1-th^2))
gama=(ph(21)^2+ul^2-a^2)/2/ph(21)/ul
gama=pi/2-atn(gama/sqr(1-gama^2))
delta=atn(ph(23)/ph(24))
u2=sqr(ph(21)^2+ph(24)^2-2*ph(21)*ph(24)*cos(gama+delta))
cmθ=(a^2+ph(23)^2-u2^2)/2/a/ph(23)
cmθ=pi/2-atn(cmθ/sqr(1-cmθ^2))
cmθ=cmθ-pi/2
al=33.9*pi/180-th
beta2=θ+(al-cmθ)*180/pi
theta=atn(ph(18)/ph(19))
gαθ=(ph(21)^2+ul^2-(ph(14)+ph(15))^2)/2/ph(21)/ul
gαθ=atn(sqr(1-gαθ^2)/gαθ)
psk=sqr(ph(18)^2+ph(19)^2)
zθ=sqr(ph(22)^2-(ph(25)-ph(23))^2)
psθ=atn(zθ/(ph(25)-ph(23)))
window (0,0)-(100,20)
line (0,0)-(100,0)
line (0,0)-(0,10)
vg=0:sv=ph(5):vtx=0:fpθ=14.72*ph(10)/1e+6:fp=fpθ:q=0
kk=(2*pi*ph(2)/60*.0018)*180/pi:kontrola=0
kk=0.11

```

```

FOR fis=0 TO 90 STEP kk
    fir=fis*pi/180
    if fis>(8-cmθ*180/pi) and fis<beta2 then
        cm=atn(e/yl)
        alfa=fir-θ*pi/180+cm
        yl=(ph(14)/cos(alfa)+ph(15)/cos(alfa))*cos(cm)
        e=sqr(ph(21)^2-(ph(24)-yl)^2)-ph(23)
        y=yl-yθ
        z=y*(ph(23)+e)/(ph(25)-ph(23))
        z3=z
    end if
    if fis>beta2 then
        eta=fir-delta
        xsk=psk*cos(pi/2+fir-theta)
        ysk=psk*sin(pi/2+fir-theta)
        b=sqr((ph(23)+xsk)^2+(ph(24)-ysk)^2)
        lambda=atn((ph(23)+xsk)/(ph(24)-ysk))
        gam1=lambda-delta
        gam2=(b^2+ph(21)^2-(ph(15)+ph(20))^2)/2/ph(21)/b
        gam2=pi/2-atn(gam2/sqr(1-gam2^2))
        gam=gam1+gam2
        z=zθ-ph(23)*sin(psθ-gam+gamθ)-.00000507
    end if
    locate 1,1
    print fis,z*1000
    line (fis,z*1000)-(fis,z*1000)
    dz=z-z5
    z5=z
    vx1=(dz)/(kk*pi/180/2/pi/ph(2))
    if vx1<3 then vx=vx1
    line (fis,vx*2)-(fis,vx*2),3
    v1=dz*pi*ph(4)^2/4
    vg=vg+v1
    vp=ph(7)-vg+.01367*pi/4*ph(4)^2
    if vtx<ph(3) then
        if vx>=ph(11) or kontrola=1 then

```

```

kontrola=1
sv=sv-(ph(5)/.0005)*(kk*pi/180/2/pi/ph(2))
if sv<0 then sv=0
end if
end if
if vtx>ph(3) then
    sv=sv+(ph(5)/.0022)*(kk*pi/180/2/pi/ph(2))
    if sv>ph(5) then sv=ph(5)
end if
if (vtx<ph(3) and s>0) or (sv>0 and p<ph(13) and j=0) then
if vtx>ph(3) then s=s+1
    pl=p
    vv=vl-ve
    p=(vv^2*ro/2/ph(9)^2/sv^2/(kk*pi/180/2/pi/ph(2))^2)+ph(12)
    dp=pl-p
    ve=vp*dp/eps
    fp=fp0+kp*j
    f=p*14.72e-6
    if f>=fp0 then aj=(f-fp)/0.0069
    dj=1/2*aj*(kk*pi/180/2/pi/ph(2))^2
    j=j+dj
    goto 5
end if
if (sv=0 or p>ph(13) or j>0) and s=0 then
    pl=p
    if p>ph(12) then vv=ph(9)*sv*sqr(2/ro*(p-ph(12)))*(kk*pi/180/2/pi/ph(2))
    if vtx<ph(3) then
        fp=fp0+kp*j
        if f<fp0 and q=0 then fpw=fp;q=1
        f=p*14.72e-6
        if f>=fpw then ajo=(f-fp)/0.0069
        dj=1/2*aj*(kk*pi/180/2/pi/ph(2))^2
        j=j+dj
        if j>.0003 then j=.0003
        a=ajo
    end if
    if vtx>ph(3) then
        fp=fp0+kp*j
        f=p*14.72e-6
        if f<fp0 then ajz=(fp-f)/0.0069
        dj=1/2*ajz*(kk*pi/180/2/pi/ph(2))^2
        j=j-dj
        if j<0 then j=0
        a=ajz
    end if
    st=pi*j*(.0019-.5*j*sin(60*pi/180))*sin(30*pi/180)
    if p>ph(13) and vtx>ph(3) then vt=ph(8)*st*sqr(2/ro*(p-ph(13)))*(kk*pi/180/2/pi/ph(2))
    if vtx>ph(3) and j>0 then vt=ph(8)*st*sqr(2/ro*(p-ph(13)))*(kk*pi/180/2/pi/ph(2))
    vtx=vtx+vt
    vo=vv+vt
    ve=vl-vo
    dp=ve*eps/vp
    p=p+dp
    goto 5
end if
? "vypocet skoncen":end
5 vvv=vvv+vv
line (fis1,vtx*2e+7)-(fis,vtx*2e+7),7
line (fis1,sv*1e+6)-(fis,sv*1e+6),6
line (fis1,j*10000)-(fis,j*10000),5

line (fis1,p3/10000000)-(fis,p/10000000),4
fisl=fis:p3=p

?p/1000000
?f/14.72
tlak=p/1000000
if tlak<0 then tlak=0

```

```
write #l,fis,z*1000,vx*60,tlak,st*1e+6,j*1000,a,(vtx*1e+9)/25,sv*1e+6  
if vx=0 and vtx>ph(3) then end  
next fis  
'goto zadavani
```